



دانشگاه صنعتی شهرود

دانشکده علوم زمین

پایان نامه کارشناسی ارشد زمین‌شناسی - گرایش پترولوزی

پترولوزی و ژئوشیمی توده گرانیتوئیدی چشم‌بید،  
جنوب شرق زاهدان

نگارش :

مالک کرد

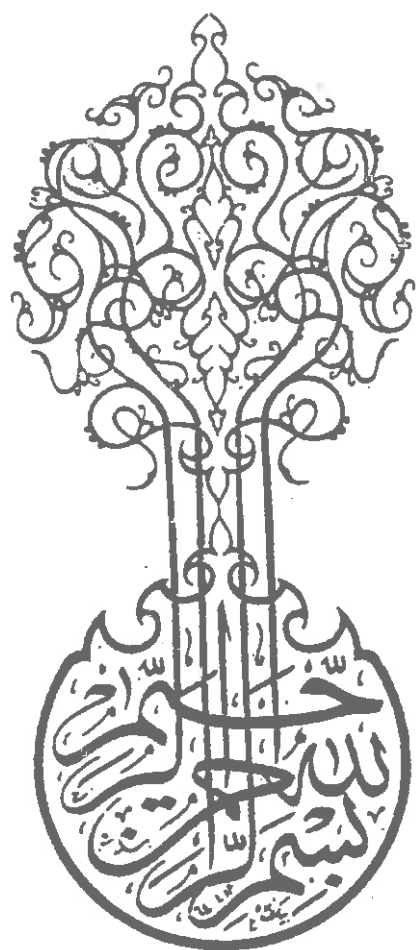
استاد راهنما :

دکتر حبیب ... قاسمی

اساتید مشاور:

دکتر محمود صادقیان      دکتر پرویز امیدی

۱۳۸۴ بهار



تقدیم به:

\*\*\*

## تشکر و قدردانی

در ابتدا لازم می‌دانم که از پدر و مادر عزیزم که در تمامی مراحل زندگی صمیمانه مرا یاری نمودند، تشکر کنم.

و همچنین تشکر و سپاسگذاری می‌کنم از همه استادان بزرگوار و ارجمندی که در طول تحصیل مرا یاری نمودند، به ویژه جناب آقای دکتر حبیب... قاسمی که اگر راهنماییهای مستمر ایشان نبود بطور مسلم این تحقیق راه به جایی نمی‌برد.

همچنین از زحمات و عنایات استادان محترم آقایان دکتر محمود صادقیان و دکتر پرویز امیدی که به عنوان استاد مشاور زحمات فراوانی را متحمل شدند و آقایان دکتر حسین مهدیزاده‌شهری، دکتر عزیزالله طاهری، دکتر ناصرحافظی‌قدس، دکتر غلامعباس‌کاظمی و دکتر غلامحسین کرمی که هر یک به نوعی در پیشرفت این تحقیق موثر بودند، بینهایت سپاسگزارم.

در پایان نسبت به دوستانی که در تهیه این مجموعه مرا یاری نمودند، بویژه خانم ناجی و آقایان سیدرضا میرباقری، اکبر رمضانی و مهدی امانیان مراتب سپاسگذاری و قدردانی خود را ابراز می‌دارم.

## چکیده

توده گرانیتوئیدی چشمه بید به مساحت ۱۵۰ کیلومترمربع، در محدوده طولهای جغرافیایی<sup>۱</sup> ۵۳° تا ۶۰° و<sup>۲</sup> ۱۷° تا ۲۹° شرقی و عرضهای جغرافیایی<sup>۱</sup> ۰۰° تا ۱۸° شمالی در ۳۵ کیلومتری جنوب شرق زاهدان در استان سیستان و بلوچستان و در زون فلیش شرق ایران واقع شده است. این توده، بخشی از نوار گرانیتوئیدی زاهدان - سراوان است، که به طول ۲۵۰ کیلومتر و عرض ۲-۲۰ کیلومتر از شمال غرب زاهدان تا شمال شرق سراوان رختمنون دارد. سنگهای گرانیتوئیدی منطقه چشمه بید، دارای طیف ترکیبی دیوریت، کوارتزدیوریت، گرانودیوریت، مونزوگرانیت و سیینوگرانیت می‌باشند. دیوریتها غالباً بصورت توده هایی کوچک و شناور در گرانیتها دیده می‌شوند. آنها مافیکترین و قدیمی‌ترین عضو مجموعه گرانیتوئیدی مورد مطالعه بوده، دارای بافت گرانولار و کانی‌شناسی ساده مشکل از هورنبلنده، پلاژیوکلاز، بیوتیت و مقادیر کمی کوارتز، اسفن و آپاتیت هستند. بیوتیتها عمدتاً بر اثر عملکرد متاسوماتیسم پتاسیک بر هورنبلندها بوجود آمده‌اند. در این منطقه دایکهایی با ترکیب آندزیتی تا داسیتی نیز دیده می‌شوند که دارای ترکیب شیمیایی مشابه با دیوریتها و کوارتزدیوریتها بوده و بنظر می‌رسد که بخش‌های نیمه عمیق پیش رس و تفریقی آنها باشند. بخش عمده توده گرانیتوئیدی چشمه بید از گرانودیوریت، مونزوگرانیت و سیینوگرانیت تشکیل شده و دارای آنکلاوهای فراوان میکاشیستی و دیوریتی - کوارتز دیوریتی می‌باشد. گرانیتها و گرانودیوریتها دارای بافت گرانولار و ترکیب کانی‌شناسی ساده مشکل از فلدسپات الکالن، پلاژیوکلاز(آلبیت - الیگوکلاز)، هورنبلندسبز، بیوتیت، اسفن، آپاتیت، آلانیت، مونازیت و زیرکن می‌باشند. این توده دارای مرز تدریجی، گنیسی و آناتکتیک با دگرگونه‌های میزان می‌باشد و شواهد صحرایی نشان می‌دهند که از ذوب بخشی(آناتکسی) این دگرگونه‌ها بوجود آمده است. بررسی دقیق شواهد صحرایی نشان می‌دهد که آنکلاوهای شیستی بقایای ذوب نشده سنگ میزان شیستی هستند و آنکلاوهای میکروگرانولار مافیک نیز از گسیختگی سنگهای دیوریتی و دایکهای آندزیتی - داسیتی بوجود آمده‌اند. آنکلاوهای مافیک دارای حاشیه‌های اندکی تا کاملاً گرد شده هستند که حاکی از طبیعت نسبتاً گرم آنها در هنگام جایگزینی توده گرانیتی است. در محل تماس توده گرانیتوئیدی با دگرگونه‌های میزان، آندالوزیت هورنفلس، سیلیمانیت هورنفلس، کردیریت هورنفلس و اسکارنهای حاوی گارنت(گرسولار)، ولستونیت و دیوپسید مشاهده می‌شود.

در دیاگرامهای طبقه‌بندی ژئوشیمیایی، سنگهای گرانیتوئیدی منطقه در محدوده‌های گرانیت، گرانودیوریت و کوارتز دیوریت واقع شده‌اند. روندهای تغییرات اکسیدهای عناصر اصلی در مقابل سیلیس حاکی از وجود دو مجموعه جداگانه شامل دیوریتها - کوارتزدیوریتها - دایکهای آندزیتی - داسیتی و گرانیتهاست. اما هرکدام از مجموعه‌ها یک طیف ترکیبی پیوسته را تشکیل می‌دهند. این امر حاکی از دوگانه بودن ماجماتیسم است و با توجه به شواهد صحرایی دوزمانه بودن آن نیز محرز می‌باشد. دیاگرام عنکبوتی بهنجار شده به کندریت نمونه‌ها، حاکی از غنی شدگی آنها از عنصر ناسازگار و کمیاب سبک همچون Rb, Ba, Th, U, K, La, Sr و تهی شدگی آنها از عنصر سازگار و کمیاب سنگین همچون Ta, Nb, Ti, Y می‌باشد. اگر چه دیوریتها نیز از عنصر ناسازگار و کمیاب سبک تا حدودی غنی شده اند ولی در مقایسه با گرانیتها غنی شدگی کمتری نشان می‌دهند. غنی شدگی گرانیتها از عنصر ناسازگار و کمیاب سبک و تهی شدگی آنها از عنصر سازگار و کمیاب سنگین حاکی از منشأ پوسته ای آنها و عکس این روند در دیوریتها حاکی از منشأ گوشه‌ای آنهاست. گرانیتها و گرانودیوریتهای مورد مطالعه دارای طبیعت پرآلومین و دیوریتها دارای طبیعت متألومین هستند. بررسی‌های ژئوشیمیایی و پترولوجیکی نشان می‌دهند که توده گرانیتوئیدی چشمه بید در مجموع دارای ماهیت کالکوالکالن و از نوع گرانیتوئیدهای VAG و CAG می‌باشد. بخش‌هایی از این توده در مراحل پایانی جایگزینی خود تحت تاثیر سیالات گرمایی قرار گرفته و زونهای دگرسانی آرژیلیتی و سیلیسی به همراه ان迪س‌هایی از طلا و استیبنیت در آن بوجود آمده است.

کلمات کلیدی: پترولوزی، ژئوشیمی، توده گرانیتوئیدی، چشمه بید، زاهدان.

## فهرست مطالب

صفحه	عنوان
الف	تشکر و قدردانی .....
ب	چکیده .....
ج، د، ه	فهرست مطالب .....
و	فهرست جداول .....
ز، ح	فهرست اشکال و تابلوها .....

### فصل اول - کلیات

۱	۱- موقعیت جغرافیایی و راههای ارتباطی .....
۴	۲- آب و هوا و جغرافیای انسانی .....
۴	۳- ژئومورفولوژی .....
۴	۴- مطالعات قبلی .....
۷	۵- هدف کلی از مطالعه .....
۷	۶- روشهای مطالعاتی .....

### فصل دوم - زمین شناسی عمومی منطقه

۱۰	۱-۱- مقدمه .....
۱۲	۱-۲- واحدهای ساختاری منطقه مورد مطالعه .....
۱۲	۱-۲-۱- واحد فلیشی .....
۱۴	۱-۲-۲- واحد گرانیتوئیدی زاهدان .....
۲۱	۱-۲-۳- واحدهای سنگی - آبرفتی کواترنر .....
۲۱	۲-۳- زمین شناسی ساختمانی .....
۲۲	۱-۳-۲- شکستگی ها و گسلها .....
۲۲	الف - روندهای شمال غربی - جنوب شرقی .....
۲۲	ب - روندهای شمالی - جنوبی .....
۲۳	ج - روندهای N170 .....
۲۳	د - روندهای گسلی N110 تا N100 .....
۲۴	ه - روندهای گسلی N20 .....
۲۵	و - روندهای گسلی N100 و N20 .....
۲۵	ز - روندهای گسلی N100 .....
۲۵	ح - روندهای تقریباً شرقی - غربی .....

## فصل سوم - پتروگرافی

۲۸	.....	۳-۱- مقدمه
۲۸	.....	۳-۲- طبقه بندی مودال سنگهای آذرین
۳۱	.....	۳-۳- پتروگرافی و سنگشناسی گرانیت‌های معمولی(مونزوگرانیت - سینوگرانیت)
۳۴	.....	۳-۴- پتروگرافی و سنگشناسی آپلیت‌های مرتبط با گرانیت‌ها
۳۹	.....	۳-۵- پتروگرافی و سنگشناسی پگماتیت‌های مرتبط با گرانیت‌ها
۴۲	.....	۳-۶- پتروگرافی و سنگشناسی گرانودیوریت‌ها
۵۳	.....	۳-۷- پتروگرافی و سنگشناسی آپلیت‌های مرتبط با گرانودیوریت‌ها
۵۷	.....	۳-۸- پتروگرافی و سنگشناسی پگماتیت‌های مرتبط با گرانودیوریت‌ها
۶۱	.....	۳-۹- پتروگرافی و سنگشناسی دیوریت‌ها و کوارتزدیوریت‌ها
۶۵	.....	۳-۱۰- پتروگرافی و سنگشناسی آنکلاوها
۶۵	.....	۳-۱۱- آنکلاوهای مشتق شده از سنگهای دگرگونی
۶۵	.....	۳-۱۲- آنکلاوهای میکروگرانولار مافیک

## فصل چهارم - ژئوشیمی و پترولوزی

۷۳	.....	۴-۱- مقدمه
۷۴	.....	۴-۲- آماده‌سازی و تصحیح داده‌های تجزیه‌های شیمیایی
۷۷	.....	۴-۳- استفاده از نتایج تجزیه‌های شیمیایی
۷۸	.....	الف- طبقه‌بندی براساس ترکیب نورماتیو
۷۹	.....	ب- طبقه‌بندی شیمیایی
	.....	۴-۲-۳- استفاده از نتایج تجزیه‌های شیمیایی عناصر اصلی نمونه‌های مورد مطالعه در بررسی روندهای تغییرات آنها
۸۲	.....	الف- بررسی روندهای تغییرات عناصر اصلی در گرانیتوئیدها
۸۵	.....	ب- بررسی روندهای تغییرات عناصر اصلی در دایکهای آندزیتی - داسیتی
۸۷	.....	۴-۳-۳- استفاده از نتایج تجزیه‌های شیمیایی در بررسی تغییرات برخی از عناصر فرعی و خاکی نادر
۹۰	.....	۴-۳-۴- نمایش داده‌های عناصر کمیاب بصورت نمودارهای عنکبوتی
۹۰	.....	الف- نمودار عنکبوتی بهنجار شده به کندریت
۹۱	.....	ب- نمودار عنکبوتی بهنجار شده به گوشه
۹۳	.....	ج- نمودار مقایسه‌ای
۹۶	.....	۴-۴- پترولوزی
۹۶	.....	۴-۵- سری ماقمایی
۹۹	.....	۴-۶- درجه اشباع آلومین (ASI) سنگهای گرانیتوئیدی منطقه چشم‌بید

## فصل پنجم - منشا و محیط تکتونیکی

۱۰۲	..... ۱-۵ - مقدمه
۱۰۲	..... ۲-۵ - تقسیم‌بندی ژنتیکی گرانیت‌ها
۱۰۴	..... ۳-۵ - معیارهای لازم برای تشخیص گرانیت‌های نوع I و S
۱۰۴	..... ۱-۳-۵ - معیارهای صحرایی
۱۰۵	..... ۲-۳-۵ - معیارهای سنگ‌شناسی
۱۰۶	..... ۳-۳-۵ - معیارهای شیمیایی
۱۱۴	..... ۴-۵ - دیاگرامهای استفاده شده جهت تمایز گرانیتوئیدهای نوع I و S
۱۱۴	..... ۱-۴-۵ - نمودار A/CNK در مقابل $\text{SiO}_2$
۱۱۴	..... ۲-۴-۵ - نمودار CaO در مقابل FeO
۱۱۴	..... ۳-۴-۵ - نمودار Zr+Nb+Ce+Y در مقابل $\text{Na}_2\text{O}+\text{K}_2\text{O}/\text{CaO}$
۱۱۶	..... ۵-۵ - رده‌بندی گرانیتوئیدهای منطقه چشم‌بید براساس محیط تکتونیکی
۱۱۶	..... ۱-۵-۵ - نمودارهای متمايز کننده محیط‌های تکتونیکی گرانیتوئیدها بر پایه استفاده از عناصر اصلی
۱۱۶	..... ۲-۵-۵ - نمودارهای متمايز کننده محیط‌های تکتونیکی گرانیتوئیدها بر پایه استفاده از عناصر کمیاب
۱۲۲	..... ۶-۵ - نتیجه گیری
۱۳۰	

## فهرست منابع

۱۳۳	الف - منابع فارسی
۱۳۶	ب - منابع لاتین

## فهرست جداول

صفحه	عنوان
۲۹	جدول ۱-۳- نتایج آنالیز مودال ۱۰ نمونه از سنگهای گرانیتوئیدی منطقه چشمبهید
۷۳	جدول ۱-۴- مختصات دقیق نمونه‌های برداشت شده توسط GPS
۷۶	جدول ۲-۴- نتایج آنالیز شیمیایی نمونه‌های منطقه مورد مطالعه
۹۴	جدول ۳-۴- نتایج تجزیه شیمیایی سنگهای منطقه Seria Nevada
۱۰۴	جدول ۱-۵- معیارهای صحرایی جهت تفکیک گرانیتوئیدهای نوع I و S <sub>I</sub>
۱۰۵	جدول ۲-۵- معیارهای کانی‌شناسی و پتروگرافی جهت تفکیک گرانیتهای نوع I و S <sub>I</sub>
۱۰۶	جدول ۳-۵- ویژگیهای شیمیایی گرانیتهای نوع I و S <sub>I</sub>
۱۰۷	جدول ۴-۵- ویژگیهای صحرایی، کانی‌شناسی، پتروگرافی و ژئوشیمیایی گرانیتوئیدهای مورد مطالعه
۱۱۳	جدول ۵-۵- ویژگیهای عمدۀ انواع گرانیتوئیدهای وابسته به محیط‌های کوهزایی (اوروزنیک)، با گرانیتوئیدهای مورد مطالعه
۱۲۱	جدول ۶-۵- مقایسه ویژگیهای گرانیتوئیدهای مورد مطالعه با انواع گرانیتوئیدهای CCG و IAG,CAG

## فهرست اشکال و تابلوها

صفحة	عنوان
٣	شكل ۱-۱- موقعیت جغرافیایی و نقشه راههای ارتباطی منطقه مورد مطالعه
٨	شكل ۱-۲- تصویر ماهواره‌ای منطقه مورد مطالعه در مقیاس ۱:۱۲۰۰۰
۱۱	شكل ۱-۲- نقشه واحدهای ساختاری ایران و موقعیت منطقه مورد مطالعه در آن
۱۳	شكل ۲-۲- بخشی از نقشه زمین‌شناسی ۱:۲۵۰۰۰ زاهدان
۲۴	شكل ۲-۳- نقشه زمین‌شناسی ساده شده جنوب‌شرق ایران
۳۰	شكل ۱-۳- نمودار مودال اشتريکايزن
۷۸	شكل ۱-۴- نمودار مثلثي An-Ab-Or جهت تعیین موقعیت تركیبی سنگهای سازنده توده گرانیتوئیدی چشمبهید
۸۰	شكل ۲-۴- رده‌بندی شیمیایی کاکس و همکاران
۸۱	شكل ۳-۴- رده‌بندی شیمیایی دبون و لوفور
۸۱	شكل ۴-۴- رده‌بندی شیمیایی میدلموست
۸۴	شكل ۴-۵- نمودارهای تغییرات عناصر اصلی در مقابل سیلیس (گرانیتوئیدها)
۸۶	شكل ۴-۶- نمودارهای تغییرات عناصر اصلی در مقابل سیلیس (دایکها)
۸۸	شكل ۷-۴- نمودارهای هارکر نشان دهنده تغییرات برخی از عناصر فرعی و خاکی نادر در مقابل سیلیس
۸۹	شكل ۸-۴- نمودارهای هارکر نشان دهنده تغییرات برخی از عناصر فرعی و خاکی نادر در مقابل سیلیس
۹۲	شكل ۹-۴- دیاگرام عنکبوتی بهنجار شده به کندریت برای نمونه‌های مورد مطالعه
۹۲	شكل ۱۰-۴- دیاگرام عنکبوتی بهنجار شده به گوشته برای نمونه‌های مورد مطالعه
۹۵	شكل ۱۱-۴- مقایسه دیاگرام عنکبوتی بهنجار شده به کندریت با تولیت Seria Nevada با نمونه‌های مورد مطالعه
۹۵	شكل ۱۲-۴- مقایسه دیاگرام عنکبوتی بهنجار شده به گوشته با تولیت Seria Nevada با نمونه‌های مورد مطالعه
۹۷	شكل ۱۳-۴- دیاگرام مجموع آلکالن در مقابل سیلیس
۹۷	شكل ۱۴-۴- دیاگرام AFM ویلسون
۹۸	شكل ۱۵-۴- دیاگرام $\text{SiO}_2 / \text{FeO} / \text{MgO}$ در مقابل
۱۰۰	شكل ۱۶-۴- دیاگرامهای تفکیک کننده سنگهای منطقه مورد مطالعه بر اساس درجه اشباع آلومین
۱۱۱	شكل ۱-۵- چهار مرحله ایده‌آل برای بیان فرایندهای درگیر در پتروژنر گرانیتوئیدهای هیبرید

.....	شکل ۲-۵- یک الگوی تکتونیکی ممکن در رابطه با انواع گرانیتوئیدها و محیط تکتونیکی آنها
۱۱۲	.....
.....	شکل ۳-۵- دیاگرامهای متمایز کننده گرانیتوئیدهای نوع I و S
۱۱۵	.....
.....	شکل ۴-۵- مراحل تدریجی تفکیک انواع محیط تکتونیکی سنگهای گرانیتوئیدی
۱۱۸	.....
.....	شکل ۵-۵- نمودارهای متمایز کننده محیطهای تکتونیکی برای گرانیتوئیدهای مورد مطالعه بر پایه عناصر اصلی
۱۲۰	.....
.....	شکل ۶-۵- نمودارهای متمایز کننده محیطهای تکتونیکی برای گرانیتوئیدهای مورد مطالعه بر پایه عناصر فرعی
۱۲۴	.....
.....	شکل ۷-۵- نمودار متمایز کننده محیط تکتونیکی، بر اساس نسبت $\text{SiO}_2/\text{Rb/Zr}$ در مقابل
۱۲۵	.....
.....	شکل ۸-۵- موقعیت ژئودینامیکی مرکز و جنوب شرق ایران در اوآخر کرتاسه - اوایل پالئوسن
۱۲۷	.....
.....	شکل ۹-۵- مدل پیشنهادی تیروول و همکاران، برای فرورانش بلوک لوت به زیر بلوک افغان
۱۲۸	.....
.....	شکل ۱۰-۵- فرایند از دادن آب و تولید مagma بر طبق ساختمان حرارتی گوشته گرم و پوسته سرد
۱۲۹	.....

## تابلوها

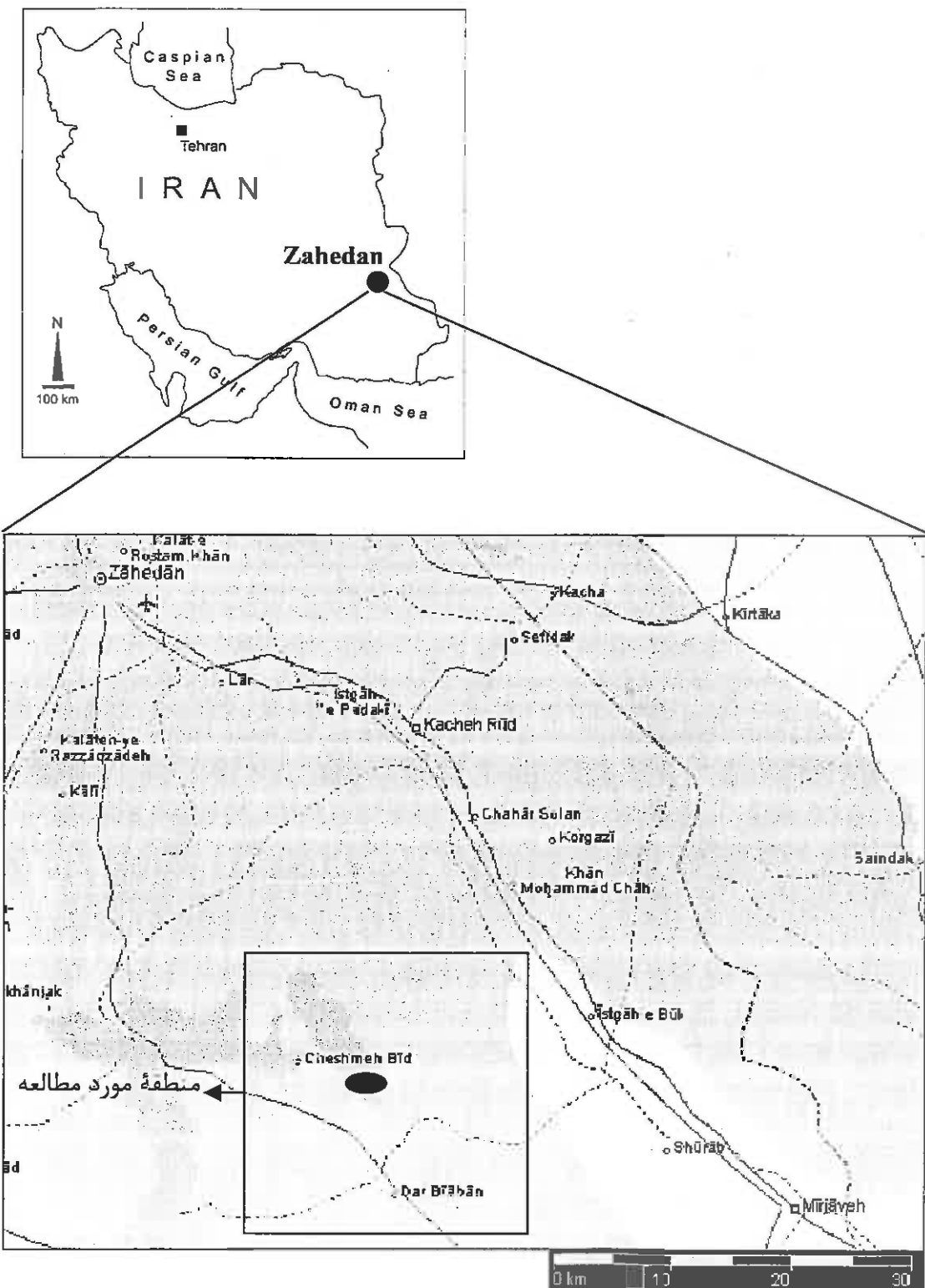
.....	تابلوی ۱-۲
۱۷	.....
.....	تابلوی ۲-۲
۲۰	.....
.....	تابلوی ۱-۳
۳۶	.....
.....	تابلوی ۲-۳
۳۸	.....
.....	تابلوی ۳-۳
۴۱	.....
.....	تابلوی ۴-۳
۴۵	.....
.....	تابلوی ۵-۳
۴۸	.....
.....	تابلوی ۶-۳
۵۲	.....
.....	تابلوی ۷-۳
۵۶	.....
.....	تابلوی ۸-۳
۶۰	.....
.....	تابلوی ۹-۳
۶۴	.....
.....	تابلوی ۱۰-۳
۶۷	.....
.....	تابلوی ۱۱-۳
۷۱	.....

# فصل اول

کلیات

## ۱-۱- موقعیت جغرافیایی و راههای ارتباطی

منطقه مورد مطالعه در جنوب - جنوب شرق شهر زاهدان (مرکز استان سیستان و بلوچستان) بین طولهای جغرافیایی "۴۵°۰۰'۰۰" الی "۵۳°۲۱'۰۰" و عرضهای جغرافیایی "۶۱°۱۷'۰۰" شرقی و عرضهای آسفالته زاهدان - "۱۵'۱۸" شمالی واقع شده است. دسترسی به این منطقه از طریق راههای آسفالته زاهدان - خاش و زاهدان - میرجاوه امکان پذیر است. تعداد زیادی راههای فرعی آسفالته، شنی و خاکی دیگر نیز وجود دارد که دسترسی به بخشهای داخلی منطقه مزبور را میسر می‌سازد (شکل ۱-۱). در منطقه مورد مطالعه روستاهای چشمبه بید، درگیابان، توزگی، توحید آباد، حکیم آباد، کوچکی و کاشی قرار دارند، که راههای ارتباطی کلیه این روستاهای خاکی درجه ۲ می‌باشد.



شکل ۱-۱- موقعیت جغرافیایی و نقشه راههای ارتباطی منطقه مورد مطالعه.

روستای چشمبهید

## ۱-۲-آب و هوا و جغرافیای انسانی

به طور کلی استان سیستان و بلوچستان یکی از خشک‌ترین و کم باران‌ترین استانهای کشور محسوب می‌شود که اختلاف درجه حرارت آن بین حداقل ۳۲ درجه سانتیگراد و حداقل ۱۴ درجه سانتیگراد متغیر می‌باشد. منطقه مورد مطالعه بین اقلیم بیابانی تا نیمه بیابانی قرار می‌گیرد، نزولات جوی آن اندک و غالباً به صورت رگبارهای شدید می‌باشد.

این منطقه فقیر از پوشش گیاهی است، به همین دلیل تعداد کمی روستا با جمعیت بسیار کم و به طور پراکنده در این منطقه یافت می‌شود. با توجه به شرایط آب و هوایی منطقه، تقریباً در تمامی طول سال انجام کارهای صحرایی امکان‌پذیر است، اما عواملی از قبیل گرمای تابستان، بادهای ۱۲۰ روزه سیستان و سرمای خشک زمستان سرعت انجام کار را کاهش می‌دهند.

## ۱-۳-ژئومورفولوژی

این منطقه دارای مورفولوژی بسیار متنوع متشكل از دشت‌های پست کم ارتفاع تا کوههای نسبتاً مرتفع می‌باشد. در فواصل بین مناطق مرتفع، دشت‌های پست و کم ارتفاع کوچک و بزرگی وجود دارد که روستاهای فعالیت‌های کشاورزی و اقتصادی عمده‌ای در این نقاط تمرکز یافته است. در مناطق پست تعدادی رودخانه و آبراهه فصلی وجود دارد، که در بعضی از سالها و فصلها آب در آنها جریان دارد. مناطق دگرگونی که از قابلیت فرسایش بیشتری برخوردار هستند، دارای کوههای کم ارتفاع تری می‌باشند و مورفولوژی ملائم‌تری دارند.

## ۱-۴-مطالعات قبلی

به طور کلی در ارتباط با این منطقه مطالعات محدودی صورت گرفته است. مطالعات انجام شده به چند مورد تهیه نقشه‌های زمین‌شناسی کوچک مقیاس، بزرگ مقیاس و چند مورد پروژه‌هایی معطوف می‌شود که به منظور شناخت پتانسیلهای معدنی در این منطقه صورت گرفته است. با این وجود مطالعات انجام شده قبلی عبارتند از:

- ایتال کنسولت(۱۹۵۹-۱۹۶۰)، طرح سازماندهی، توسعه اجتماعی - اقتصادی ناحیه جنوب شرق ایران.
- ت�ا و همکاران(۱۳۶۵-۱۳۶۲)، گزارش پی جویی مواد اولیه در استان سیستان و بلوچستان، انتشارات سازمان صنایع و معادن استان سیستان و بلوچستان.
- سازمان صنایع و معادن استان سیستان و بلوچستان(۱۳۶۷)، گزارش عملیات طرح پتانسیل یابی مواد معدنی و تهیه دفترچه مشخصات معادن استان سیستان و بلوچستان در سالهای ۱۳۶۰ تا ۱۳۶۶.
- یوسفی(۱۳۶۷)، نقشه شدت کل مغناطیسی(۶ برگه)، انتشارات سازمان زمین‌شناسی و اکتشافات معدنی کشور.
- آقانباتی(۱۳۷۰)، نقشه سنگهای ماقمایی ایران با مقیاس ۱:۲۵۰۰۰۰ طرح تدوین کتاب زمین‌شناسی ایران.
- سازمان صنایع و معادن استان سیستان و بلوچستان (۱۳۷۰)، گزارش وضع معادن استان سیستان و بلوچستان در سال ۱۳۷۰.
- سامانی، بهرام و اشتربی، شادی(۱۳۷۱)، تکوین زمین‌شناسی ناحیه سیستان و بلوچستان، فصلنامه علوم زمین، سال اول، شماره ۴، صفحات ۱۴ تا ۲۵.
- سازمان صنایع و معادن استان سیستان و بلوچستان(۱۳۷۳)، سیمای معادن استان سیستان و بلوچستان.
- موسسه تحقیقات علوم و فنون زمین(۱۳۷۵)، گزارش مقدماتی پروژه متالوژنی استان سیستان و بلوچستان(مبتنی بر کارهای انجام شده قبلی).
- صاحب زاده، بهروز(۱۳۷۷)، پترولوزی و جایگاه تکتونیکی باتولیت لوچان(بخشی از گرانیتوئیدهای زاهدان) رساله کارشناسی ارشد، دانشگاه آزاد اسلامی واحد تهران.
- موسسه تحقیقات علوم و فنون زمین(۱۳۷۷)، بررسی‌های متالوژنی استان سیستان و بلوچستان.

- کپتین(۱۸۴۶)، گزارش زمین‌شناسی تپه‌های بلوچستان که در مجله زمین‌شناسی لندن جلد ۲ به چاپ رسیده است.

- گریفیس و همکاران(۱۹۷۸)، گزارش مقدماتی شناسایی اندیشهای معدنی شرق ایران.

- کمپ و گریفیس(۱۹۸۲)، ویژگیها، ژنز و جایگاه تکتونیکی سنگهای آذرین جوش خورده سیستان که در شماره ۱۵ مجله لیتوس منتشر شده است.

- گریفیس(۱۹۸۳)، نقشه زمین‌شنلی ۱:۱۰۰۰۰۰ میرجاوه، انتشارات سازمان اکتشافات معدنی و زمین‌شناسی کشور.

- تیرول و همکاران(۱۹۸۳)، زون جوش خورده سیستان در شرق ایران که در مجله سازمان زمین‌شناسی آمریکا به چاپ رسیده است.

- بربریان(۱۹۸۳)، نقشه زمین‌شناسی زاهدان به مقیاس ۱:۱۰۰۰۰۰.

- قرشی(۱۹۸۵)، عملکرد گسلهای سنوزوئیک پایانی در جنوب شرق ایران، انتشارات سازمان زمین‌شناسی کشور.

- بهروزی(۱۹۹۳)، نقشه زمین‌شناسی زاهدان به مقیاس ۱:۲۵۰۰۰۰، انتشارات سازمان زمین‌شناسی کشور.

- بلوو(۱۹۹۷)، گزارش مقدماتی تفسیر تصاویر ماهواره ای استان سیستان و بلوچستان، گزارش داخلی موسسه تحقیقات علوم و فنون.

- سازمان صنایع و معادن استان سیستان و بلوچستان(۱۳۸۱)، طرح اکتشاف آنتیموان سفید، در حد تهیه دفترچه مشخصات معدنی.

- سازمان صنایع و معادن استان سیستان و بلوچستان(۱۳۸۱)، طرح اکتشاف مس خیرآباد، در حد تهیه دفترچه مشخصات معدنی.

- سازمان صنایع و معادن استان سیستان و بلوچستان(۱۳۸۱)، طرح اکتشاف تراورتن خیرآباد، در حد تهیه دفترچه مشخصات معدنی.

- تیوای، محمد جعفر(۱۳۸۱)، پترولوزی و ژئوشیمی دایکهای تیره فراوان در جنوب غرب زاهدان،

پایان نامه کارشناسی ارشد، گروه زمین شناسی، دانشکده علوم، دانشگاه تهران.

- کاوش کانسار(۱۳۸۱)، طرح اکتشاف و شناسایی مواد معدنی در جنوب زاهدان، مشتمل بر

زمین شناسی، ژئوشیمی و داده های حاصل از آنالیز نمونه ها به روش های مختلف.

- صادقیان(۱۳۸۳)، ماجماتیسم، متالوژنی و مکانیسم جاگزینی توده گرانیتوئیدی زاهدان، رساله دوره

دکتری زمین شناسی (گرایش پترولوزی)، دانشگاه تهران.

## ۱-۵- هدف کلی از مطالعه

نوار گرانیتوئیدی زاهدان - سراوان یکی از ویژگی های بارز و شاخص زمین شناسی جنوب شرق

ایران می باشد. گرانیتوئیدهای منطقه چشم بید که در جنوب شرق این نوار گرانیتوئیدی قرار دارند،

تاکنون از نظر پترولوزیکی و ژئوشیمیایی کمتر مورد توجه قرار گرفته اند. مطالعات محدودی که قبلاً

صورت گرفته، بیشتر به تهیه نقشه های زمین شناسی و یا پروژه ای با هدف شناخت پتانسیل های

معدنی فلزی و غیر فلزی، معطوف گردیده است، لذا انجام این رساله می تواند ما را در رسیدن به

اهداف ذکر شده یاری نماید.

## ۱-۶- روش های مطالعاتی

به منظور انجام این مطالعه ابتدا عکس های هوایی منطقه با مقیاس ۱:۲۰۰۰۰، نقشه های

توپوگرافی ۱:۵۰۰۰۰، نقشه های زمین شناسی ۱:۱۰۰۰۰ و ۱:۲۵۰۰۰، نقشه راه های ارتباطی و

اطلاعات ماهواره ای منطقه تهیه گردید، سپس مطالعات کتابخانه ای راجع به منطقه مورد مطالعه انجام

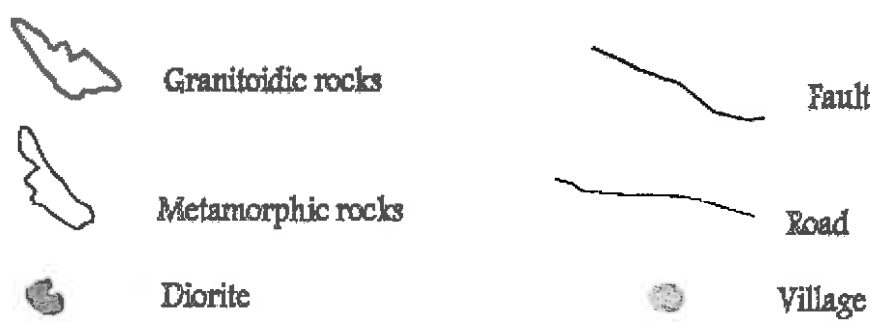
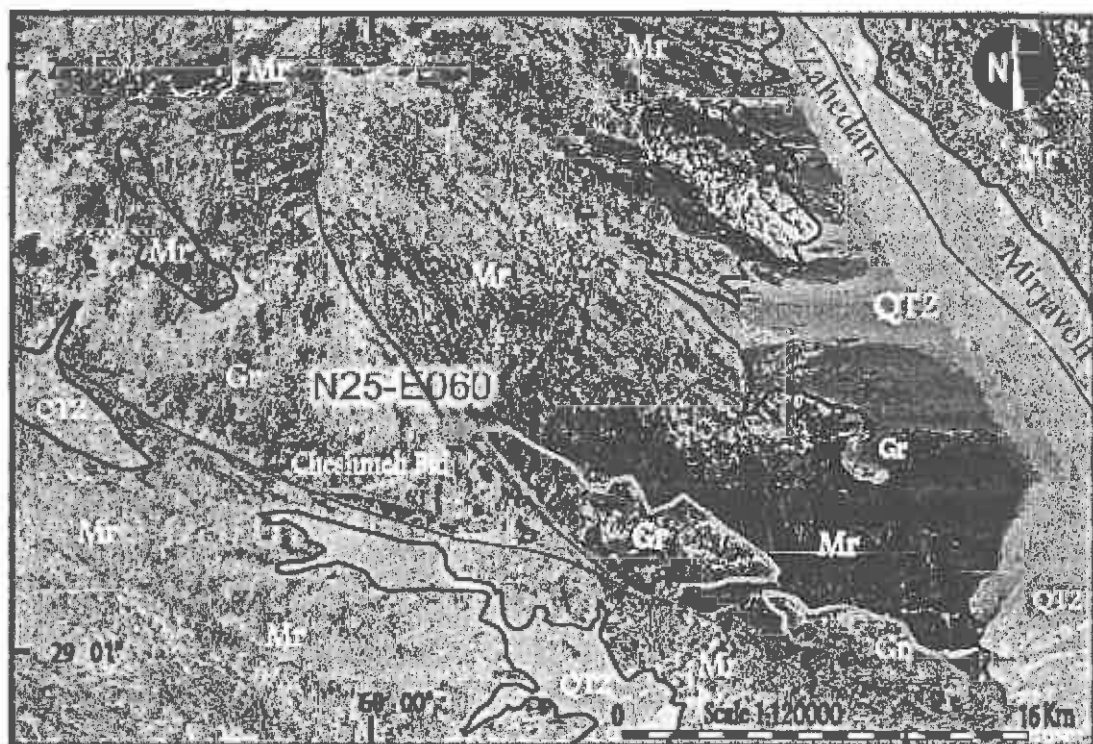
شد. مطالعات صحرایی منطقه در آذر و دی ۸۲ و مرداد ۸۳ انجام پذیرفت. طی مطالعات صحرایی

منطقه، از همه رخنمونه ای موجود، نمونه برداری انجام پذیرفت و به کمک GPS مختصات محل

برداشت آنها مشخص گردید.

از نمونه‌های برداشت شده مقطع نازک تهیه شد و پس از انجام مطالعات پتروگرافی ۱ نمونه از سنگ کل جهت تجزیه شیمیایی عناصر اصلی، کمیاب و کمیاب خاکی انتخاب و در آزمایشگاه رئوشیمی Actlab در کانادا مورد تجزیه شیمیایی به روش ICP-MS قرار گرفتند.

تصویر ماهواره‌ای منطقه مورد مطالعه در مقیاس ۱:۱۲۰۰۰ از سایت Earth sat تهیه و پس از تفکیک واحدهای مختلف زمین‌شناسی بر روی آن، در شکل (۲-۱) به تصویر کشیده شده است.



شکل ۱-۲- تصویر ماهواره‌ای منطقه مورد مطالعه در مقیاس ۱:۱۲۰۰۰.

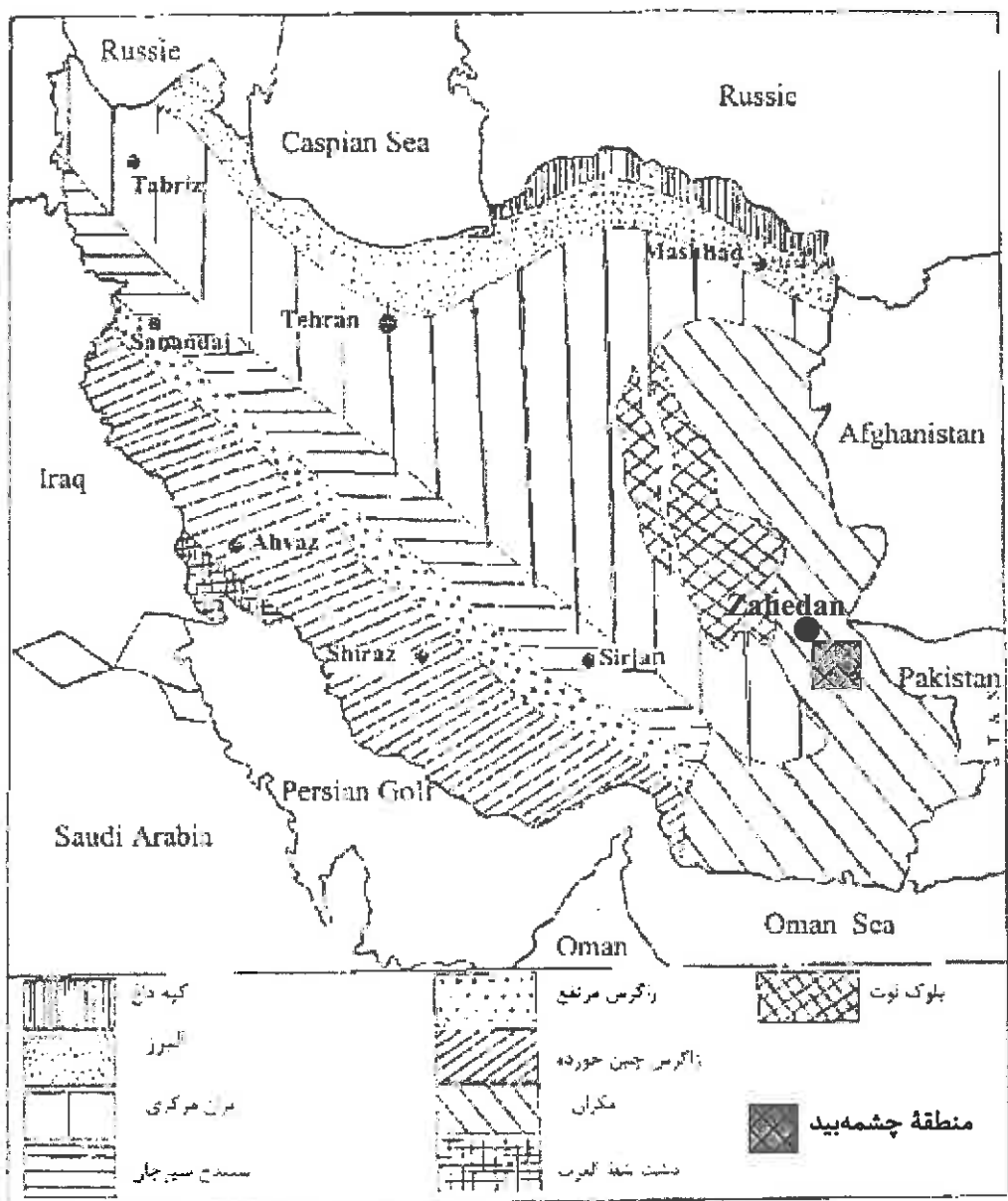
## فصل ۵۹م

زمین‌شناسی عمومی منطقه

## ۱-۲- مقدمه

استان سیستان و بلوچستان بخشی از نوار کوهزاری آلپ هیمالایا را شامل می‌شود، این سرزمین بر مبنای واحدهای ساختاری، تکتونیکی، ماگماتیسم، متامورفیسم و غیره، به پهنه‌ها و زیر پهنه‌هایی شامل پهنه لوت - بزمان، پهنه سیستان و پهنه مکران تقسیم می‌شود. پهنه ساختاری مکران در جنوب استان سیستان و بلوچستان با روند تقریباً شرقی - غربی تا مرز پاکستان ادامه دارد که منطقه مورد مطالعه در این بخش از زون مکران واقع شده است(شکل ۱-۲)، و ادامه غربی آن در استان هرمزگان به واسطه زون گسلی میناب یا زندان از پهنه ساختاری زاگرس جدا می‌شود. ادامه شرقی پهنه مکران را گسل چمن در پاکستان قطع می‌کند. مرز شمالی پهنه مکران، پهنه سیستان و گودال جازموریان است. فرو رفتگی جازموریان حوضه جوانی است، انباسته از نهشته‌های اواخر سنوزوئیک که جدا کننده پهنه لوت - بزمان و مکران است(موسسه تحقیقات علوم و فنون زمین، ۱۳۷۷).

در بی مطالعات گسترده زمین شناسی که در ناحیه مکران صورت گرفته، دیدگاههای جدید و تعیین کننده‌ای در دیدگاه زمین شناسان مطرح گردیده است که ما را در شناخت بیشتر این پهنه و ارزیابی تکوین ساختاری آن یاری می‌دهد.



شکل ۱-۲- نقشه واحدهای ساختاری ایران (اشتوکلین، ۱۹۷۲) و موقعیت منطقه مورد مطالعه در آن.

## ۲-۲- واحدهای ساختاری منطقه مورد مطالعه

به طور کلی واحدهای ساختاری منطقه مورد مطالعه از قدیم به جدید عبارتند از:

### ۲-۲-۱- واحد فلیشی

گسترده‌ترین واحد سنگی دربر گیرنده گرانیتوئیدهای زاهدان، واحد فلیشی به سن ائوسن می‌باشد که در نقشه ۱:۲۵۰۰۰ زاهدان با نماد  $EF_2$  مشخص شده است (شکل ۲-۲). این واحد طیف وسیعی از رسوبات فلیشی با تنابی از شیل، ماسه‌سنگ، سیلتستون، کنگلومرا، مارن، آهک‌نومولیتی کرم تا سبز رنگ و گهگاه میان لایه‌هایی از سنگهای آتشفسانی حد بواسطه تا بازیک را شامل می‌شود. این واحد از گسترش قابل توجهی برخوردار است و روند کلی آن شمال‌غرب - جنوب‌شرق می‌باشد.

این مجموعه، دگرگونی ناحیه‌ای گسترده‌ای را متحمل شده است و درجه دگرگونی ناحیه‌ای آن در حد رخساره شیست‌سبز و رخساره آمفیبولیت تحتانی می‌باشد. این مجموعه، ماسه‌سنگها، سیلتستونها و آهک‌های تجدید تبلور یافته، اسلیت‌ها، فیلیت‌ها، میکاشیست‌ها، گارنت میکاشیست‌ها و سنگهای آتشفسانی حد بواسطه تا بازیک دگرگون شده را شامل می‌شود (بربریان، ۱۹۸۳). در بعضی لایه‌های کربناته این واحد که دگرگونی کمتری را متحمل شده‌اند میکروفسیلهای زیادی یافت می‌شود که شاخص دوره ائوسن می‌باشند. با توجه به شرح حاشیه نقشه ۱:۱۰۰۰۰ زاهدان مجموعه میکروفسیلهای زیر در این سنگها شناسایی شده‌اند:

Alveolina(Glomoalveolina) *sp*, Alveolina *sp*, Assilina leymerei, Assilina *sp*, Assilina pustulosa, Discocyclina *sp*, Flusculia *sp*, Nummulites aturicus, Nummulites incrassatus, Nummulites *sp*, Operculina *sp*.

با توجه به این میکروفسیلهای سن‌هایی که از آنها استنباط می‌شود، سن مجموعه رسوبی فلیشی پالئوسن - ائوسن می‌باشد، منتهی در نقشه‌های ۱:۱۰۰۰۰ و ۱:۲۵۰۰۰ زاهدان، به طور کلی بیشتر بر دوره سنی ائوسن تاکید گردیده است (بربریان، ۱۹۸۳ و بهروزی، ۱۹۹۳).

شواهد سنی و چینه‌شناسی ارائه شده توسط بربیران(۱۹۸۳) و یافت شدن میکروفسیلهای شاخص اوسن میانی، همه مبین آن است که سن سنگهای میزبان توده گرانیتوئیدی زاهدان، پالتوسن - اوسن(غالباً اوسن) می‌باشد. سنگهای فلیشی سپس بر اثر تنش‌های وارد به آنها، مجموعه متنوعی از ساختهای زمین‌شناسی نظیر تاقدیس و ناویدیس را به نمایش گذاشته‌اند. ساختهای ریز مقیاس نظیر چین‌های کوچک مقیاس، کینک باند و... نیز در این سنگها مشاهده می‌شود. گسلهای کوچک و بزرگی نیز در این مجموعه مشاهده می‌شود، که گسلهای تراستی دارای امتداد NW-SE می‌باشند و شبی آنها به سمت شمال‌شرق است و گسلهایی که دارای امتداد NE-SW هستند در درجه دوم اهمیت قرار می‌گیرند.

## ۲-۲-۲- واحد گرانیتوئیدی زاهدان

با توجه به تعیین سن‌های معبدی که از گرانیتوئیدهای زاهدان در دسترس است(۳۲ میلیون سال، کمپ و گریفیس، ۱۹۸۲)، می‌توان نتیجه گرفت که آنها در آغاز الیگوسن تشکیل و جایگزین گردیده‌اند. بحث مربوط به سنگ‌شناسی آنها در فصل‌های بعدی بطور مفصل ارائه خواهد شد. جایگزینی این گرانیتوئیدها در بین سنگهای دگرگونی ناحیه‌ای باعث گردیده است که سنگهای دگرگونی ناحیه‌ای در محدوده وسیعی تحت تأثیر دگرگونی مجاورتی قرار گیرند و طیف متنوعی از سنگهای دگرگونی مجاورتی را به وجود آورند که عبارتند از:

۱- آندالوزیت هورنفلس، ۲- سیلیمانیت هورنفلس، ۳- کردیریت هورنفلس، ۴- کالک‌سیلیکاتها یا مرمرهای گروسولار و ولستونیت‌دار(صادقیان، ۱۳۸۳).

گرانیت‌های منطقه مورد مطالعه دارای روند کلی شمال‌غرب - جنوب‌شرق هستند. مشاهدات صحراوی که در بیش از ۵۰ ایستگاه در این منطقه صورت گرفت نشان داد که بخش عمده منطقه مورد مطالعه را گرانیتها معمولی(سینیوگرانیتها و مونزوگرانیتها) به خود اختصاص می‌دهند. این گرانیتها بخش انتهای جنوب شرق و بخش‌های حاشیه‌ای توده گرانیتوئیدی مورد مطالعه را به خود اختصاص می‌دهند و ارتباط تنگاتنگی با سنگهای دگرگونی دارند(تابلوی ۲-۱- شکل الف).

در مجاورت گرانیتهای معمولی، سنگهای دگرگونی ناحیه‌ای متحمل دگرگونی مجاورتی گردیده‌اند و در آنها کانیهای شاخص دگرگونی مجاورتی نظیر آندالوزیت، کردیریت و سیلیمانیت تشکیل گردیده است. در واحدهای آهکی دگرگون شده تشکیل کانیهای گرسولار، دیوپسید و ولستونیت نیز از جمله شاخصهای دگرگونی مجاورتی در این منطقه می‌باشد. رخمنوهای آهکی دگرگون شده نیز در شرق روستای چشمبهید، جنوب شرق روستای چشمبهید و جنوب روستای زرآگی دیده می‌شوند. گرانیتهای معمولی حاوی مقادیر قابل توجهی آنکلاوهای دگرگونی با ترکیب سنگ‌شناسی متنوع می‌باشند. ولی آنکلاوهای میکروگرانولار مافیک در گرانیتهای معمولی حضور ندارند. این گرانیتها در قسمتهای حاشیه‌ای و مناطق نزدیک به گسلها دگر شکلی قابل ملاحظه‌ای را متحمل گردیده‌اند که منظره‌ای شبه گنیسی به آنها بخشیده است و در ضمن بعضی اوقات در اثر جدایش موضعی نوارهای تیره و روشن نشان می‌دهند(تابلوی ۱-۲ - شکل ب). مشاهدات صحرایی نشان می‌دهد که گاهی این گرانیتها با شیب کم در بین سنگهای دگرگونی تزریق گردیده‌اند و در نتیجه به نظر می‌رسد بین ذوب سنگهای میکاشیستی و تشکیل گرانیتهای معمولی رابطه‌ای منطقی وجود داشته باشد. حضور آنکلاوهای گارنت‌دار در معدن گرانیت بوگ می‌تواند شاهدی بر این ادعا باشد(تابلوی ۱-۲ - شکل ج).

پس از گرانیتهای معمولی، دیوریتها و گرانودیوریتها عمدت‌ترین واحدهای سنگی سازنده توده گرانیت‌وئیدی مورد مطالعه می‌باشند. دیوریتها در امتداد دره تنگه ندام به طور پراکنده رخمنون دارند و حداقل وسعت آنها به ۱ تا ۲ کیلومتر مربع می‌رسد(تابلوی ۱-۲ - شکل د). این سنگها شواهد بارزی از گسیختگی و اختلاط ماقمایی نشان می‌دهند، که به صورت لخته‌های بیوتیت و هونبلند قابل مشاهده است(تابلوی ۲-۲ - شکل الف). همچنین شواهدی از فلدسپات‌زاوی به صورت لکه‌های سفید رنگ بر روی دیوریت‌ها مشاهده می‌شود.

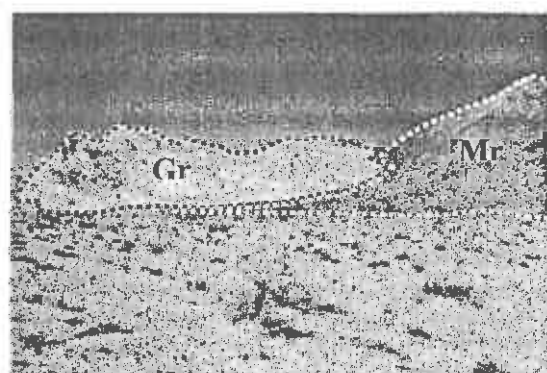
تabelوی ۱-۲ :

شکل الف : تصویری از کنتاکت گرانیتوئیدهای مورد مطالعه با سنگهای دگرگونی.

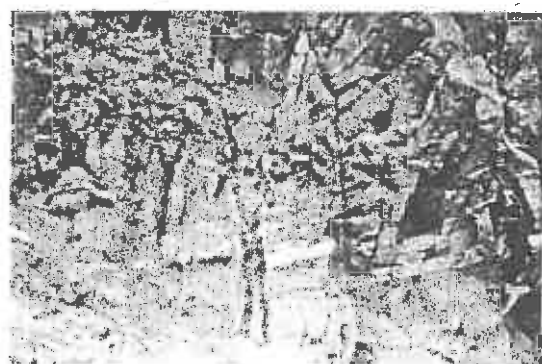
شکل ب : تصویری از نوارهای تیره و روشن، در گرانیتهای معمولی(در اثر جدایش موضعی).

شکل ج : آنکلاوهای گارنتدار موجود در گرانیتهای معدن گرانیت بوگ.

شکل د : تصویر مربوط به دیوریتهای موجود در منطقه مورد مطالعه.



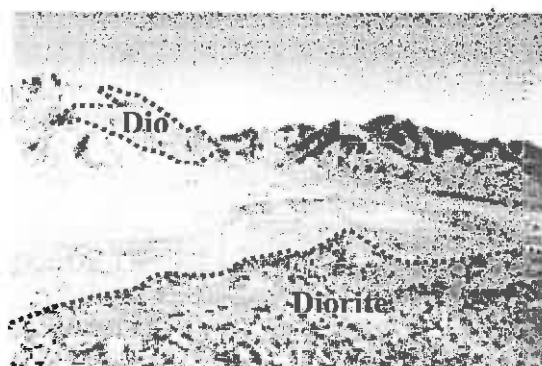
شكل الف



شكل ب



شكل ج



شكل د

تабلوی ۱-۲

سنگهای دیوریتی ارتباط تنگاتنگی با سنگهای گرانودیوریتی نشان می‌دهند و از لحاظ ترکیب کانی‌شناسی شباهت خیلی زیادی بین این دو مشاهده می‌شود، به ویژه در محل کنタکت این دو آنکلاوهای میکروگرانولار مافیک در اشکال و ابعاد متنوع به وفور در داخل گرانودیوریتها یافت می‌شود. گرانودیوریتها پس از گرانیتهای معمولی عمدت‌ترین سنگهای سازنده توده گرانیتوئیدی مورد مطالعه می‌باشند. این سنگها دارای بافت دانه متوسط با رنگ خاکستری روشن می‌باشند. آنکلاوهای میکروگرانولار مافیک به صورت لخته‌های تیره رنگ در این سنگها حضور دارند و ابعاد آنها از مقیاس میلیمتری تا دسیمتری متغیر است (تابلوی ۲-۲ - شکل ب و ج).

گرانودیوریتها از ترکیب کانی‌شناسی ساده‌ای از قبیل هورنبلند، بیوتیت، کوارتز، پلاژیوکلاز و فلدسپات‌های آلکالن تشکیل شده‌اند. حجم آنکلاوهای با ماهیت دگرگونی در این سنگها کم است و غالباً حضور آنها به محل کنタکت آنها با سنگهای دگرگونی محدود می‌شود.

این سنگها غالباً از رنگ و استحکام خوبی برخوردارند و می‌توان از آنها برای مصارف معدنی - ساختمانی استفاده نمود. در برخی نقاط نظیر جنوب غرب روستای چشمبهید این سنگها به طور موضعی دگرسانی آرژیلیتی قابل ملاحظه‌ای را متحمل شده‌اند (تابلوی ۲-۲ - شکل د)، به طوریکه ذر محدوده کوه در گیابان این فرایند به تشکیل کانساری از طلا و نقره منجر شده است. این کانسار در گذشته دور مورد بهره‌برداری قرار گرفته و آثار معدن‌کاری شدادی در این محل به صورت حفر تعداد زیادی ترانشه، چاهک و وجود چند دپوی ماده معدنی و مقدار قابل ملاحظه‌ای سرباره مشخص می‌گردد.

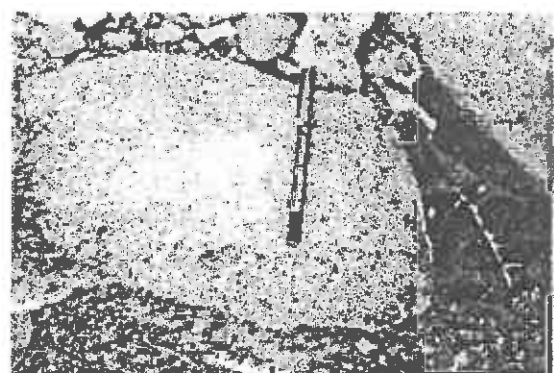
از زمان تشکیل گرانیتها تا عهد حاضر فعالیتهای زمین‌شناسی صرفاً به صورت حضور تعدادی رخنمونهای تراورتنی قابل مشاهده است. که در محدوده مورد مطالعه رخنمون ندارد ولی در مناطق هم‌جوار مشاهده می‌شود.

تابلوی ۲-۲

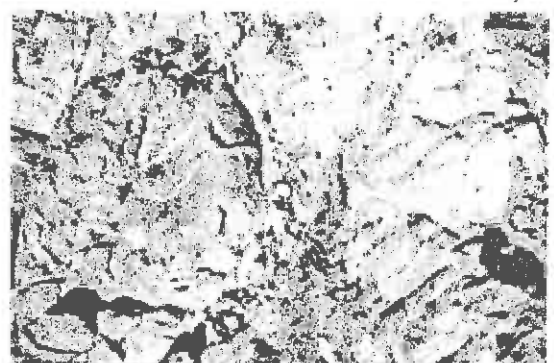
شکل الف : شواهد مربوط به اختلاط ماغمایی موجود در منطقه مورد مطالعه (لخته‌های بیوتیت و هورنبلند).

شکلهای ب و ج : آنکلاوهای میکروگرانولار مافیک موجود در گرانیتوئیدهای منطقه مورد مطالعه.

شکل د : تصویری از دگرسانی آرژیلیتی ایجاد شده در گرانیتوئیدهای جنوب‌غرب روستای چشمبهید.



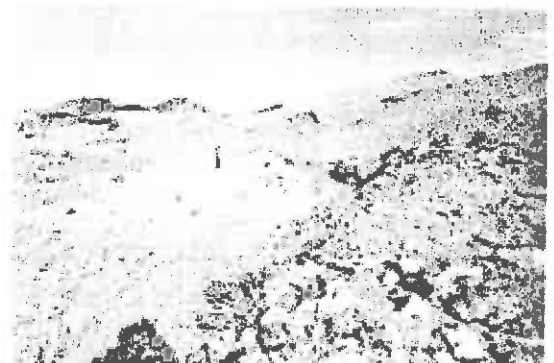
شكل الف



شكل ب



شكل ج



شكل د

٢-٢ تابلوی

### ۲-۳-۲- واحدهای سنگی - آبرفتی کواترنر

این واحد طیف وسیعی از مخروط افکنهای قدیمی و جوان، ماسه‌های بادی و رسوبات رودخانه‌ای و آبراهه‌ای عهد حاضر را شامل می‌شود.

### ۲-۳- زمین شناسی ساختمانی

استان سیستان و بلوچستان بخشهایی از زون ارومیه دختر، ایران مرکزی(بلوک لوت)، زون زابل، زون فلیش سیستان و زون مکران را شامل می‌شود و پهنه‌های لوت - بزمان، سیستان و مکران را در بر می‌گیرد. در محدوده این استان تنوع گسترهای از سنگهای آذرین، رسوبی و دگرگونی با منشأهای مختلف وجود دارد. این سنگها نوارهای افیولیتی، نوارهای گرانیتوئیدی، نوارهای آتشفسانی و توالیهای گستردۀ رسوبی دگرگونی از جمله فلیشهای ائوسن را شامل می‌شوند. با نگرشی بر عناصر مورفولوژی این استان مشاهده می‌شود که ارتفاعات و فرورفته‌گیهای آن از سه روند عمومی پیروی می‌کنند:

الف) روندهای شمالی - جنوبی بیشتر نواحی شمالی استان را شامل می‌شود.  
ب) روندهای شمال غرب - جنوب شرق در بخشهای جنوبی سیستان، در حد واسط سراوان و ایرانشهر تا محدوده خاش قرار دارند.

ج) روندهای تقریباً شرقی - غربی که روند غالب ارتفاعات مکران داخلی و خارجی در جنوب گودال جازموریان و جنوب رودخانه ماشکیت تا سواحل دریای عمان می‌باشد.

در یک مقایسه کلی بین گسلهای استان و این روندها به خوبی منشاء مورفوکتونیکی اشکال ناحیه و نقش ساختاری در شکل‌گیری آنها استنتاج می‌گردد. علاوه بر روندهای مورفولوژی و گسلی ذکر شده چهره مبهم ساختارهای حلقوی در نواحی تفتان و بزمان جلب توجه می‌کند، که با تحلیل دقیق عناصر ساختاری می‌توان به اهمیت در نقش ساختار گنبدی در تکوین مورفوکتونیکی ناحیه پی

برد(موسسه تحقیقات علوم زمین، ۱۳۷۷).

## ۲-۳-۱- شکستگی‌ها و گسلها

شکستگی‌ها به ویژه گسلها از عناصر ساختاری عمدۀ هستند، لذا شناسایی آنها شناخت ما را نسبت به درک و فهم سایر پدیده‌های زمین‌شناسی آسان می‌سازد.

نقشه زمین‌شناسی ساده شده جنوب‌شرق ایران (صادقیان، ۱۳۸۳)، که در آن تمامی گسلها مربوط به جنوب‌شرق ایران مشخص گردیده، در شکل (۳-۲) به تصویر کشیده شده است.

روند‌های گسلی اصلی شناسایی شده در نوار گرانیتوئیدی زاهدان - سراوان عبارتند از :

### الف - روندهای شمال غربی - جنوب شرقی

این روند با راستای حدود N135 از کوه آساگی تا مرز مکران ادامه دارد. این روند محور اصلی ریفت‌زایی و گسترش مجموعه‌های افیولیتی در پهنه سیستان بوده است حرکت و جابجایی این مجموعه گسلی در بسیاری اوقات به گسترش شکستگی‌های مرتبه دوم منجر شده است، این گسلها همچنین در ترکیب با جابجایی گسلهای دارای روند شمال - شمال شرق در خمیده‌گی روند افیولیتی نهبندان - ایرانشهر نقش داشته است جابجایی پلکانی این مجموعه گسلی روندی با راستای حدود N153 در محور افیولیتی نصرت آباد تا ایرانشهر بوجود آورده است که در واقع مرز شرقی حوضه کسکین، واقع در جنوب پهنه لوت - بزمان را می‌سازد.

### ب - روندهای شمالی - جنوبی

سیستم گسلهای شمالی - جنوبی عامل اصلی در چرخش روندهای N135 و ایجاد اشکال شمالی - جنوبی در لوت و شرق ایران می‌باشد. این مجموعه گسلی با جابجایی عمومی راستالغز راست‌گرد عامل اصلی در ایجاد زونهای کششی در ترکیب با روندهای N135 می‌باشد. حرکت گسلهای شمالی - جنوبی، به توسعه و گسترش گسلهایی با روند N7 تا N13 در امتداد گسلهای نهبندان و کهورک در مرز خاوری لوت منجر گردیده است.

جابجایی پهنه گسله نهیندان که وابسته به سیستم گستگی‌های شمالی - جنوبی است، عامل جابجایی و خمش پهنه‌های افیولیتی اصلی از شمال بیرجند تا تفتان و سراوان است. جابجایی کلی در راستای این پهنه گسلی بالغ بر چندین کیلومتر می‌باشد.

لازم به ذکر است که این مجموعه گسلی در آخرین مراحل و دگرشکلی خود یک گسل فشارشی همگرا با مؤلفه قابل ملاحظه راستالغز است. ترکیب این سیستم گسلی با سیستم‌های N135 سطوح چرخشی و پیچشی پیچیده‌تری را در بین اشکال ساختاری ناحیه به وجود می‌آورد که در بسیاری موارد پیچش و چرخش سطوح محوری چین‌های تحت تأثیر جابجایی این مجموعه گسلی شکل گرفته‌اند.

#### ج - روندهای N170

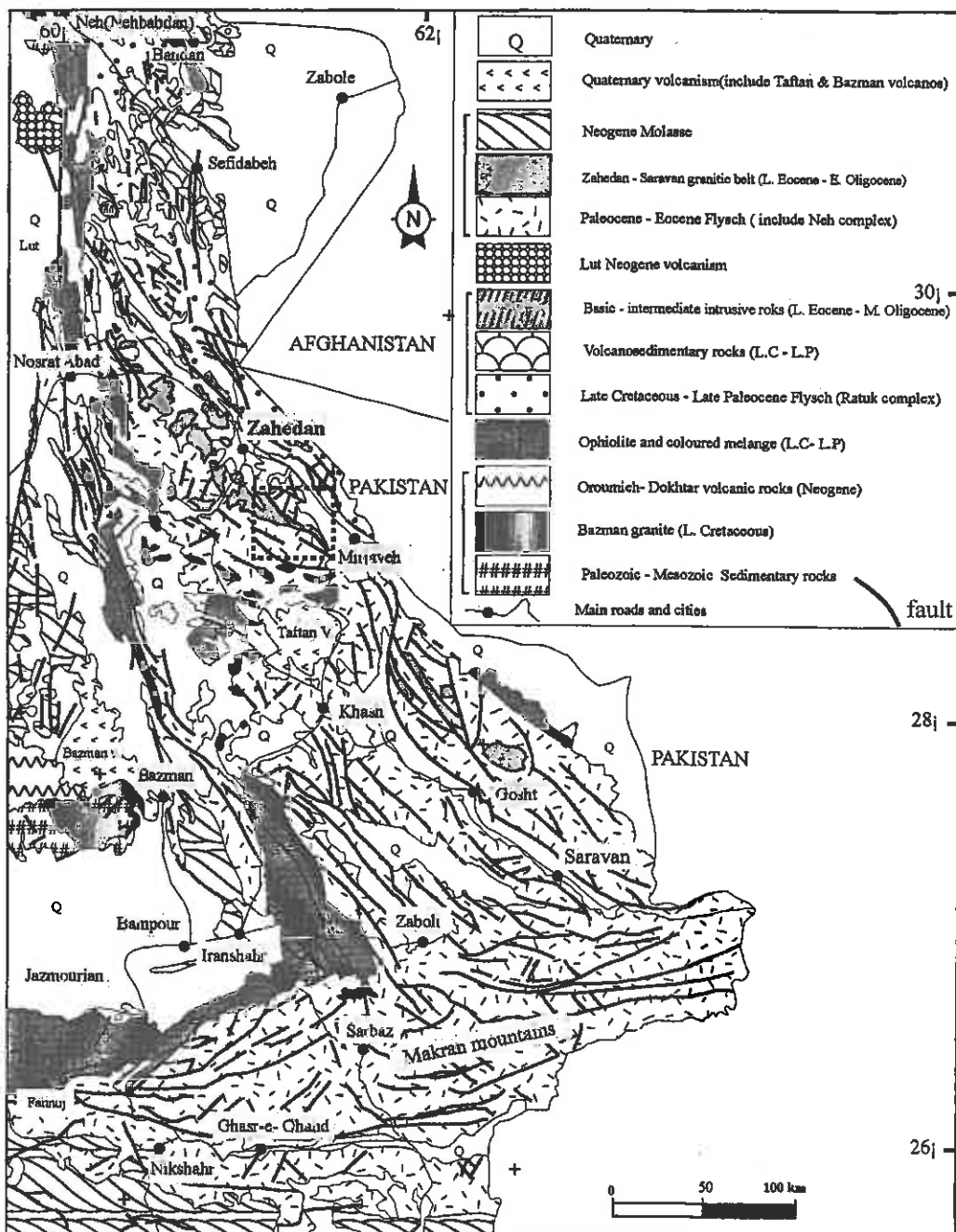
روند N170 در بین روندهای غالب پهنه سیستان و لوت - بزمان روند شاخصی به حساب می‌آید. این روند در شرق واحد تکتونیکی سفیدابه (غرب دشت زابل) و مرز شرقی حوضه فلیشی - مولاسی کسکین به چشم می‌خورد. این گسل‌ها با روندهای مشابه در زاگرس و ایران مرکزی مانند روند گسلهای دهشیر، زفره، میناب - زندان و دنا - کازرون، ایذه و دیگر روندها قابل مقایسه است. در هر حال، مجموعه گسلهای شمالی - جنوبی و روندهای N170، N13 و N7 در مرز بندیهای شمالی - جنوبی شرق ایران نقش اصلی را ایفا می‌کنند.

#### د - روندهای گسلی N100 تا N110

در محدوده پهنه سیستان مجموعه‌ای از گسلها با روند N100 تا N110 وجود دارند که مهمترین آنها، پهنه گسلی شمال تفتان است که مرز بین واحدهای تکتونیکی زاهدان و تفتان را تشکیل می‌دهد. این پهنه گسلی در انحصار یافتنگی فلیشی زاهدان و باتولیت‌های همراه آن به سوی شرق ادامه دارد.

## N20 - روندهای گسلی

مهمترین این روندها، گسل مهمی است که در مرز شرقی مجموعه تفتان با روند N20 مشاهده می شود و بر روی نقشه خطواره های ماهواره ای و روندهای مورفوتکتونیکی کاملاً مشخص می باشد.  
 این گسل را گسل شرق تفتان نامیده اند.



شکل ۲-۳- نقشه زمین‌شناسی ساده شده جنوب شرق ایران (صادقیان، ۱۳۸۳).

## و - روندهای گسلی N100 و N20

این گسلها یک مجموعه مزدوج و همزمان تلقی می‌شوند. گسل شرق تفتان نیز با جابجایی راست‌لغز موجب انحناء یافته‌گی روند عمومی باتولیت گرانیتی و فلیش‌های سراوان به سوی شمال گردیده است. فضای محدود بین گسلهای شرق تفتان و شمال تفتان و پهنه گسلی نهندان - ایرانشهر مجموعه‌ای از سیستمهای کششی را به وجود آورده است که عامل ساختاری کنترل کننده در شکل‌گیری گندب یا ساختار حلقوی تفتان هستند.

## ز - روندهای گسلی N100

این روندها، روندهای غالب در مرزهای شمالی و جنوبی بزمان و نیز بخشهايی از پهنه گسترده جنوب جازموریان می‌باشد. روند زیر پهنه ماگمایی در جنوب لوت نسبت به روند عمومی نوار ماگمایی ارومیه دختر چرخش چپ گردی را نشان می‌دهد که ناشی از برخورد روندهای اصلی با روندهای حاکم بر پهنه لوت می‌باشد. مورفولوژی فرورفتگی جازموریان نیز تحت تأثیر این روندها و روندهای N170 شکل گرفته است.

## ح - روندهای تقریباً شرقی - غربی

این روندها، روند غالب در پهنه مکران می‌باشند و روند عمومی لوت - بزمان و سیستان را به طور شاخص قطع می‌کنند. ادامه این روندها در بلوچستان پاکستان تا گسل چین ادامه دارد. روند این گسلها به موازات خط ساحلی مکران است، این موضوع نشان می‌دهد که احتمالاً خط ساحلی منطبق بر خط تکتونیکی می‌باشد. مرز پهنه جنوبی سیستان در جنوب ماشکید به وسیله گسلهایی با همین روند قطع می‌شود که ادامه آن در منتهی الیه شرقی گودال جازموریان با پهنه افیولیتی نهندان - ایرانشهر برخورد می‌نماید. پهنه گسترش جنوب جازموریان که گستره افیولیت‌های تیپیک ناحیه می‌باشد، توسط همین سیستم گسلی مرزبندی می‌شود. این سیستم گسلی، گسلهای اصلی معکوس و تراستی را شامل می‌شود که بر روند تغییرات رخسارهای، رخسارهای فلیشی و نریتی مکران انطباق دارد. شیب عمومی این گسلها به سمت شمال است و در مقیاس تکتونیک صفحه‌ای وجود گسلهای

لیستریک در منشورهای به هم افزوده فلیشی باعث گردیده است که فلس‌های فلیشی بر روی یکدیگر رانده شوند. کاهش سن نهشته‌های مکران از شمال به جنوب و محدود شدن آنها به گسلهای اصلی می‌تواند بر جوان‌تر شدن سن تشکیل آنها به سمت سواحل جنوبی مکران دلالت نماید. برخی گسلهای موازی این سیستم در مکران ساحلی دارای ویژگی گسلهای ثقلی نرمال می‌باشند. به نظر می‌رسد شبیه مجموعه گسلهای مکران داخلی (گسلهای تراستی) کمتر و شبیه سیستم‌های گسلی جنوبی بیشتر و در برخی موارد نزدیک به قائم می‌باشد.

دو سیستم گسلی مزدوج امتداد لغز چپ‌گرد و راست‌گرد به طور قرینه مجموعه گسلهای طولی مکران را قطع می‌نماید. اغلب این گسلها که نتیجه جابجایی درزهای مرتبط با چینها هستند، دارای ابعاد محلی بوده و در شکل‌گیری ساختار ناحیه تأثیر کمتری داشته‌اند.

## فصل سوم

پتروگرافی

### ۱-۳- مقدمه

پتروگرافی یا سنگنگاری، قسمتی از علم سنگ شناسی است که ضمن آن ترکیب، مشخصات و طبقه‌بندی سنگها مورد بحث قرار می‌گیرد. در این بخش نتایج بررسیهای سنگنگاری سنگهای منطقه که بر اساس خصوصیات بافتی و کانی شناسی طبقه‌بندی شده‌اند ارائه می‌گردد. نظر به اهمیت مطالعات سنگ نگاری، از تمامی واحدهای آذرین منطقه نمونه‌گیری و مقطع نازک تهیه شده است. سنگهای گرانیتوئیدی منطقه چشم‌بید در چند گروه مجزا مشتمل بر مونزوگرانیتها و سینوگرانیتها(گرانیتهای معمولی)، گرانودیوریت‌ها، دیوریت‌ها، دایکهای آپلیتی و پگماتیتی مرتبط با گرانیتهای معمولی و دایکهای آپلیتی و پگماتیتی مرتبط با گرانودیوریت‌ها قرار می‌گیرند. با توجه به ماهیت درونی و طبیعت اسیدی این سنگها در این فصل ابتدا به طبقه‌بندی مودال آنها می‌پردازیم و سپس هر یک از گروههای اصلی آنها را به تفصیل مورد بررسی قرار می‌دهیم.

### ۲-۳- طبقه‌بندی مودال سنگهای آذرین

در این فصل با استفاده از روش طبقه‌بندی مودال اشتريکایزن(۱۹۷۶)، سنگهای گرانیتوئیدی منطقه مورد مطالعه طبقه‌بندی شده‌اند. در این طبقه‌بندی به کمک دستگاه شمارنده نقاط، کانیهای موجود در سنگ شمارش می‌شوند. سپس عدد شمارش شده برای هر کانی در عدد ۱۰۰ ضرب و بر مجموع کل نقاط شمارش شده تقسیم می‌شود تا درصد فراوانی هر کانی مشخص گردد. آنگاه با استفاده از دیاگرام اشتريکایزن نام سنگ تعیین می‌گردد. به منظور نامگذاری سنگهای گرانیتوئیدی منطقه مورد مطالعه به روش مودال، تعداد ۱۰ نمونه مقطع نازک از گروههای سنگی مذکور انتخاب و آنالیز مودال شده و با روش اشتريکایزن(۱۹۷۶) طبقه‌بندی و نامگذاری گردیده‌اند.

### - طبقه‌بندی مودال اشتريکایزن(۱۹۷۶)

این طبقه‌بندی که روش پیشنهادی کمیته سنگ شناسی اتحادیه بین المللی علوم زمین (I.U.G.S) می‌باشد، با استفاده از نسبت‌های مودال کوارتز Q، فلدسپات آلکالن A، پلازیوکلاز P و فلدسپاتوئید F صورت می‌گیرد. از آنجا که گرانیتوئیدها فاقد فلدسپاتوئید هستند، بنابراین مقدار F برای این سنگها صفر بوده و علامات اختصاری A، P و Q به ترتیب عبارتند از:

A = مقدار مودال فلدسپاتهای آلکالن و به عبارت بهتر مجموع فلدسپاتهای پتاسیک و هر پلازیوکلازی با ترکیب سدیک تراز  $\text{An}_5$  (با آنورتیت درصد کمتر از ۵). همچنین حالت پرتیت در سنگهای

گرانیتوئیدی جزء A قرار می‌گیرد.

Q = کوارتز و پلی مورفهای آن.

P = مجموع پلازیوکلازها با ترکیب بالاتر از  $\text{An}_{15}$ .

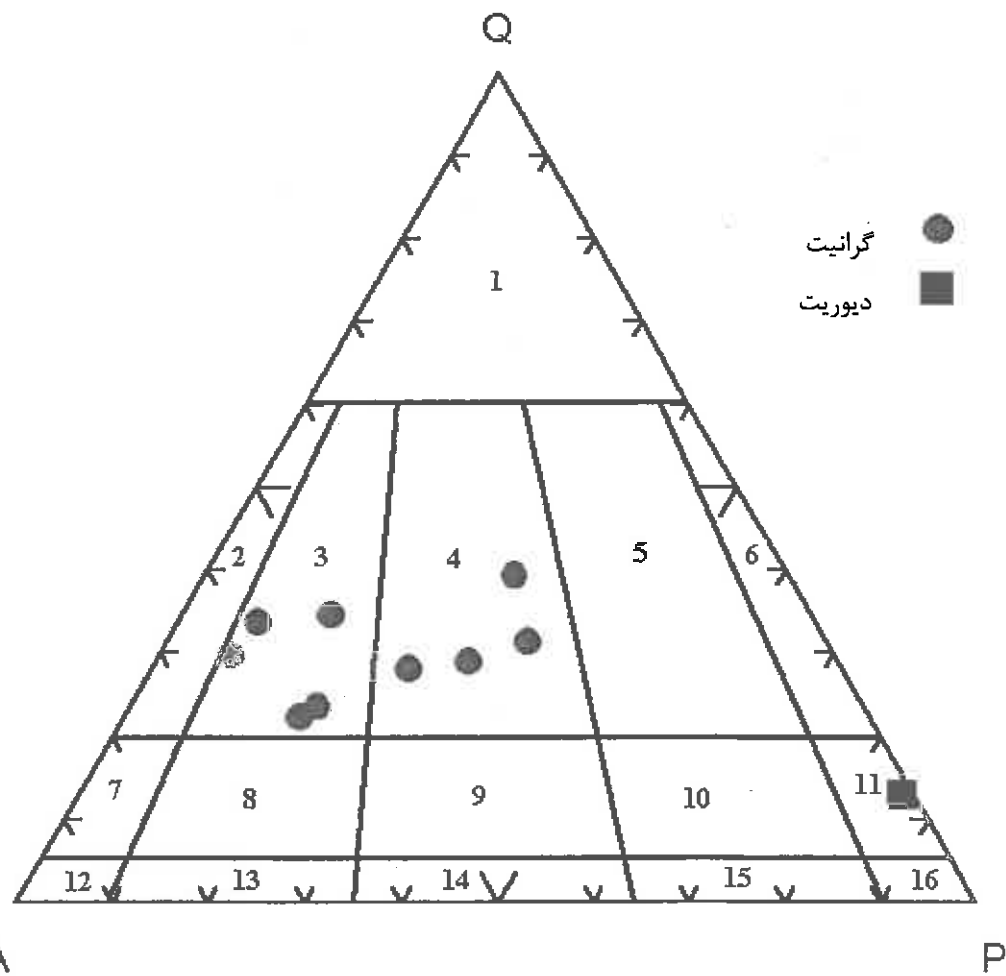
برای تعیین محل هر نمونه در دیاگرام مثلثی اشتريکايزن، ابتدا تشکيل دهنده‌های سه رأس مثلث را به ۱۰۰ رسانده و سپس نقاط معرف هر نمونه را به دیاگرام منتقل می‌نمایند. داده‌های کوارتز و فلدسپات آلکالن و پلازیوکلاز حاصل از آنالیز مودال ۱۰ نمونه از سنگهای گرانیت‌وئیدی منطقه مورد مطالعه در جدول (۱-۳) را به ۱۰۰ رسانده و به دیاگرام مثلثی QAP (اشتريکايزن، ۱۹۷۶)، منتقل نموده‌ایم. نقاط مربوط به سنگهای گرانیت‌وئیدی منطقه مورد مطالعه در دیاگرام شکل (۱-۳) نمایش داده شده‌اند. مطابق این طبقه‌بندی، سنگهای گرانیت‌وئیدی منطقه مورد مطالعه در محدوده‌های سینوتامونزو-گرانیت و کوارتز-دیوریت قرار می‌گیرند.

لازم به ذکر است که این طبقه‌بندی هر چند که دارای مزایایی از قبیل سهولت کاربرد در صحراء، ساده و آسان بودن و غیر ژنتیکی است ولی دارای معایب چشمگیری به شرح زیر است (فروست، ۲۰۰۱).

- این تقسیم بندی تنوعات و اختلافات ترکیبی را نادیده می‌گیرد، بنابراین گرانیت‌وئیدهای مافیک و فلزیک در محدوده یکسان و مشابه قرار می‌گیرند، در حالیکه به طور مشخص ترکیبات شیمیایی متفاوت دارند.
- این تقسیم بندی نمی‌تواند حضور یا عدم حضور فازهای فرعی همچون موسکویت را نمایان سازد. لذا امروزه رده بندی‌های شیمیایی ترجیح داده می‌شوند.

جدول ۱-۳ - نتایج آنالیز مودال ۱۰ نمونه از سنگهای گرانیت‌وئیدی منطقه چشمبه‌بید.

شماره نمونه ها										نوع کانیها
Mz-1.2	Mz-37.1	Mz-31.1	Mz-39.1	Mz-45.2	Mz-28.2	Mz-22.1	Mz-16.1	Mz-20.1	Mz-49.1	
۳۲	۱۸	۲۴	۲۳	۲۵	۱۱	۱۲	۳۳	۲۲	۲۱	کوارتز
۵۵	۴۸	۳۲	۳۷	۲۵	۱	۲۹	۲۴	۵۷	۴۵	فلدسپات آلکالن
۸	۱۵	۲۷	۲۲	۳۰	۷۳	۱۰	۲۷	۷	۱۴	پلازیوکلاز
۴	۱۹	۱۷	۱۴	۱۵	۱۳	۲۶	۱۰	۸	۹	بیوتیت
-	-	-	۱	۵	۲	۵	۴	-	-	آمفیبیول
-	-	-	-	-	-	-	-	-	-	پیروکسن
۱	-	-	۳	-	-	۱۸	۲	۱	۱	کلریت
-	-	-	-	-	-	-	-	-	-	اپیدوت
-	-	-	-	-	-	-	-	-	-	اسفن
-	-	-	-	-	-	-	-	-	-	تورمالین
-	-	-	-	-	-	-	-	-	-	کلسیت
-	-	-	-	-	-	-	-	-	-	اپک



شکل ۳-۱- نمودار مودال اشتريکايزن (۱۹۷۶)

محدوده‌های به کار برده شده به ترتیب معرف سنگهای زیر می‌باشند: ۱- گرانیتوئیدهای غنی از کوارتز، ۲- آلکالی‌فلدسپار‌گرانیت، ۳- سینو‌گرانیت، ۴- مونزو‌گرانیت، ۵- گرانودیوریت، ۶- تونالیت، ۷- کوارتز آلکالی‌فلدسپار سینیت، ۸- کوارتزسینیت، ۹- کوارتزمونزوونیت، ۱۰- کوارتزمونزو‌دیوریت - کوارتزمونزو‌گابرو، ۱۱- کوارتزدیوریت - کوارتز‌گابرو، ۱۲- آلکالی‌فلدسپار‌سینیت، ۱۳- سینیت، ۱۴- مونزو‌سینیت، ۱۵- مونزو‌دیوریت - مونزو‌گابرو، ۱۶- دیوریت - گابرو - آنورتوزیت.

### ۳-۳- پتروگرافی و سنگشناسی گرانیت‌های معمولی(مونزوگرانیت - سینوگرانیت)

گرانیت‌های معمولی عمدترين حجم سنگهای گرانیتی را به خود اختصاص می‌دهند، اين سنگها دارای رنگ خاکستری تا خاکستری روشن و گاه متمایل به کرم می‌باشند، تماماً بلورین و دانه‌درشت هستند(تابلوی ۱-۳، شکل الف). اين سنگها دگرشکلی قابل ملاحظه‌ای را متحمل شده‌اند و در نتیجه کانيهای کوارتز، پلازیوکلاز و ارتوز اشکال چشمی، سینوسی و زیگماپی نشان می‌دهند.

#### اختصاصات میکروسکوپی

اين سنگها دارای بافت دانه‌ای بوده و کانيهای تشکیل دهنده آنها غالباً نیمه شکل‌دار تا شکل‌دار هستند. فلدسپاتهای آلکالن، پلازیوکلاز، کوارتز، بیوتیت و هورنبلند کانيهای اصلی تشکیل دهنده اين سنگها می‌باشند(تابلوی ۱-۳، شکل ب). زیرکن، اسفن، آلانیت، آپاتیت، مونازیت، ایلمنیت و روتیل کانيهای فرعی اين سنگها می‌باشند. کلریت، سریسیت، موسکویت و کلسیت کانيهای ثانویه حاصل دگرسانی اين سنگها هستند. گارتنت به عنوان يك کانی دیرگذار و باقی مانده از ذوب سنگهاي مادر(پروتولیت) در اين سنگها يافت می‌شود. تورمالین گهگاه در اين سنگها و پیغماتیت‌های مرتبط با آنها مشاهده می‌گردد.

نکته: تصاویر میکروسکوپی با بزرگنمایی ۲۰ برابر عکسبرداری شده‌اند.

#### کانيهای اصلی

##### پلازیوکلاز

اين کانی به صورت بلورهای نیمه شکل‌دار يافت می‌شود و به طور میانگین در حدود ۳۵-۳۰ درصد کانيهای سنگ را تشکیل می‌دهد. پلازیوکلازها دارای ماکل پلی سینتیک واضح و ساخت منطقه‌ای کاملاً مشخصی هستند، در داخل بلورهای پلازیوکلاز ادخالهایی از قبیل بیوتیت، فلدسپاتهای آلکالن، کوارتز و موسکویت مشاهده می‌شود. اين کانی متحمل آلتراسیون شده و به بخشهايی از آن به سرسيت تبدیل گردیده است، که اين سرسيت‌يزاسیون در مرکز پلازیوکلازها شدیدتر از حاشیه آنها می‌باشد و اين فرآيند نشان دهنده آن است که پلازیوکلازها از حاشیه به سمت مرکز کلسیک‌تر هستند. در داخل پلازیوکلازها اپیدوت نیز مشاهده می‌شود که مربوط به فرآيند سوسوریتیزاسیون است. اندازه و قطر اين کانی از  $\frac{1}{3}$  میلی متر تا بیش از ۲ میلی متر می‌باشد.

##### فلدسپاتهای آلکالن

فلدسپاتهای آلکالن موجود در سنگهای منطقه مورد مطالعه که شامل ارتوز و میکروکلین می‌باشند به صورت بلورهایی بی شکل تا نیمه شکل‌دار هستند که به طور میانگین در حدود ۴۵ تا ۳۵ درصد کانيهای سنگ را تشکیل می‌دهند. اين کانیها به کانيهای رسی تجزیه شده‌اند و دارای ادخالهایی از بیوتیت، بیتوتیتهاي کلریتیزه شده، پلازیوکلاز، کوارتز، فلدسپاتهای آلکالن و اسفن هستند. فلدسپاتهای آلکالن همچنین سرسيتی شده‌اند که اين سرسيت‌يزاسیون در فلدسپاتهای آلکالن نسبت به پلازیوکلازها بیشتر است(تابلوی ۱-۳، شکل ج). فلدسپاتهای آلکالن دارای شکستگی‌هایی

هستند که بوسیله بیوتیت، سرسیت و کانیهای رسی پر شده‌اند. اندازه و قطر این کانی از  $4/4$  میلیمتر تا بیش از  $2$  میلیمتر می‌باشد.

### کوارتز

این کانی به صورت بلورهایی بی شکل دیده می‌شود و دارای خاموشی موجی می‌باشد و به طور میانگین در حدود  $20-25$  درصد کانیهای سنگ را تشکیل می‌دهد. کوارتزها در فضای مابین کانیهای دیگر از قبیل پلاژیوکلازها، فلدسپات‌های آلکالن، هورنبلند سبز و بیوتیت قرار گرفته‌اند. بلورهای کوارتز از نظر اندازه به صورت غیرهم بعد هستند و قطر آنها از  $0/02$  میلی متر تا  $1/2$  میلیمتر می‌باشد.

### بیوتیت

این کانی به صورت بلورهای بی شکل دار می‌باشد و به طور میانگین در حدود  $5$  درصد کانیهای موجود در سنگ را تشکیل می‌دهد. در نور عادی به رنگ قهوه‌ای و با خاموشی مستقیم دیده می‌شود و دارای سطوح رخ مشخصی می‌باشد. در برخی مقاطع بیوتیتها به دلیل خاصیت ارجاعی و شکل پذیری که دارند کاملاً جهت یافته شده‌اند و در اطراف کانیهایی از قبیل پلاژیوکلاز، فلدسپات آلکالن و کوارتز حالت آناستاموزینگ را نشان می‌دهند (تابلوی ۳-۱، شکل ۵). بیوتیتها دارای ادخالهایی از آپاتیت و زیرکن هستند.

### هورنبلند سبز :

این کانی به صورت نیمه شکل دار تا کاملاً شکل دار می‌باشد، در نور عادی به رنگ سبز تا سبز متمایل به زرد دیده می‌شود و خاموشی مایل دارد. هورنبلندها در برخی مقاطع دارای رخ لوزی کاملاً مشخص بوده و در داخل آنها ادخالهایی از کوارتز، فلدسپات‌آلکالن و بیوتیت دیده می‌شود.

### کانی‌های فرعی

#### آپاتیت :

این کانی به صورت ریز بلورهای منشوری و سوزنی شکل دار در داخل بیوتیتها و فلدسپات‌های آلکالن مشاهده می‌شود.

### اسفن

این کانی به صورت بلورهای نیمه شکل دار تا کاملاً شکل دار مشاهده می‌شود و با بر جستگی زیاد و بی رفرنzanس بسیار بالای خود کاملاً مشخص می‌باشد (تابلوی ۲-۳، شکل الف).

### کانیهای اپک :

کانیهای اپک به صورت ادخالهایی در داخل پلاژیوکلازها، فلدسپات‌های آلکالن و بیوتیت دیده می‌شوند که اکثراً اکسید آهن و ایلمینیت هستند.

## کانیهای ثانویه

### کلریت

کلریتهای موجود در سنگهای منطقه مورد مطالعه در اثر دگرسانی بیوتیتها و طی فرآیند کلریتیزاسیون حاصل شده‌اند.

### سریسیت

در اثر دگرسانی و تجزیه پلازیوکلازها، بلورهای ریز و درشتی از موسکویت که به سریسیت معروفند در سطح پلازیوکلازها و فلدسپاتهای آلکالن دیده می‌شوند (تابلوی ۱-۳، شکل ج)، که به این فرآیند سریسیتیزاسیون گویند و این سریسیتیزاسیون به سمت مرکز پلازیوکلازها دارای شدت بیشتری است و نشان دهنده این موضوع می‌باشد که ترکیب پلازیوکلازها از سمت حاشیه به طرف مرکز آنها کلسیک‌تر است.

### تورمالین

تورمالین‌ها در نمونه‌های ماکروسکوپی به رنگ تیره و سیاه دیده می‌شوند و در زیر میکروسکوب و در مقاطع نازک، در نور پلاریزه به رنگ آبی و زرد تا قهوه‌ای دیده می‌شوند و در نور طبیعی با پلی کروئیسم معکوس واضح خود، به رنگ سبز متمایل به زرد دیده می‌شوند. این کانی به صورت بلورهای بی‌شکل تا نیمه شکل دار می‌باشد.

### کلسیت

کلسیت در اثر سوسوریتیزاسیون پلازیوکلازها تشکیل شده است و به مقدار اندک در برخی از نمونه‌های منطقه مورد مطالعه دیده می‌شود.

### اپیدوت

این کانی نیز در اثر سوسوریتیزاسیون پلازیوکلازها حاصل شده است و در برخی از نمونه‌های منطقه مورد مطالعه دیده می‌شود.

### ۱-۳-۲- پتروگرافی و سنگشناسی آپلیت‌های مرتبط با گرانیت‌ها

آپلیت‌های مرتبط با گرانیت‌ها به صورت توده‌های کوچک، آپوفیزهای کوچک، دایک‌ها، سیل‌ها و رگه‌هایی یافت می‌شوند که در درون گرانیت‌ها یا در درون سنگهای میزبان قابل مشاهده هستند(تابلوی ۲-۳، شکل ب). آپلیت‌هایی که به صورت دایک و رگه‌های کم ضخامت دیده می‌شوند، گهگاه حالت چین خورده نشان می‌دهند که مبین اعمال تنش‌های تراکمی بر آنها در زمان تشکیل شان می‌باشد. این آپلیت‌ها غالباً دارای رنگ روشن(لوکوکرات) هستند. تنها کانی فرومیزین قابل مشاهده در این سنگها بیوتیت است. آپلیت‌ها دارای رنگ سفید، گاهی کرم یا متمالیل به زرد می‌باشند. این سنگها تماماً بلورین و دانه‌ریز هستند. کانی‌های بیوتیت و گارنت در بعضی نمونه‌ها مشاهده می‌شوند. سنگهای مذبور غالباً دارای بافت همگن می‌باشند. گارنت به صورت دانه‌های ریز صورتی یا لکه‌های قهوه‌ای رنگ مشاهده می‌شود. این پگماتیتها دارای بافت‌های گرانولار ریزدانه، گرانوفیری و پرفیروئیدی هستند. اکثر کانیهای این سنگها بی‌شکل و دانه‌ریز می‌باشند(تابلوی ۲-۳، شکل ج).

آپوفیزهای آپلیتی معمولاً در حاشیه خود حاوی قطعاتی از سنگهای میزبان می‌باشند، به ویژه آنهایی که در سنگهای میزبان میکاشیستی جای گرفته‌اند. بعضی از دایکهای آپلیتی، شدیداً تحت تأثیر تنش‌های تراکمی قرار گرفته‌اند و فولیاسیون بسیار جالبی به نمایش گذاشته‌اند که با فولیاسیون سنگهای دگرگونی میزبان موازی هستند، این آپلیت‌ها در مقاطع میکروسکوپی بافت میلیونی یا کاتاکلاستیکی نشان می‌دهند. بعضی از توده‌های آپلیتی، در حاشیه توده نفوذی به صورت تپه‌های کم ارتفاع ظاهر می‌شوند.

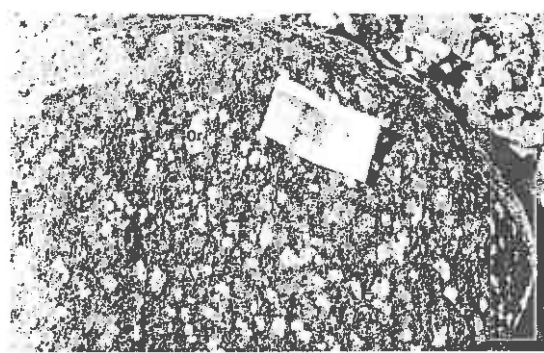
### تابلوی ۱-۳

شکل الف - تصویری از مگاکریستهای ارتوز در گرانیت‌های غرب توده گرانیتوئیدی چشم‌بید.

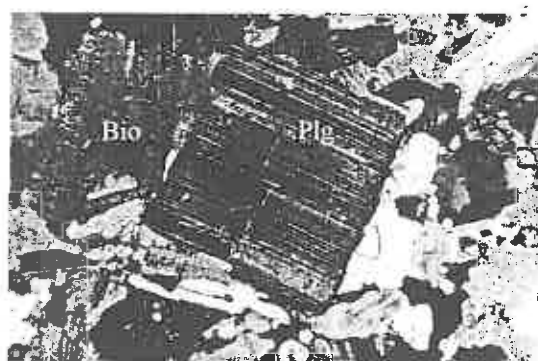
شکل ب - تصویری از کانیهای اصلی تشکیل دهنده سنگ‌های گرانیتی.

شکل ج - تصویری از فرایند سریسیتیزاسیون در فلدسپاتهای آلکالن.

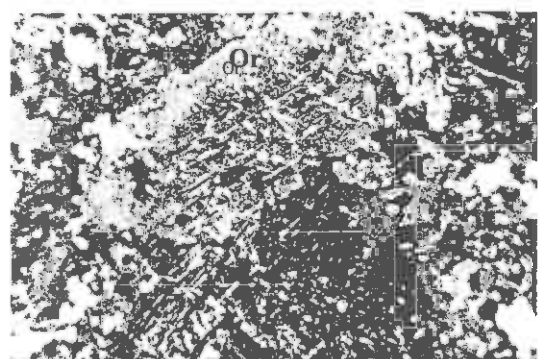
شکل د - تصویری از حالت آناستاموزینگ بیوتیتها، در اطراف کانیهایی از قبیل پلاژیوکلاز، فلدسپاتهای آلکالن و کوارتز در یک نمونه میلیونی شده.



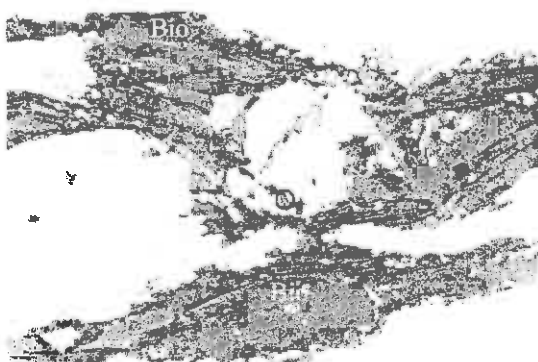
شكل الف



شكل ب



شكل ج



شكل د

١-٣  
تابلوى

تابلوی ۳-۲

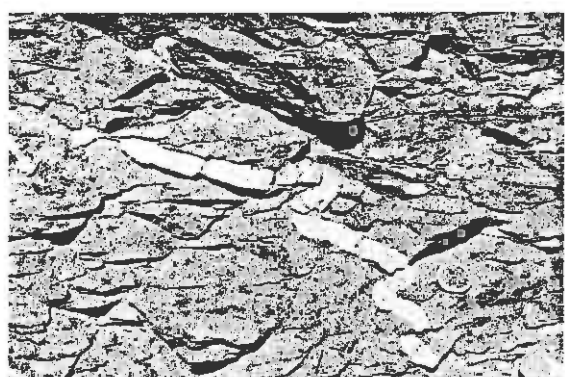
شکل الف - تصویر میکروسکوپی کانی اسفن در گرانیتهای مورد مطالعه.

شکل ب - تصویری از یک دایک آپلیتی چین خورده. این پدیده مبین یک حالت جایگزینی سین تکتونیکی می باشد( محل: جنوب غرب روستای خیرآباد).

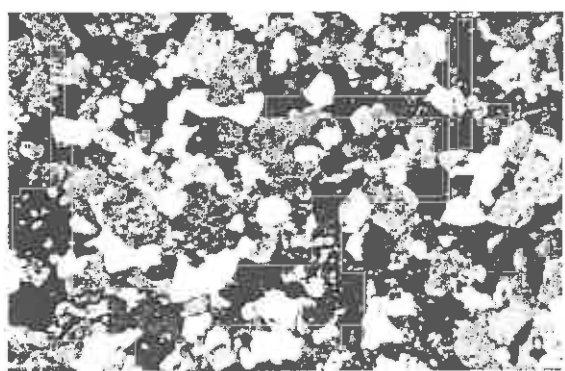
شکل ج - تصویر میکروسکوپی یک نمونه آپلیت گرانیتی که از دانه های ریز کوارتز، پلاژیوکلاز و ارتوز تشکیل شده است.



شكل الف



شكل ب



شكل ج

٢-٣ تابلوی

### ۳-۲-۳- پتروگرافی و سنگشناسی پگماتیت‌های مرتبط با گرانیت‌ها

پگماتیت‌های مرتبط با گرانیت‌ها سهم اندکی از خانواده سنگ‌های گرانیتی را به خود اختصاص می‌دهند ولی با این وجود از ترکیب سنگشناسی و کانی‌شناسی جالب توجهی برخوردار هستند. پگماتیت‌ها به صورت رگه‌های کوچک و بزرگ و با ضخامت متغیر یا توده‌های کوچک یافت می‌شوند. این رگه‌ها علاوه بر سنگ‌های گرانیتی در سنگ‌های دگرگونی میزبان نیز مشاهده می‌گردند. پگماتیت‌های موجود در سنگ‌های دگرگونی میزبان حاصل تفرق پیشرفته گرانیت‌ها می‌باشند در حالیکه پگماتیت‌های موجود در سنگ‌های دگرگونی میزبان حاصل مراحل اولیه ذوب بخشی میکا شیسته‌ها هستند. پگماتیت‌ها علاوه بر کانیهای متداول، حاوی تورمالین، گارنت و مسکوویت نیز می‌باشند (تابلوی ۳-۳، شکل‌های الف و ب). رگه‌های پگماتیتی در محدوده مطالعه شده چندان فراوان نیستند ولی در خارج از این محدوده به سمت شمال‌غرب در گرانیت‌های منطقه پولکی خیرآباد از فراوانی بیشتری برخوردار هستند.

پگماتیت‌های مذکور شواهد جالبی عرضه می‌کنند که عبارتند از:

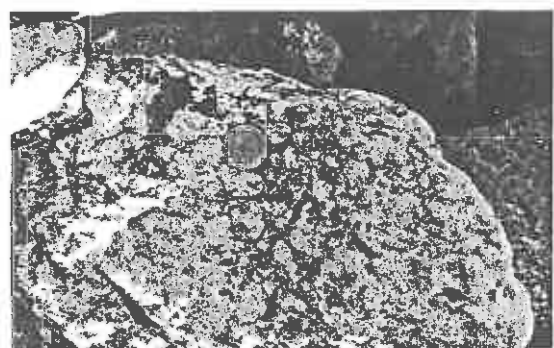
الف - همرشدی گارنت و کوارتز (تابلوی ۳-۳، شکل ج)، ب - وجود گارنت، آندالوزیت و مسکوویت، ج - دگرسانی آندالوزیت و ارتوز به سریسیت، د - زوناسیون ترکیبی تورمالین، ه - حضور مسکوویت دارای حالت پرمغنى.

تابلوی ۳-۳

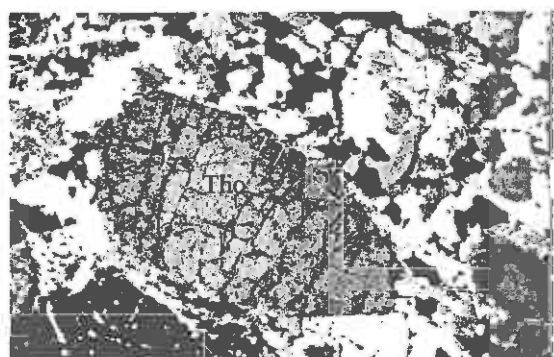
شکل الف - تصویری از نمونه‌دستی پگماتیت‌های حاوی گارنت، تورمالین و مسکوویت.

شکل ب - تصویر میکروسکوپی بلور تورمالین دارای زوناسیون رنگی و ترکیبی موجود در پگماتیت‌ها.

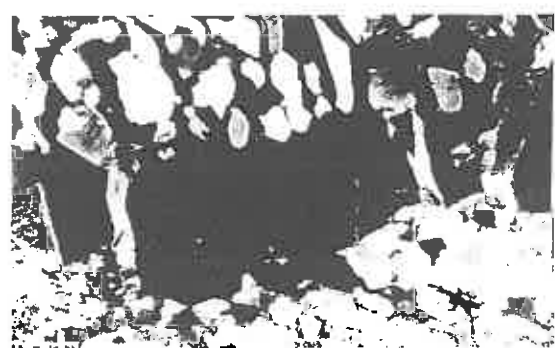
شکل ج - حضور بازر گارنت و بافت شبه گرافیکی حاصل از همرشدی گارنت و کوارتز را نشان می‌دهند.



شكل الف



شكل ب



شكل ج

٣-٣ تابلوی

### ۴-۳- پتروگرافی و سنگشناسی گرانودیوریت‌ها

گرانودیوریت‌ها و اعضاء وابسته به آنها (نظیر آپلیت‌ها، پگماتیت‌ها و رگه‌های سیلیسی) بعد از گرانیتهای معمولی، عمدت‌ترین بخش توده گرانیتوئیدی چشم‌بید را به خود اختصاص می‌دهند و در گستره وسیعی رخنمون دارند.

گرانودیوریت‌ها دارای خصوصیات بارزی هستند که اهم آنها عبارتند از:

- ۱- دara بودن بافت گرانولار دانه متوسط تا دانه ریز، ۲- حضور همه جانبه هورنبلند سبز، ۳- وفور اسفن و آپاتیت به عنوان کانیهای فرعی، ۴- رشد تأخیری پتاسیم فلدسپار و دربرگرفته شدن سایر کانیها توسط آن، ۵- وفور لخته‌های مافیک حاوی مقادیر قابل توجهی هورنبلند، بیوتیت و مگنتیت در مقیاس صحرایی، نمونه دستی و میکروسکوپی، ۶- فراوانی آنکلاوهای میکروگرانولار مافیک با ترکیب غالباً دیوریتی - کوارتز دیوریتی، ۷- فقدان مسکوویت، ۸- فقدان کانیهای دارای منشاء دگرگونی از جمله گارنت، آندالوزیت، کردیریت و ...، ۹- کمیاب بودن تورمالین به عنوان یک کانی سیلیکاته، ۱۰- گسیختگی آنکلاوهای ۱۱- میرمیکیت‌زایی و بیوتیت‌زایی به عنوان پدیده‌ای شایع، ۱۲- فلدسپات‌زایی، میرمکیت‌زایی و بیوتیت‌زایی در آنکلاوهای میکروگرانولار مافیک، ۱۳- محدود شدن حضور آنکلاوهای دگرگونی یا زینولیت‌ها به حاشیه‌های توده نفوذی و کن tact آن با سنگهای دربرگیرنده، ۱۴- همراهی با قطب مافیک‌تر یعنی سنگهای دیوریتی و کوارتز دیوریتی.

گرانودیوریت‌ها تمام بلورین و دارای رنگ سفید تا خاکستری روشن می‌باشند و دانه ریز تا دانه متوسط هستند. گلbulها و تجمعات فراوانی از هورنبلند و بیوتیت در آنها یافت می‌شود. در مواردی که دگرسان شده‌اند، رنگ آنها به زرد، کرم و کرم متمایل به قهوه‌ای گرایش پیدا کرده است. در بعضی موارد، این سنگها تحت تأثیر عوامل جوی به ویژه بادها قرار گرفته‌اند و منظرة تافونی نشان می‌دهند (تابلوی ۴-۳، شکل الف). گرانودیوریت‌ها در منطقه زاهدان کوهها و ارتفاعات بلندی را به خود اختصاص می‌دهند، بطوريکه دسترسی به بعضی از مناطق آنها، مشکل و مستلزم ساعتها پیاده روی است. این سنگها در گستره وسیعی تحت تأثیر سیالات گرمابی قرار گرفته‌اند و دگرسانی پروپیلیتی، آرژیلیتی و سیلیسی فراغیری را متحمل شده‌اند، سنگهای گرانودیوریتی دگرسان شده عمدها در بخش مرکزی توده گرانیتوئیدی چشم‌بید رخنمون دارند، غالباً رنگ کرم یا زرد متمایل به قهوه‌ای نشان می‌دهند (تابلوی ۴-۳، شکل ب).

### اختصاصات میکروسکوپی

این سنگها دارای بافت گرانولار دانه متوسط تا دانه ریز می‌باشند. اغلب کانیها شکل دار تا نیمه‌شکل دار هستند. کوارتز، پلاژیوکلاز، ارتوز، هورنبلند سبز، بیوتیت بعنوان کانی‌های اصلی و اسفن، زیرکن، آپاتیت، آلانیت و مگنتیت بعنوان کانی‌های فرعی در این سنگها یافت می‌شوند (تابلوی ۴-۳، شکل‌های ج و د). کانی‌های کلسیت، کلریت، سریسیت و بخشی از اسفن‌ها کانی‌های ثانویه‌ای هستند که در این سنگها مشاهده می‌شوند.

## کانیهای اصلی

### پلازیوکلاز

یکی از بارزترین کانیهای اصلی گرانوودیوریت‌ها می‌باشد، این کانی به صورت شکل‌دار تا نیمه شکل‌دار و گاه بی‌شکل در ابعاد مختلف در این سنگها یافت می‌شود و در مجموع یکی از فراوانترین کانیهای روشن آنها می‌باشد. پلازیوکلازها دارای ماکل پلی‌سینتیک و خاموشی منطقه‌ای می‌باشند. همچنین بلورهای پلازیوکلاز در برخی موراد دگرسان شده‌اند و به بلورهای ریز سریسیت، کلسیت و اپیدوت تبدیل گردیده‌اند. به جز در زون‌های دگرسانی، پلازیوکلازها ندرتاً دگرسان شده‌اند و غالباً سالم و دگرسان نشده می‌باشند.

شواهد پتروگرافی نشان می‌دهند که پس از تبلور هورنبلند سبز و پلازیوکلاز، مذاب باقیمانده از پتاسیم غنی گردیده و ترکیب ماگما به سمت تبلور ارتوز پیش رفته است. از این مذاب غنی از پتاسیم، ارتوز متبلور گردیده و در عین حال در حین تماس پلازیوکلازها با این مذاب غنی از پتاسیم، نوعی واکنش یا تبادل عنصری بین این دو صورت گرفته است. این امر باعث گردیده است که پلازیوکلازها به تدریج به فلدسپار پتاسیک از نوع ارتوز پرتیتی تبدیل شوند. حالت‌های جزئی تا کاملی از این نوع تبدیل شدگی در مقاطع نازک این سنگها مشاهده می‌گردد. در مراحل اولیه، آثار این پدیده به صورت خوردگی و از بین رفتن حاشیه بلورهای پلازیوکلاز و تشکیل ارتوز به صورت لکه‌های پراکنده در حاشیه یا در داخل پلازیوکلاز و بعضی اوقات با ظهور میرمکیت مشخص می‌گردد. در مراحل پیشرفت‌تر پلازیوکلازها دچار خوردگی و تحلیل رفتگی زیادی شده‌اند و به قطعات ناپیوسته‌ای تبدیل گردیده‌اند. در این حالت دارای حاشیه‌های کاملاً مضرس هستند و با میرمکیت‌زاوی شایعی همراه می‌باشند. در مراحل بسیار پیشرفت‌هه، لکه‌ها یا بخش‌های کوچکی با ترکیب پلازیوکلاز در زمینه‌ای از ارتوز دیده می‌شود و در بعضی موارد نیز فقط شبی از پلازیوکلاز باقی مانده است. در این حالت ارتوز، مجموعه‌ای از کانیهای هورنبلند سبز، بیوتیت، اسفن، زیرکن، مگنتیت، آپاتیت و بخش‌های باقیمانده از بلورهای پلازیوکلاز را دربرمی‌گیرد. در این موارد منظره‌ای متجلی می‌گردد که شبیه شناور شدن سایر کانیها در دریابی از ارتوز می‌باشد. این پدیده یکی از پدیده‌های بسیار بارز سنگهای گرانوودیوریتی می‌باشد (تابلوی ۳-۵، شکل الف).

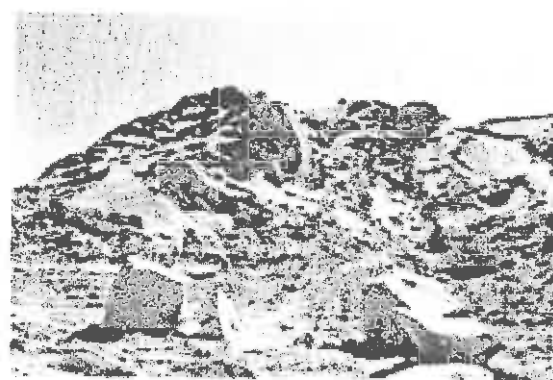
تابلوی ۳-۴

شکل الف - منظره تافونی در گرانیت‌ها ، تحت تأثیر عوامل جوی به ویژه بادها.

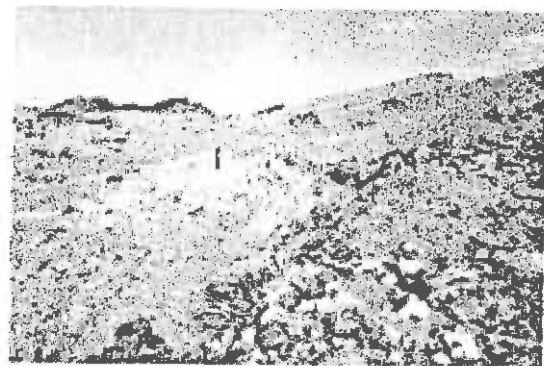
شکل ب - تصویری از دگرسانی آرژیلیتی تحمیل شده بر سنگ‌های گرانودیوریتی.

شکل ج - تصویر میکروسکپی مبین حضور گستردۀ کانی اسفن در سنگ‌های گرانودیوریتی.

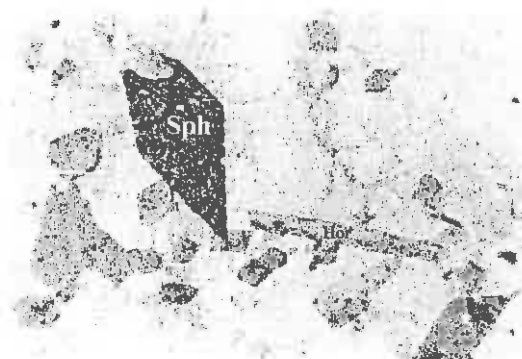
شکل د - منظره میکروسکپی کلی سنگ‌های گرانودیوریتی، که دارای ساخت ماقمایی هستند و از هورنبلند، بیوتیت، پلاژیوکلاز، پتاسیم فلدسپار و کوارتز تشکیل شده‌اند.



شكل الف



شكل ب



شكل ج



شكل د

تаблицى ٣-٤

## ارتوز

در سنگهای گرانودیوریتی بیشتر به صورت یک فاز تأخیری رشد نموده و در نتیجه سایر کانیها از جمله پلاژیوکلاز، هورنبلند سبز، اسفن، آپاتیت و زیرکن را دربرگرفته است. این کانی در مراحل غنی شدگی ماغما از پتاسیم، تبلور یافته است. در طی تشکیل ارتوز، مذاب و سیالات ماغمایی با کانیهای پلاژیوکلاز و هورنبلند واکنش داده‌اند و باعث گردیده‌اند تا کانی‌های مذکور به ترتیب به ارتوز پرتویتی و بیوتیت تبدیل شوند. این پدیده با میرمکیت‌زایی و حضور کوارتزهای کرمی‌شکل همراه می‌باشد (تابلوی ۳-۵، شکل ب).

رشد تأخیری ارتوز باعث گردیده است که این کانی در اکثر موارد بی‌شکل باشد و شکل خاصی را نشان ندهد، به همین دلیل، اندازه بلورهای ارتوز بسیار متغیر است و از چند میکرون تا چند میلیمتر متغیر است. بلورهای ریز ارتوز در فضای بین سایر کانیها یافت می‌شوند و بلورهای بزرگ ارتوز نیز خود تعداد زیادی از سایر کانیها را دربرمی‌گیرند. بلورهای ارتوز عمدتاً بافت پرتویتی رشته‌ای و لکه‌ای نشان می‌دهند. فراوانی ارتوز در سنگهای گرانودیوریتی متغیر است ولی در مجموع کمتر از فراوانی پلاژیوکلاز می‌باشد.

## هورنبلند سبز

فراوان ترین کانی مافیک اولیه موجود در گرانودیوریتها می‌باشد. هورنبلند سبز عمدتاً به صورت بلورهای شکل‌دار تا بی‌شکل یافت می‌شود و مقاطع طولی و عرضی جالبی را به نمایش می‌گذارد. این بلورها دارای ابعاد مختلف بوده و دانه ریز تا دانه درشت می‌باشند. در برخی از بلورهای هورنبلند، ادخالهایی از پلاژیوکلاز، اسفن، آپاتیت و مگنتیت مشاهده می‌شود. لازم به ذکر است که بیوتیت نیز به صورت ادخال دیده می‌شود ولی غالباً حاصل تبدیل شدگی بخشی هورنبلند سبز به بیوتیت می‌باشند. بلورهای هورنبلند سبز گاهی اوقات به صورت تجمعاتی دیده می‌شود، که در نمونه دستی به صورت لخته‌ها و گلوبولها مشاهده می‌گردد.

بلورهای هورنبلند سبز تحت تأثیر واکنش با مذاب و سیالات ماغمایی پتاسیم‌دار به بیوتیت تبدیل گردیده‌اند (بیوتیت‌زایی). مقدار جایگزینی و تبدیل شدگی هورنبلند به بیوتیت بسیار متغیر است و حالت‌های بسیار ناقص تا بسیار پیشرفته‌ای را می‌توان مشاهده نمود. بلورهای بیوتیت تازه تشکیل شده در جهات مختلف رشد کرده‌اند، رشد بیوتیت‌ها از حاشیه، در امتداد مرزها و کلیواژها شروع گردیده و گاه کل بلور را فرا گرفته است. بعضی از بلورهای بیوتیت دقیقاً عمود بر دیواره بلورهای هورنبلند سبز رشد کرده‌اند. از آنجایی که بعضی از بلورهای بیوتیت همیگر را قطع می‌کنند و عمود بر یکدیگر رشد کرده‌اند احتمالاً بیوتیت‌زایی در طی دو یا چند مرحله صورت گرفته است.

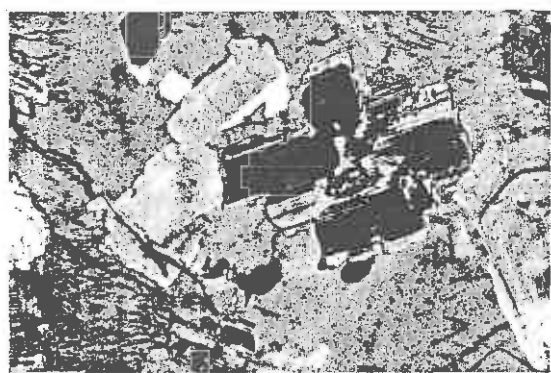
لخته‌ها یا گلوبولهای مافیک حاصل از تجمع بلورهای هورنبلند سبز نیز تحت تأثیر پدیده بیوتیت‌زایی قرار گرفته‌اند و بخش قابل ملاحظه‌ای از هورنبلندهای آنها به بیوتیت تبدیل گردیده است. همراه این گلوبولهای مافیک مقادیر قابل ملاحظه‌ای کانیهای اوپاک نیز مشاهده می‌شود. بخشی از این کانیهای اوپاک در طی پدیده بیوتیت‌زایی حاصل گردیده‌اند (تابلوی ۳-۵، شکل ج).

تابلوی ۳-۵

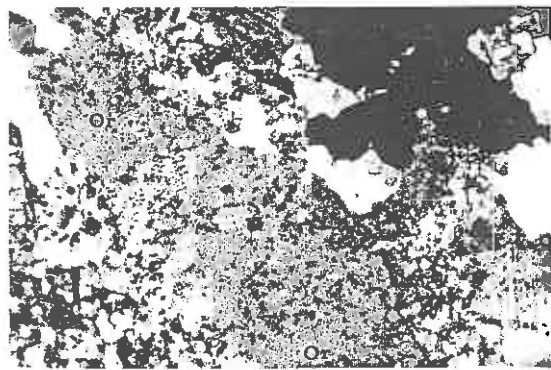
شکل الف - تصویری از تبلور تأخیری پتاسیم فلدسپار از نوع ارتوز.

شکل ب - در این تصویر سیر پیشرونده تحلیل رفتگی ارتوز و تشکیل میرمیکیت مشاهده می شود.

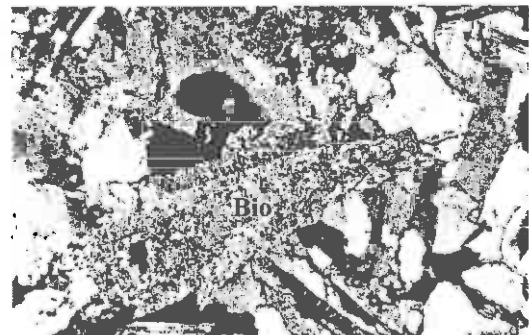
شکل ج - تصویری از پدیده تبدیل هورنبلند به بیوتیت در گلbulهای مافیک موجود در گرانوڈیوریت‌ها.



شكل الف



شكل ب



شكل ج

تابلوى ٣-٥

## بیوپتیت

معمولًاً به صورت نیمه شکل دار تا بی‌شکل یافت می‌شود. در اکثر موارد دانه متوسط بوده و به صورت پراکنده در سنگ مشاهده می‌شود و دارای ادخالهای ریزی از آپاتیت، زیرکن و روتیل می‌باشد. بیوپتیتها در برخی موارد به کلریت، اسفن و مقادیری کانی اوپاک (اکسیدهای آهن) گردیده‌اند. بخشی از بیوپتیتها نیز از طریق تبدیل هورنبلند سبز به بیوپتیت حاصل شده‌اند.

## کانیهای فرعی

### اسفن

یکی از فراوانترین و مهم‌ترین کانیهای فرعی است که در این سنگها، از حضور همه جانبه‌ای برخوردار است و در اکثر نمونه‌های برداشت شده مشاهده می‌گردد. اسفن به صورت بلورهای شکل دار تا بی‌شکل با ابعاد ریز تا درشت و به طور پراکنده در این سنگها یافت می‌شود و می‌توان آنها را به دو نوع اولیه و ثانویه دسته‌بندی نمود. اسفن‌های اولیه غالباً شکل دار تا نیمه شکل دار هستند (تابلوی ۳-۶)، شکل الف و ب) و نسبت به انواع ثانویه دانه درشت‌تر بوده و در اکثر موارد به صورت بلورهای مستقل تبلور یافته‌اند. این کانی به صورت ادخال در سایر کانیها یافت می‌شود و خود نیز حاوی ادخالهایی از پلاژیوکلاز، هورنبلندسبز، و کانی‌های اوپاک می‌باشد. اسفن‌های ثانویه بی‌شکل هستند و از دگرسانی هورنبلندسبز، بیوپتیت و کانی اوپاک تیتانیومدار حاصل گردیده‌اند. اسفن‌های مورد نظر در امتداد رخها و یا حواشی هورنبلندهای سبز، بیوپتیتها و کانیهای اوپاک دگرسان شده یافت می‌شوند.

### زیرکن

به صورت بلورهای منشوری کوتاه و نیز دانه‌های ریز بی‌شکل یافت می‌شود. زیرکن در بیشتر موارد به صورت ادخال در سایر کانیها به ویژه بیوپتیت، هورنبلند، پلاژیوکلاز و فلدسپاتهای آلکالن مشاهده می‌گردد.

### آپاتیت

به صورت بلورهای سوزنی شکل کوچک و به شکل ادخال در کانیهای مختلف به ویژه در پلاژیوکلازها یافت می‌شود. در گرانودیوریت‌هایی که ترکیب آنها بیشتر به سمت قطب دیوریتی گرایش پیدا می‌کنند، آپاتیت از حضور بیشتری برخوردار است.

### آلانیت

به صورت کاملاً شکل دار تا نیمه شکل دار با رنگ قهوه‌ای تیره یا قهوه‌ای متمايل به قرمز در گرانودیوریت‌ها یافت می‌شود (تابلوی ۳-۶، شکل ج). فراوانی آلانیت در گرانودیوریت‌ها نسبت به گرانیت‌ها، به مقدار قابل ملاحظه‌ای بیشتر می‌باشد.

### مگنتیت

به صورت دانه‌های شکل دار تا نیمه شکل دار و بطور پراکنده در سنگهای گرانودیوریتی یافت می‌شود (تابلوی ۳-۶، شکل د). درصد حجمی اندکی از مگنتیت‌ها حاصل آلتراسیون هورنبلند و بیوپتیت می‌باشند، که غالباً بی‌شکل هستند و با کانیهای ثانویه‌ای نظیر کلریت همراهند.

## کلریت

حاصل دگرسانی هورنبلند و بیوتیت می‌باشد. تشکیل کلریت از کانیهای هورنبلند و بیوتیت مستلزم خروج  $\text{Na}^+$ ,  $\text{Ca}^{+2}$  و  $\text{K}$  می‌باشد. در ضمن مقادیر سایر عناصر نیز با تغییراتی همراه است. پدیده کلریتزایی با تشکیل مقادیری اکسیدهای آهن، کانی‌های اوپاک و اسفن نیز همراه است.

## کلسیت و سریسیت

از دگرسانی پلازیوکلاز حاصل گردیده‌اند. کلسیت به صورت لکه‌های پراکنده و به مقدار کم یافت می‌شود. با نزدیک شدن به زونهای دگرسانی و در داخل زونهای دگرسانی، کلسیت و سریسیت از حضور بارزتری برخوردار هستند.

تابلوی ۳-۶

شکل الف - تصویر میکروسکپی مبین حضور گستردۀ کانی اسفن در سنگهای گرانودیوریتی. همانطور که در این تصویر مشاهده می کنید اغلب بلورهای اسفن کاملاً شکل دار هستند.

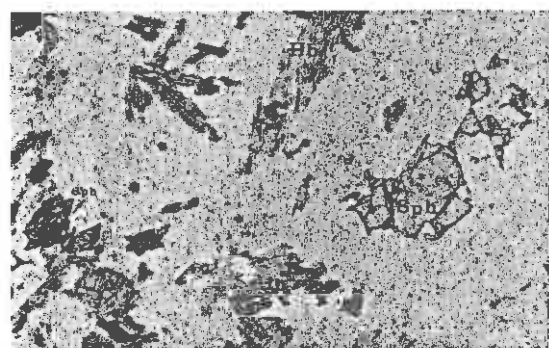
شکل ب - تصویری از حضور همزمان اسفن‌های اولیه و ثانویه در سنگهای گرانودیوریتی.  
اسفن و  $Hb$  = هورنبلندسبر.

شکل ج - تصویر میکروسکپی که حضور کانی آلانیت را در سنگهای گرانودیوریتی نشان می‌دهند.

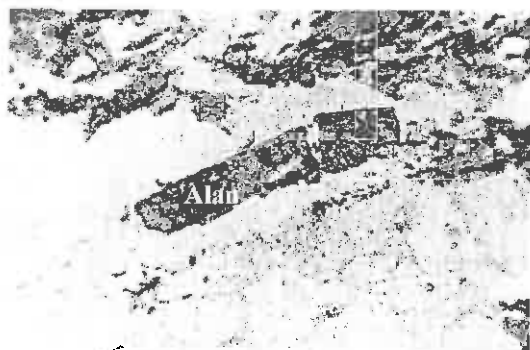
شکل د - تصویر میکروسکپی مبین حضور بارز مگنتیت در سنگهای گرانودیوریتی (نور عادی).



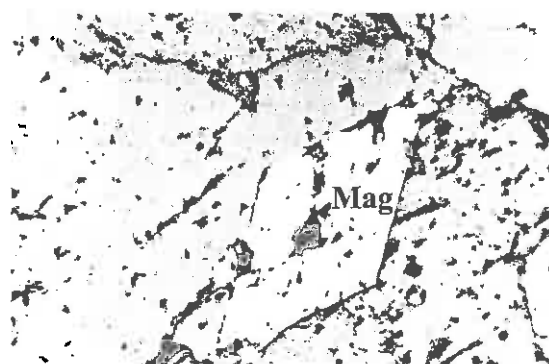
شكل الف



شكل ب



شكل ج



شكل د

تابلوى ٣-٦

### ۴-۳-پتروگرافی و سنگشناسی آپلیت‌های مرتبط با گرانوودیوریت‌ها

آپلیت‌های مرتبط با گرانوودیوریت‌ها به صورت رگه‌ها، رگچه‌ها و آپوفیزهای مشاهده می‌شوند. این آپلیت‌ها در سراسر توده نفوذی بطور پراکنده رختمون دارند ولی از فر اوانی متغیری برخوردار هستند. آپلیت‌ها غالباً سفید رنگ هستند و از کانیهای پلاژیوکلаз، ارتوز، کوارتز، بیوتیت و تورمالین تشکیل گردیده‌اند. رگه‌ها و رگچه‌های آپلیتی در جهات مختلف گسترش یافته‌اند (تابلوی ۳-۷، شکل الف و ب).

#### اختصاصات میکروسکوپی

این سنگها دارای بافت گرانولار دانه‌ریز هستند. بافت گرانوفیری و گرافیکی نیز در آنها مشاهده می‌شود. اکثر دانه‌های سازنده آنها، ریز و بی‌شکل می‌باشند.

#### کانیهای اصلی

##### ارتوز

به صورت بلورهای ریز و درشت غالباً بی‌شکل یافت می‌شود. برخی از بلورهای ارتوز همراه با کوارتز بافت گرافیکی یا گرانوفیری نشان می‌دهند. در بافت گرافیکی دانه‌های کوارتز با آرایش خاصی در درون ارتوز جای گرفته‌اند. این امر مبین رشد همزمان ارتوز و کوارتز می‌باشد. در بافت گرانوفیری دانه‌های کوارتز به صورت زنجیروار در اطراف بلور ارتوز و در نزدیکی حاشیه‌های آن، تمرکز پیدا می‌کند (تابلوی ۳-۷، شکل ج). این امر مبین تبلور همزمان کوارتز و ارتوز، در مراحل نهایی رشد ارتوز می‌باشد. ارتوز ادخالهایی از سایر کانیها نظیر بیوتیت و پلاژیوکلاز را دربرمی‌گیرد، و در برخی موارد دگرسانی آرزیلیتی ضعیفی نشان می‌دهد. گاهی اوقات ارتوز بافت پرتیتی ظریف و ماکل کارلسbad نشان می‌دهد. میرمکیت‌زایی نیز در این آپلیت‌ها مشاهده می‌شود.

##### پلاژیوکلاز

به صورت بلورهای نیمه شکل دار تا بی‌شکل ریزدانه مشاهده می‌شود و دارای ماکل پلی‌سینتیک و خاموشی زونهای می‌باشد. تعدادی از پلاژیوکلازها در واکنش با سیالات ماقمایی سازنده ارتوزها، چار خوردگی و تحلیل رفتگی شده‌اند و در امتداد مرزهای آنها، میرمکیت‌زایی دیده می‌شود. پلاژیوکلازها در بعضی موارد به سریسیت دگرسان شده‌اند.

##### بیوتیت

به صورت بلورهای بی‌شکل تا نیمه شکل دار، ریزدانه و پراکنده در آپلیت‌ها یافت می‌شود. بیوتیت‌ها در برخی موارد کلریتی شده‌اند. فراوانی بیوتیت در آپلیت‌ها چندان قابل توجه نیست.

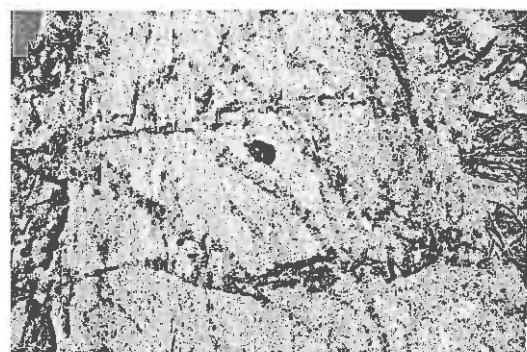
##### کوارتز

به صورت بلورهای عمدتاً بی‌شکل و دانه‌ریز یافت می‌شود و دارای حاشیه‌های مضرس و خاموشی موجی می‌باشد. در مقاطع نازک، کوارتز اکثراً به صورت بین‌دانه‌ای مشاهده می‌گردد.

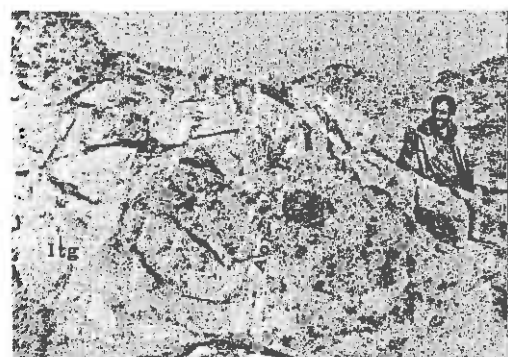
تابلوی ۳-۷

شکل الف و ب - تصویری از حضور رگه‌های آپلیتی در گرانودیوریت‌ها.

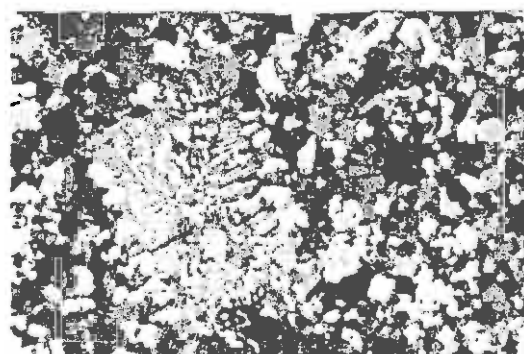
شکل ج - تصویر میکروسکوپی یک سنگ آپلیتی گرانیتی، که بلورهای درشت ارتوز موجود در آن با کوارتز همرشدی نشان می‌دهند و بافت گرافیکی بسیار جالبی را به نمایش گذاشته‌اند.



شكل الف



شكل ب



شكل ج

تаблицى ٧-٣

### ۴-۳-۲- پتروگرافی و سنگشناسی پگماتیت‌های مرتبط با گرانوودیوریت‌ها

پگماتیت‌ها غالباً بصورت رگه‌های باریک به ضخامت چند میلیمتر تا چند سانتیمتر یافت می‌شوند امتداد این رگه‌ها در نقاط مختلف متغیر است ولی غالباً دارای امتداد شمالی - جنوبی می‌باشند. آنها در بخش مرکزی توده نفوذی لوقو، حوالی روستاهای خیرآباد، منزل آب و دره بیدی از تمرکز بیشتری برخوردار هستند. این رگه‌ها که گرانوودیوریت‌ها و آنکلاوهای آنها را قطع می‌کنند از ترکیب کانی‌شناسی ساده‌ای نظیر ارتوز، پلازیوکلاز، کوارتز و ندرتاً تورمالین برخوردارند(تابلوی ۳-۸)، شکل الف و ب). در برخی موارد بلورهای درشت بیوتیت نیز به این مجموعه اضافه می‌شود. در موارد نادری نیز، این پگماتیت‌ها حاوی تورمالین می‌باشند. کانیهای نظیر گارنت، مسکوویت و آندالوزیت که در پگماتیتها مرتبط با گرانیت‌ها دیده می‌شوند در این پگماتیت‌ها حضور ندارند. به این دلیل که پگماتیت‌های مرتبط با گرانوودیوریت‌ها حاصل تفریق گرانوودیوریت‌ها می‌باشند. در حالیکه پگماتیتها مرتبط با گرانیت‌ها در اثر ذوب بخشی سنگهای دگرگونی تشکیل شده‌اند.

پگماتیت‌ها دارای رنگ سفید متمایل به صورتی می‌باشند، دانه درشت هستند و در نمونه دستی آنها کانیهای ارتوز، پلازیوکلاز، کوارتز و بیوتیت مشاهده می‌شود. بافت گرافیکی ناشی از همرشدی کوارتز و ارتوز در نمونه‌های دستی قابل روئیت است. در تعداد معنودی از نمونه‌ها لکه‌های سیاه رنگ حاصل تجمع بلورهای تورمالین دیده می‌شود، این لکه‌ها دارای اشکال و اندازه‌های متنوع و متفاوتی هستند و به صورت پراکنده یافت می‌شوند.

### اخصاچات میکروسکوپی

پگماتیت‌ها دارای بافت گرانولار دانه درشت(پگماتیتی) هستند. بافت‌های پرتیتی و گرافیکی در آنها دیده می‌شود بیوتیت نیز به صورت پراکنده در این سنگها وجود دارد.

### کانیهای اصلی ارتوز

از فراوانترین کانیهای سازنده این پگماتیت‌هاست و غالباً شکل دار تا نیمه شکل دار می‌باشد و بافت پرتیت رشته‌ای نیز نشان می‌دهد. در برخی موارد ارتوز با کوارتز همرشدی نشان می‌هد و بافت گرافیکی به نمایش می‌گذارد(تابلوی ۳-۸)، شکل ج). ارتوز دارای ادخالهایی از کوارتز، پلازیوکلاز و بیوتیت می‌باشد.

### پلازیوکلاز

غالباً شکل دار، دانه درشت و دارای ماکل پلی‌سینتیک ظریف می‌باشد. در بعضی موارد پلازیوکلاز و کوارتز بافت گرافیکی نشان می‌دهد. تبلور همزمان ارتوز و کوارتز و یا ارتوز و پلازیوکلاز مبین تبلور در شرایط مینیمم دمایی سیستم آلبیت - ارتوز - کوارتز می‌باشد(تابلوی ۳-۸)، شکل د). پلازیوکلازها دارای ادخالهایی از کوارتز و بیوتیت هستند.

## کوارتز

در بیشتر موارد بین‌دانه‌ای و بی‌شکل می‌باشد و فضای بین بلورهای درشت ارتوز و پلازیوکلاز را پر می‌کند. این بلورها دارای حاشیه‌های مضرس بوده و خاموشی موجی نشان می‌دهند. بخشی از کوارتزها با پلازیوکلاز و ارتوز بطور همزمان متبلور شده‌اند و بافت گرافیکی نشان می‌دهند.

## بیوتیت

به میزان نسبتاً کم و به صورت بلورهای شکل‌دار تا بی‌شکل بطور پراکنده در پگماتیت‌ها یافت می‌شود در برخی موارد بیوتیت‌ها کلریتی شده‌اند. تبلور بیوتیت در پگماتیت‌ها بیانگر بالا بودن دما و حضور مقادیری آهن و منیزیم می‌باشد. حضور بیوتیت در پگماتیت‌های مرتبط با گرانوڈیوریتها، یکی از ویژگیهای بارز این نوع پگماتیت‌ها می‌باشد.

## کانیهای فرعی

### اسفن و زیرکن

اسفن و زیرکن کانی‌های فرعی پگماتیت‌ها هستند که به مقدار بسیار کم در این سنگها یافت می‌شوند.

## کانیهای ثانویه

### سریسیت

کانی ثانویه‌ای است از دگرسانی پلازیوکلاز و ارتوز حاصل شده و از فراوانی بسیار کمی برخوردار است.

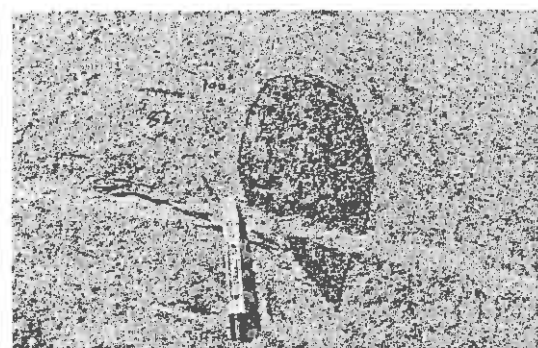
### تabelوی ۳-۸

شکل الف - تصویری از یک رگه پگماتیتی که یک آنکلاو میکروگرانولار مافیک اشکی شکل و گرانودیوریتها را قطع می‌کند.

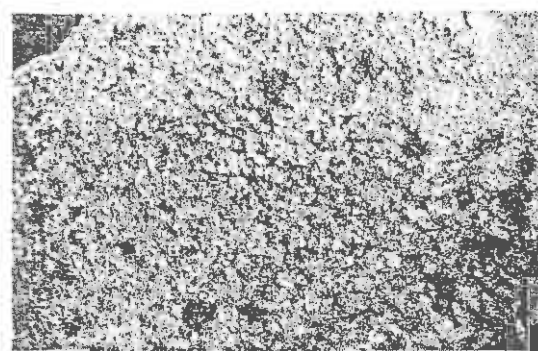
شکل ب - تصویری از حضور تورمالین به صورت تجمعات بلوری (لکه‌های سیاه رنگ) در پگماتیت‌ها (دره کالی). قطر بزرگترین تجمعات بلورهای تورمالین در حدود ۵ سانتیمتر است.

شکل ج - تصویر میکروسکوپی مبین حضور بافت پرتیتی زیبای ارتوز در پگماتیت‌ها. علاوه بر کانیهای متداول پگماتیت‌ها، بیوتیت نیز در آنها یافت می‌شود.

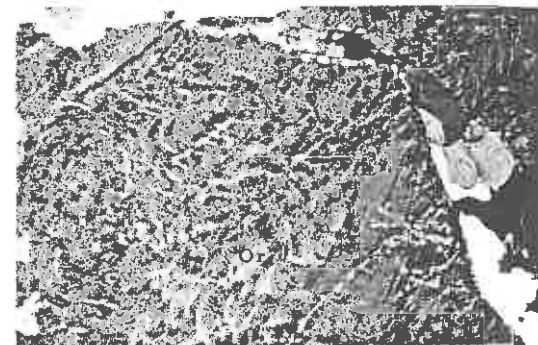
شکل د - تصویر میکروسکوپی مبین بافت گرافیکی حاصل از رشد همزمان کوارتز و ارتوز، و کوارتز و پلاژیوکلاز در پگماتیت‌ها مورد مطالعه.



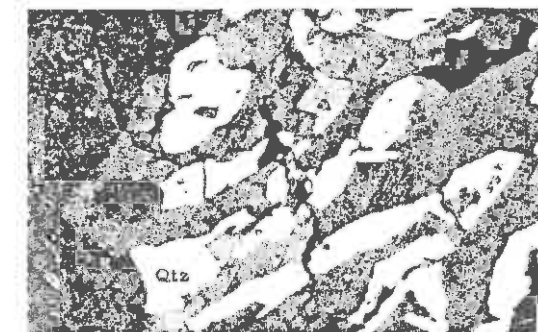
شكل الف



شكل ب



شكل ج



شكل د

تабلوى ٨-٣

### ۳-۵. پتروگرافی و سنگشناسی دیوریت‌ها و کوارتزدیوریت‌ها

دیوریت‌ها و کوارتزدیوریت سنگهای تیره رنگ تا تیره متمایل به سبز دانه‌ریزی هستند که به علت داشتن رنگ تیره‌تر نسبت به سایر سنگهای هم‌جوارشان، از دور توجه هر بیننده‌ای را به خود جلب می‌کنند (تabelوی ۹-۳، شکل الف). این سنگها از هورنبلند و بیوتیت غنی هستند، پلاژیوکلاز و کوارتز تنها کانیهای روشن آنها می‌باشند. اسفن، زیرکن، آپاتیت و مگنتیت کانیهای فرعی این سنگها هستند (تabelوی ۹-۳، شکل ب و ج).

#### اختصاصات میکروسکپی

این سنگها دارای بافت گرانولار هستند و کانیهای تشکیل دهنده آنها غالباً شکل دار تا نیمه شکل دار می‌باشند. کانی‌های اصلی اولیه تشکیل دهنده این سنگها پلاژیوکلاز، هورنبلندسبز، و کوارتز هستند. بیوتیت که دارای فراوانی قابل ملاحظه‌ای نیز هست از متاسماتیسم پتابسیک هورنبلند سبز حاصل گردیده است (فرایند بیوتیت‌زایی). زیرکن، اسفن، آپاتیت و مگنتیت کانیهای فرعی این سنگها می‌باشند. بیوتیت، کلسیت، اکسیدهای آهن، اسفن، سریسیت و کوارتز (از نوع کرمی شکل) و ارتوز کانیهای ثانویه این سنگها هستند که با پدیده‌های هوازدگی، دگرسانی و متاسماتیسم پتابسیک در ارتباط می‌باشند.

#### کانیهای اصلی

##### پلاژیوکلاز

این کانی عمده‌ترین کانی روشن موجود در این سنگها است که غالباً شکلدار تا نیمه شکلدار می‌باشد و از نظر ابعاد نیز دانه درشت تا دانه متوسط است. پلاژیوکلازها دارای ماکل پلی‌سینتیک، خاموشی موجی و زونهای هستند و دارای ادخالهایی از هورنبلند سبز، اسفن، زیرکن و آپاتیت می‌باشند. پلاژیوکلازها در بعضی موارد به سریسیت و کلسیت دگرسان شده‌اند. در برخی موارد در اثر هجوم محلولهای حاوی پتابسیم و واکنش‌های صورت گرفته، پلاژیوکلازها دچار تحلیل رفتگی و خوردگی شده‌اند؛ این امر به تشکیل میرمکیت و ارتوزهای بی‌شکل منجر گردیده است. البته در طی متاسماتیسم پتابسیک، تبدیل هورنبلند سبز به بیوتیت یا به عبارتی بیوتیت‌زایی نسبت به میرمکیت‌زایی از گسترش و فراوانی بیشتری برخوردار است.

##### هورنبلندسبز

این کانی به صورت بلورهای غالباً شکلدار تا نیمه شکل دار یافت می‌شود. بعضی از بلورهای هورنبلند سبز منطقه‌بندی ترکیبی بارزی را به نمایش می‌گذارند. بطوریکه دو بخش با رنگهای متمایز از یکدیگر را به نمایش می‌گذارند. بخش مرکزی تیره رنگ‌تر و بخش حاشیه‌ای روشن‌تر می‌باشد. این کانی دارای ادخالهایی از پلاژیوکلاز، کوارتز، اسفن، زیرکن و آپاتیت است. هورنبلند سبز فراوانترین کانی مافیک اولیه دیوریت‌ها و کوارتز دیوریت‌ها می‌باشد و این امر باعث گردیده تا رنگ این سنگها از خاکستری به سبز گرایش پیدا کند.

## کوارتز

این کانی به صورت پرکننده فضای بین سایر کانیها یافت می‌شود. غالباً بی‌شکل بوده و در ضمن از فراوانی نسبتاً کمی برخوردار است. درصد حجمی کوارتز حداقل به ۱۰ درصد می‌رسد که در این موارد برای نامگذاری سنگ از اصطلاح کوارتزدیوریت استفاده می‌کنیم. مقدار اندکی کوارتز کرمی شکل حاصل از میرمکیتزاوی نیز همراه این سنگها یافت می‌شود، که جزء کانیهای ثانویه محسوب می‌شود.

## کانیهای فرعی

### اسfen

این کانی به دو صورت در دیوریت‌ها و کوارتز دیوریت‌ها یافت می‌شود که عبارتند از: ۱- اسفن‌های اولیه‌ای که مستقیماً از تبلور ماقماً حاصل گردیده‌اند، این بلورها شکل‌دار تا نیمه‌شکل‌دار هستند و در برخی موارد بافت اسکلتی نشان می‌دهند؛ ۲- اسفن‌هایی که با پدیده بیوتیتزاوی و کلریتزاوی هورنبلنده در ارتباط می‌باشند. این نوع اسفن‌ها غالباً بی‌شکل و ریزدانه هستند و با کانیهای اوپاک حاصل از دگرسانی نیز همراه می‌باشند. در بعضی موارد تبدیل شدگی کانیهای اوپاک به اسفن نیز مشاهده می‌شود. اسفن معمولاً به صورت ادخال در هورنبلنده، پلازیوکلاز، و بیوتیت یافت می‌گردد ولی گاهی اوقات نیز پلازیوکلاز، بیوتیت و سایر کانیها به صورت ادخال در اسفن حضور دارند.

### زیرکن

این کانی به صورت بلورهای ریز شکل‌دار تا بی‌شکل با برجستگی بالا و رنگهای سری بالا یافت می‌شود. زیرکن معمولاً به صورت ادخال در بلورهای هورنبلنده سبز، بیوتیت و پلازیوکلاز حضور دارد.

### آپاتیت

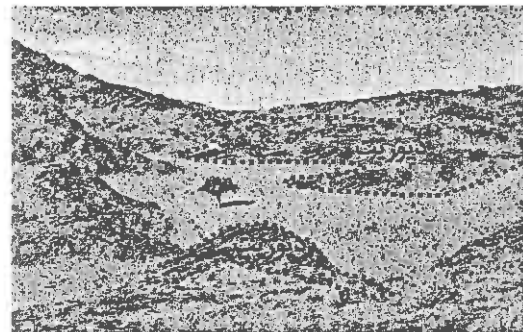
این کانی به صورت بلورهای سوزنی شکل باریک در این سنگها یافت می‌شود. اگرچه بلورهای آپاتیت همگی دانه‌ریز هستند ولی در ابعاد آنها تفاوت قابل ملاحظه‌ای مشاهده می‌شود. گاهی اوقات بلورهای آپاتیت در امتداد خاصی آرایش یافته‌اند و احتمالاً به موازات جریان ماقمایی قرار گرفته‌اند. همچنین گاهی اوقات در یک بلور آپاتیت چند نسل از بلورهای آپاتیت ریزتر یافت می‌گردد که احتمالاً به رشد چند مرحله‌ای آپاتیتها مربوط می‌گردد. فراوانی آپاتیت در دیوریت‌ها و کوارتز دیوریت نسبت به سایر سنگهای توده گرانیتوئیدی زاهدان بسیار بیشتر است.

دیوریت‌ها و کوارتزدیوریت‌ها در مجموع کمتر از ۱۰ درصد حجمی توده گرانیتوئیدی زاهدان را به خود اختصاص می‌دهند ولی علیرغم این حجم کم از پراکندگی زیاد برخوردار هستند و به صورت چندین استوک کوچک و بزرگ در چندین محل رخمنون دارند و یا در ابعاد چند ده متری یا چند صد متری همراه گرانو دیوریت‌ها یافت می‌شوند.

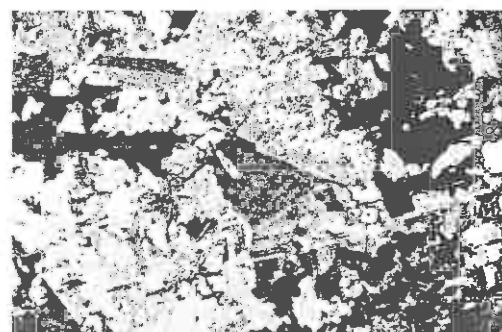
تابلوی ۳-۹

شکل الف - تصویری از رخنمون سنگهای دیوریتی در شرق روستای علی‌گری.

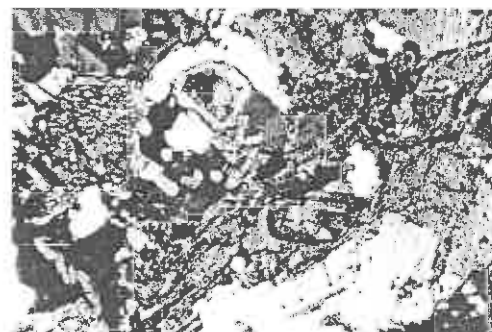
شکل ب و ج - تصویری از بافت میکروسکپی سنگهای دیوریتی.



شكل الف



شكل ب



شكل ج

تابلوی ۳-۹

### ۳-۶- پتروگرافی و سنگشناسی آنکلاوها

در گرانیت‌ها و گرانودیوریت‌های منطقه مورد مطالعه آنکلاوهای زیادی با منشاء‌های متفاوت یافت می‌شوند. با این وجود، می‌توان آنها را در دو دسته کلی طبقه‌بندی نمود: ۱- آنکلاوهای مشتق شده از سنگهای دگرگونی، ۲- آنکلاوهای میکروگرانولار مافیک.

#### ۳-۶-۱- آنکلاوهای مشتق شده از سنگهای دگرگونی

این نوع از آنکلاوها عمدتاً دارای ترکیب متاپلیتی می‌باشد، برخی از آنها نیز دارای ترکیب ماسه‌سنگی و آهکی دگرگون شده می‌باشد.

آنکلاوها متاپلیتی (میکاشیستی و گارنت میکاشیستی) مذکور در طی اقامت خود در مagma، متحمل دگرگونی مجاورتی شده‌اند و بلورهای ریزدانه آندالوزیت در آنها تشکیل گردیده است. این نوع آنکلاوها در گرانیت‌ها به وفور یافت می‌شوند و در محل کنتاکت گرانیت‌ها با سنگهای دگرگونی میزانشان از فراوانی بیشتری برخوردار هستند. این نوع آنکلاوها در حواشی گرانودیوریت‌ها و محل کنتاکت آنها با سنگهای دگرگونی نیز یافت می‌شوند و با دور شدن از کنتاکت مقدار آنها کاسته می‌شود و در بخش داخلی توده گرانودیوریتی حضور ندارند (تابلوی ۳-۱۰، شکلهای الف و ب).

#### ۳-۶-۲- آنکلاوهای میکروگرانولار مافیک

سنگهای گرانودیوریتی که حدود ۷٪ درصد از حجم توده نفوذی چشم‌بید را به خود اختصاص می‌دهند دارای آنکلاوهای میکروگرانولار مافیک و لخته‌های مافیکی هستند که عمدتاً از هورنبلند، بیوتیت، پلازیوکلاز تشکیل شده‌اند و دارای ترکیب دیوریتی و کوارتزدیوریتی می‌باشد. در همین جا باید اظهار داشت این نوع آنکلاوها در سنگهای گرانیتی یافت نمی‌شوند. آنکلاوهای میکروگرانولار مافیک و به عبارتی آنکلاوهای دیوریتی و کوارتزدیوریتی، تقریباً در سراسر بخش گرانودیوریتی توده نفوذی چشم‌بید حضور دارند، البته درصد فراوانی آنها در نقاط مختلف متفاوت است. اندازه آنها از چند میلیمتر تا بیش از ۲ کیلومتر متغیر است (تابلوی ۳-۱۰، شکل ج). این آنکلاوها اشکال بسیار متنوعی نظیر دوکی شکل، تقریباً کروی، مثلثی، بیضوی کشیده و گاه اشکال هندسی نامنظم زیادی را به نمایش می‌گذارند (تابلوی ۳-۱۰، شکل د). در پی توجه به آنکلاوهای دیوریتی و کوارتزدیوریتی، شواهدی از گسیختگی آنکلاوها در مقیاس مختلف (از رخنمون صحرایی تا مقیاس میکروسکوپی) بدست آمد و در نتیجه مشخص گردید که آنها از گسیختگی توده‌هایی با ترکیب دیوریتی و کوارتزدیوریتی حاصل شده‌اند. مشاهدات و بررسی‌های انجام شده، وجود آنکلاوهای بسیار بزرگی از سنگهای دیوریتی و کوارتز دیوریتی را محرز ساخت.

### تابلوی ۱۰-۳

شکل الف - تصویری از یک آنکلاو متاپلیتی، که در طی اقامت خود در مآگمای گرانودیوریتی متحمل دگرگونی مجاورتی شده است و بلورهای ریز آندالوزیت در آن تشکیل گردیده است.

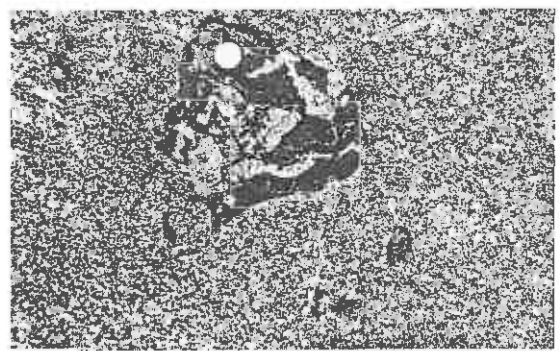
شکل ب - تصویری از قطعات سنگی متاپلیتی که توسط گرانودیوریت دربرگرفته شده‌اند، توده‌های کوارتزی بزرگی که در درون این آنکلاو‌ها مشاهده می‌شوند دارای منشاء دگرگونی هستند.

شکل ج - تصویری از سنگهای دیوریتی که به صورت یک مگآنکلاو ظاهر شده‌اند و همانند تاجی بر فراز سنگهای گرانودیوریتی قرار گرفته‌اند ( محل: شمال غرب روستای منزل آب).

شکل د - گسیختگی توده‌های دیوریتی و تبدیل آنها به آنکلاوهایی با ابعاد کوچکتر، که این آنکلاوها توسط زمینه‌ای از سنگهای گرانودیوریتی در برگرفته شده‌اند و دارای اشکال متنوعی هستند.



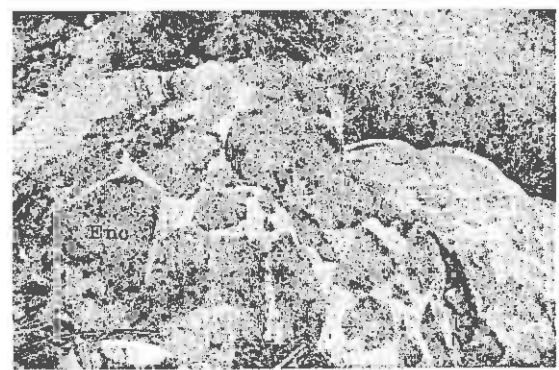
شكل الف



شكل ب



شكل ج



شكل د

تаблицى ١٠-٣

در جنوب غرب روستای خیرآباد و شمال روستای کوچکی، شواهد اختلاط مانگماهی به صورت حضور آنکلاوهای میکروگرانولار مافیک با ابعاد میلیمتری تا دسی‌متری مشاهده می‌شود. این آنکلاوها تقریباً ۵۰ درصد حجم سنگ را به خود اختصاص می‌دهند. در موارد پیشرفته‌تر، این گلbulها در درون مانگماهی گرانودیوریتی توزیع گشته‌اند و به صورت لخته‌های مافیک در تمامی بخش‌های توده نفوذی قابل مشاهده هستند.

در طی گسیخته شدن مانگماهی دیوریتی، تشکیل آنکلاوهای راهیابی آنها به درون مذاب سازنده سنگ‌های گرانودیوریتی، واکنشها و فعل و انفعالاتی بین مانگماهی سازنده گرانودیوریتها و آنکلاوهای صورت گرفته است. بارزترین این واکنشها انتشار پتابسیم از مانگماهی گرانودیوریتی به درون آنکلاوهای می‌باشد. در اثر انتشار پتابسیم و راهیابی آن به درون آنکلاوهای هورنبلندسیز به تدریج به بیوتیت تبدیل گردیده است. میزان تبدیل شدگی بسیار متغیر است و ابتدا به صورت تشکیل پولکها یا تیغه‌های کوچک بیوتیت در امتداد کلیویازها، شکستگی‌ها، شکافها، حاشیه‌ها و مرز بین دانه‌ها آغاز می‌گردد، ولی در موارد پیشرفته‌تر ممکن است بلور هورنبلند بطور کامل به بیوتیت تبدیل شده باشد.

تغییر دیگری که صورت می‌گیرد تبدیل تدریجی پلاژیوکلاز به ارتوز می‌باشد. تبدیل شدگی پلاژیوکلاز به ارتوز، گاهی اوقات بقدرتی گسترده است که بخش قابل توجهی از زمینه سنگ بطور یکنواخت از ارتوز تشکیل می‌گردد. در چنین موقعی معمولاً مقداری از پلاژیوکلازها از این جایگزینی مصون مانده‌اند و یا اینکه فقط بخشی از آنها به ارتوز تبدیل گردیده است در نتیجه تعداد زیادی از بلورهای پلاژیوکلاز غالباً نیمه شکل دار و دارای حاشیه‌های مضرس به صورت ادخال در درون زمینه‌ای از ارتوز مشاهده می‌شود. در شرایط پیشرفته‌تر فقط شبحی از پلاژیوکلازها باقی مانده است. در طی این تغییر و تحولات بلورهای کرمی شکل کوارتز(میرمکیت) نیز تشکیل می‌گردد و در درون ارتوز به صورت ادخال مشاهده می‌شوند. در بعضی مواد بلورهای ارتوز تازه تشکیل شده که غالباً نیز بی‌شکل هستند، تعداد زیادی از سایر کانیها نظیر هورنبلندسیز، بیوتیت، اسفن، زیرکن، آپاتیت، مگنتیت و بقایای پلاژیوکلاز را به صورت ادخال دربرمی‌گیرند. این پدیده، منظره‌ای را به وجود می‌آورد که شبیه شناور شدن تعداد زیادی کانی در زمینه‌ای از ارتوز می‌باشد.

پدیده فلدسپاتزایی بطور گسترده‌ای، به صورت تشکیل لکه‌های سفید رنگ در سطح برخی از آنکلاوهای قابل مشاهده است. معمولاً در طی اقامت آنکلاوهای در مانگماهی سیلیسیم نیز به درون آنها راه می‌یابد که به صورت تشکیل گلbulها کوارتزی تجلی پیدا می‌کند. کوارتزهای سازنده این گلbulها، معمولاً دانه‌درشت، بی‌شکل و دارای حاشیه‌های مضرس می‌باشند. بطور کلی سایر ویژگیهای میکروسکپی این آنکلاوها با دیوریتها و کوارتزدیوریتها مشابه است، با این توضیح که این آنکلاوها غالباً ریزدانه هستند، بافت پرفیری، میکروگرانولار یا پرفیری میکروگرانولار نشان می‌دهند و هورنبلندسیز و پلاژیوکلاز فنوکریستهای این مجموعه هستند(تabelوی ۱۱-۳، شکل الف).

اسفن به وفور در برخی از آنکلاوهای یافت می‌شود و این اسفن‌ها غالباً دانه درشت و شکل دار هستند(تabelوی ۱۱-۳، شکل ب)، این امر مبین غنی بودن مانگماهی سازنده آنها از  $TiO_2$  می‌باشد. یکی از ویژگیهای بارز دیگر این آنکلاوهای حضور مقادیر قابل توجهی آپاتیت‌های سوزنی شکل ریزدانه

می باشد که به ویژه در درون پلاژیوکلازها یا ارتوزهایی که جانشین پلاژیوکلازها شده‌اند، یافت می‌گردد. زیرکن و مگنتیت سایر کانیهای فرعی انکلاوهای می‌باشند. در آنکلاوهایی که تحت تأثیر دگرسانی قرار گرفته‌اند، کانیهای ثانویه‌ای نظیر کلسیت، کلریت، اپیدوت، سریسیت و کمی اکسیدهای آهن یافت می‌شوند.

حال با توجه به آنچه ذکر شد، شواهد اختلاط ماقمایی از مقیاس صحرایی(بزرگ مقیاس) تا مقیاس میکروسکوپی قابل تعقیب است. در مقیاس میکروسکوپی این شواهد به صورت گلبلوها یا لخته‌های مافیک در حال گسیخته شدن قابل مشاهده هستند(تابلوی ۱۱-۳، شکلهای ج و د). اگر شواهد مذکور را با کارها و مقالات منتشر شده(صادقیان، ۱۳۸۳؛ Paterson و همکاران، ۲۰۰۴) مقایسه کنیم، به این حقیقت پی می‌بریم که بین ماقمایی سازنده دیوریت‌ها و گرانودیوریت‌ها اختلاط صورت گرفته است و به دنبال خود تغییر و تحولات زیادی را به همراه داشته است. مجموع شواهد ارائه شده، مبین نفوذ توده دیوریتی به درون سنگهای دگرگونی و در نتیجه ذوب این سنگها می‌باشد. در اثر این فرایند ماقمای گرانیتی ایجاد شده که با ماقمای دیوریتی اختلاط حاصل کرده است.

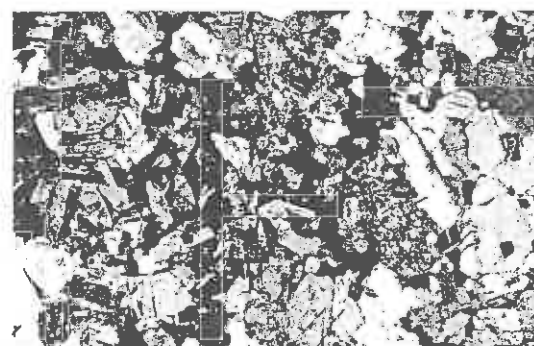
### تابلوی ۱۱-۳

شکل الف - تصویر میکروسکپی نشان دهنده بافت میکروگرانولار و حضور کانیهای هورنبلندسبز، پلاژیوکلاز و بندرت کوارتز.

شکل ب - تصویر میکروسکپی نشان دهنده بافت میکروگرانولار و حضور کانی اسفن.

شکل ج - این تصویر پدیده فلدسپاتزایی را در آنکلاوهای میکروگرانولار مافیک (در مقیاس میکروسکپی) نشان می‌دهد.

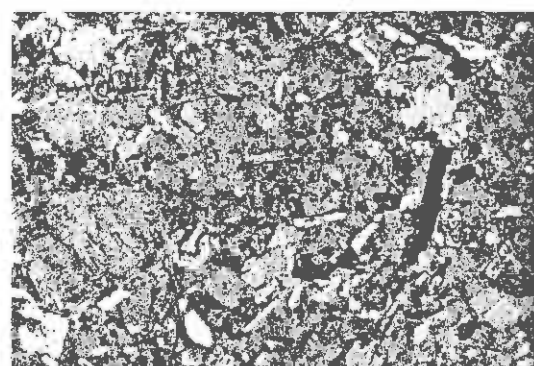
شکل د - تصاویری از گسیختگی پیشرفته گلبوها یا لخته‌های مافیک در مقیاس میکروسکپی.



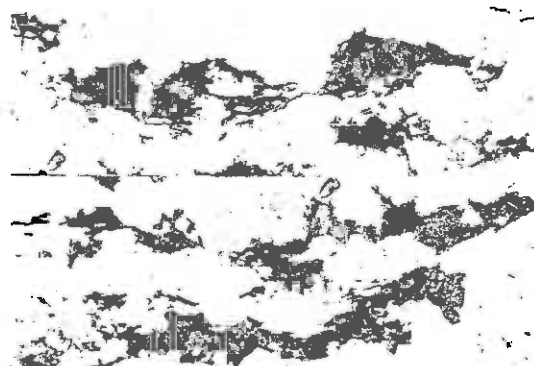
شكل الف



شكل ب



شكل ج



شكل د

١١-٣ تابلوى

## ڦصل چهارم

ڙئوشيمى و پترولوي

#### ۱-۴- مقدمه

امروزه بررسی دقیق و همه جانبی سنگهای آذرین بدون انجام مطالعات ژئوشیمیایی امکان پذیر نیست. به منظور استفاده از ژئوشیمی، اولین گام در ک دقيق اصول آن و رفتار ژئوشیمیایی عناصر در مagmaهای سیلیکاتی و سیالات وابسته به آنها می باشد(هندرسون، ۱۹۸۲). به عبارت صحیح تر، قویترین ابرازهای قابل دسترس برای تشریح منشأ و تحول سنگهای گرانیتوئیدی در اختیار ژئوشیمی است.

بعد از مطالعات صحرایی و پتروگرافی تعداد ۰۱ نمونه از سنگهای مختلف توده گرانیتوئیدی مورد مطالعه انتخاب و در آزمایشگاه ژئوشیمی معتبر Actlab کانادا آنالیز گردیده و توسط نرم افزارهای پترولوجیکی پردازش شده‌اند. محل دقیق این نمونه‌ها به کمک GPS تعیین و در جدول (۱-۴) به نمایش در آمده است.

نتایج آنالیز شیمیایی نمونه‌ها نیز در جدول ۲-۴ دیده می‌شود.

جدول ۱-۴- مختصات دقیق نمونه‌های برداشت شده توسط GPS

نام سنگ	محل برداشت نمونه	موقعیت	شماره نمونه
سینو تا مونزو گرانیت	گرانیت بوگ	N:29 08 415. E:61 11 487	MZ-1.2
سینو تا مونزو گرانیت	غرب چشم‌بید	N:29 08 419. E:61 00 535	MZ-47.2
سینو تا مونزو گرانیت	چشم‌بید	N:29 07 953. E:60 59 830	MZ-48.1
سینو تا مونزو گرانیت	شرق چشم‌بید	N:29 08 152. E:61 01 517	MZ-49.1
سینو تا مونزو گرانیت	حاجی‌آباد	N:29 11 295. E:60 59 389	MZ-59.1
گرانو دیوریت	شورچاه	N:29 11 396. E:60 55 381	MZ-16.1
گرانو دیوریت	دره زرگی	N:29 09 809. E:60 57 369	MZ-37.1
گرانو دیوریت	کلات	N:29 10 733. E:60 58 106	MZ-39.1
دیوریت	کوچکی	N:29 13 504. E:60 53 910	MZ-22.1
دیوریت	حدفاصل کوچکی و کاشی	N:29 13 153. E:60 54 258	MZ-28.2

## ۲-۴-آماده‌سازی و تصحیح داده‌های تجزیه‌های شیمیایی

برای بحث و بررسی در مورد روابط ژئوشیمیایی سنگها، که بر پایه نتایج تجزیه شیمیایی آنها استوار است، ابتدا باید به فرایندهایی که ممکن است نتایج تجزیه‌شیمیایی سنگها را تحت تاثیر قرار دهند نگاهی داشته باشیم. مهمترین این فرایندها شامل موارد زیر هستند(رولینسون، ۱۹۹۲):

### - آلایش

آلایش در طول آماده سازی نمونه، یک منبع مهم خطا در تجزیه ژئوشیمی است. به احتمال زیاد این اتفاق در طول خردکردن و پودرکردن نمونه رخ می‌دهد. آلایش ممکن است از نمونه‌هایی که قبل از آماده شده‌اند و یا ناشی از خود دستگاه آسیاب باشد. آلایش با بقایای ناشی از نمونه‌های قبلی را می‌توان با تمیزکردن دستگاه، برطرف کرد. آلایش نوع دوم را نیز می‌توان با انتخاب آسیاب ساخته شده از آلیاژ مناسب کنترل کرد. برای تجزیه‌هایی با بیشترین دقت، آسیاب باید از نوع آگات باشد. کاربید تنگستن، یک ماده پودر کننده رایج هم در هاون خردکننده و هم در آسیاب حلقه‌ای بوده و آلودگی قابل ملاحظه W, Sc, Ta, Co و مقدار جزئی Nb را سبب می‌شود(نیسبت و همکاران، ۱۹۷۹؛ هیکسون و جوراس، ۱۹۸۶؛ نورمن و همکاران، ۱۹۸۹؛ جچوم و همکاران، ۱۹۹۰). علاوه بر این، خطوط طیفی W روی خطوط عناصر دیگر می‌افتد و سبب افزایش ظاهری غلظت می‌شود مگر اینکه تشخیص داده شود. فولاد کرومدار، مقادیر قابل ملاحظه‌ای Cr, Fe مقادیر متوسطی Mn و مقدار جزئی Dy و فولاد با کربن بالا، مقادیر بالایی Fe, Cr, Cu, Mn, Zn و مقدار جزئی Ni وارد نمونه می‌کند(هیکسون و جچوم، ۱۹۸۶).

منابع دیگر آلایش، در طبیعت قرار دارند. ایجاد پوشش نازکی از رسوبات حاصل از محلول‌های آبی زیرزمینی یا آب دریا بر روی نمونه‌ها از این موارد است. این مورد بوسیله شستشوی تکه‌های سنگ قبل از خرد کردن برطرف می‌شود.

آلایش بوسیله معرفه‌های ناخالصی که در طول انحلال و آماده سازی نمونه، استفاده می‌شوند نیز حتی با وجود استفاده از مواد شیمیایی فوق العاده خالص می‌تواند مهم باشد. اندازه گیری مقدار آلایش ناشی از این منبع را می‌توان بوسیله تجزیه خود معرفه‌ها در غلظت‌های مورد مصرف در آماده سازی و تعیین ترکیب شیمیایی استاندارد بدست آورد.

### - خطا‌های ناشی از کالیبراسیون

تمامی روش‌های تجزیه شیمیایی بجز روش طیف سنج جرمی غلظتها را نسبت به استاندارد با غلظت مشخص یا نسبت به یک منحنی کالیبره می‌کنند. این منحنی نیز بر اساس استانداردهایی با غلظت معلوم رسم شده است. استانداردهای مورد استفاده در ترسیم منحنی‌های کالیبراسیون یا معرفه‌های بسیار خالص شیمیایی و یا نمونه‌های بین المللی مرجع هستند(گوین داراجو، ۱۹۸۴؛ ابی، ۱۹۸۹).

در بعضی موارد باید استانداردها با استفاده از روش‌های بسیار دقیق تجزیه شوند. روشن است که صحت تجزیه نهایی بستگی به صحت تجزیه استانداردهای مورد مصرف در کالیبراسیون داشته و خطاها سیستماتیک بر احتی می‌توانند ایجاد شوند.

## - خطاهای ناشی از پوشش پیکها

در اکثر روش‌های تجزیه‌ای مورد استفاده در ژئوشیمی سعی اندکی در جدایش عنصر مورد تجزیه از بقیه سنگ یا کانی‌های نمونه صورت می‌گیرد. تنها مورد استثناء در طیف سنگی جرمی است. بنابراین امکان تداخل خطوط طیفی یا قله‌ها وجود دارد و در نتیجه مقادیر اندازه‌گیری شده، در اثر همپوشانی پیکهای اضافی عنصر دیگر موجود در سنگ بطور مجازی بالا خواهد بود. تأثیر این تداخلات باید محاسبه و رفع شود.

بنابراین برای دستیابی به یک نتیجه مطلوب باید :

الف- بر تعداد زیادی تجزیه شیمیایی استناد کرد.

ب- بر روش‌های صحرایی و میکروسکوپی تاکید شود تا نتایج با هم مطابقت داشته باشند و همچنین با الگوهای شناخته شده توزیع عناصر در سنگها و محیط‌های تکتونیکی سازگار باشند.

ج- انحرافات را نمی‌توان با صراحت تمام دلیل وقوع یک فرایند خاص دانست (قاسمی، ۱۳۸۰). قبل از استفاده از تجزیه‌های شیمیایی لازم است تغییراتی در آنها داده شود. از جمله این تغییرات می‌توان از حذف مواد فرار و تصحیح نسبت  $\text{Fe}_2\text{O}_3/\text{FeO}$  نام برد.

در تجزیه‌های شیمیایی مقدار اکسید آهن به صورت کلی  $\text{Fe}_2\text{O}_3$  ارائه می‌شود. در تعیین مقدار آهن فریک  $\text{Fe}_2\text{O}_3$  و فرو  $\text{FeO}$  ممکن است مقادیر محاسبه شده به دور از مقدار واقعی موجود در نمونه‌های تجزیه شده باشد که در نتیجه تأثیر زیادی بر کانی‌هایی که از طریق نورم بدست می‌آیند می‌گذارد. بدین ترتیب که سنگ دارای مگنتیت نورماتیو بیشتری است. بنابراین  $\text{FeO}$  کمتری برای ساختن کانی‌های سیلیکاتی چون دیوپسید، هیپرستن باقی می‌ماند. از طرفی مقادیر  $\text{SiO}_2$  باقیمانده حاصل از نورم در این سنگها بیشتر خواهد شد. در این مورد جهت تعديل این نسبت روش‌های متعددی ارائه شده که در اینجا از روش ایروین-باراگار و به کمک نرم افزار Igpet استفاده شده است.

**جدول ۲-۴- نتایج آنالیز شیمیابی نمونه های منطقه مورد مطالعه.**

Sample no	MZ-1.2	MZ-16.1	MZ-22.1	MZ-28.2	MZ-37.1	MZ-39.1	MZ-47.2	MZ-48.1	MZ-49.1	MZ-59.1
Rock type	Granite	Granodiorite	Diorite	Diorite	Granodiorite	Granodiorite	Granite	Granite	Granite	Granite
SiO <sub>2</sub> wt%	72.81	63.28	54.65	56.33	63.59	64.14	71.82	67.15	67.33	65.81
Al <sub>2</sub> O <sub>3</sub>	16.67	20.72	14.89	15.65	19.15	17.71	16.31	19.59	18.33	20.24
Fe <sub>2</sub> O <sub>3</sub>	0.44	2.87	7.58	6.37	3.32	3.44	1.13	1.41	2.39	1.92
MnO	0.055	0.051	0.117	0.101	0.054	0.057	0.022	0.021	0.040	0.038
MgO	0.08	1.59	8.23	6.59	1.77	1.80	0.31	0.37	0.68	0.78
CaO	0.97	2.84	6.67	6.65	3.41	3.13	1.24	1.38	1.77	2.25
Na <sub>2</sub> O	3.82	3.81	2.70	3.27	3.97	3.82	4.35	3.83	3.89	3.99
K <sub>2</sub> O	4.12	2.98	1.97	1.95	2.21	3.35	3.79	3.86	4.01	3.07
TiO <sub>2</sub>	0.029	0.463	1.120	0.976	0.565	0.572	0.145	0.196	0.343	0.293
P <sub>2</sub> O <sub>5</sub>	0.03	0.14	0.24	0.21	0.16	0.20	0.06	0.07	0.12	0.09
LOI	0.43	0.64	1.40	1.26	0.72	0.89	0.41	0.85	0.58	0.96
V ppm	-5	42	141	117	51	53	6	8	15	23
Cr	-20	41	432	347	38	39	-20	-20	-20	-20
Co	-1	7	37	29	9	9	1	2	3	3
Ni	-20	-20	215	138	20	20	-20	-20	-20	-20
Cu	-10	40	57	52	-10	20	18	37	12	14
Zn	-30	42	70	64	67	44	41	52	72	49
Ga	14	20	18	19	21	20	21	20	22	21
Ge	1.4	1.0	1.3	1.3	1.0	1.0	1.1	0.8	0.9	0.9
As	-5	-5	12	-5	-5	-5	-5	-5	-5	-5
Rb	142	125	61	76	108	117	163	139	156	133
Sr	87	326	435	458	393	383	191	233	294	333
Y	24.3	11.3	17.8	18.1	8.0	11.2	5.0	4.6	5.6	7.3
Zr	42	127	110	202	143	140	75	94	128	110
Nb	10.6	11.4	10.9	10.1	10.7	10.5	11.4	9.5	13.6	9.2
Ag	-0.5	-0.5	-0.5	-0.5	-0.5	-0.5	-0.5	-0.5	-0.5	-0.5
Sn	1	2	1	-1	2	4	3	3	2	5
Cs	2.3	9.3	4.3	7.9	9.8	7.4	7.6	4.2	9.5	10.9
Ba	260	448	363	370	361	573	410	569	620	588
La	15.3	25.7	23.1	26.3	31.0	27.5	24.4	22.5	24.6	24.8
Ce	28.1	47.6	46.6	50.5	55.6	52.0	45.1	41.5	44.5	46.2
Pr	2.88	4.80	5.31	5.46	5.45	5.34	4.49	4.08	4.47	4.53
Nd	11.0	17.4	21.1	21.0	18.8	19.7	15.4	14.0	15.7	15.9
Sm	3.01	3.40	4.71	4.41	3.08	3.54	2.75	2.47	2.92	2.83
Eu	0.193	0.791	1.34	1.29	0.990	0.967	0.593	0.696	0.795	0.719
Gd	3.31	2.56	4.15	3.88	2.25	2.81	1.76	1.51	1.83	1.97
Tb	0.65	0.41	0.67	0.65	0.32	0.42	0.21	0.20	0.24	0.30
Dy	4.19	2.19	3.78	3.60	1.64	2.27	1.01	0.96	1.12	1.51
Ho	0.87	0.41	0.71	0.71	0.30	0.44	0.17	0.17	0.20	0.27
Er	2.60	1.23	2.05	2.11	0.85	1.26	0.46	0.49	0.57	0.78
Tm	0.390	0.182	0.286	0.310	0.122	0.180	0.067	0.072	0.080	0.108
Yb	2.49	1.18	1.74	1.91	0.80	1.09	0.42	0.49	0.51	0.66
Lu	0.351	0.174	0.244	0.276	0.119	0.156	0.062	0.074	0.079	0.095
Hf	2.2	4.0	3.2	5.4	3.9	3.8	2.7	3.2	3.7	3.4
Ta	1.41	1.35	0.73	0.78	0.58	0.89	1.17	0.74	0.91	0.83
W	-0.5	1.1	-0.5	-0.5	0.7	-0.5	2.1	1.9	-0.5	0.9
Tl	1.28	1.35	0.69	0.83	1.36	1.16	1.73	1.68	1.79	1.55
Pb	50	29	18	23	32	27	43	121	41	38
Bi	0.9	2.5	3.5	2.6	18.8	2.9	1.4	4.6	35.3	1.5
Th	20.0	12.7	5.53	10.4	10.5	12.7	12.0	11.2	11.3	10.6
U	4.11	2.87	1.09	2.56	1.39	1.92	1.59	1.49	1.28	1.48

#### ۴-۳- استفاده از نتایج تجزیه های شیمیایی

پس از انجام تصحیحات لازم بر روی نتایج حاصل از تجزیه های شیمیایی، این داده ها قابل پردازش و تفسیر می گردند. از این داده ها می توان به روش های گوناگون و برای مقاصد مختلف سود جست. مثلاً از داده های مربوط به عناصر اصلی و کمیاب می توان برای طبقه بندی و نامگذاری سنگها و نیز در تشکیل نمودارهای تغییرات(دو متغیره و سه متغیره)، تعیین سریهای مانگمازی، جایگاه تکتونیکی و بالاخره شناسایی خصوصیات منشأ سنگهای آذرین منطقه سود جست. قبل از استفاده از این داده ها به توضیح مختصری راجع به عناصر اصلی و فرعی و کمیاب و ایزوتوپی و اهمیت آنها در ژئوشیمی سنگهای گرانیتوبئیدی می پردازیم.

##### - عناصر اصلی

عناصر اصلی در حد بیشتر از ۱ درصد وزنی حضور داشته و شامل: K, Na, Ca, Mg, Mn, Fe, Al, Si می باشند و غلظت آنها به صورت درصد وزنی (wt%) اکسید بیان می شود. در گرانیتوبئیدها کانیهای اصلی تشکیل دهنده سنگ هستند که تراکم فراوانی عناصر اصلی را کنترل می کنند(برای مثال کوارتز،  $\text{SiO}_2$ , پلازیوکلاز،  $\text{CaO}$ ,  $\text{Na}_2\text{O}$ ,  $\text{Al}_2\text{O}_3$  و فلدسپاتهای آلکالن،  $\text{K}_2\text{O}$ ,  $\text{Al}_2\text{O}_3$  و سیلیکاتهای فرومیزین و اکسیدها،  $\text{MgO}$  و  $\text{FeO}$  را کنترل می کنند).

##### - عناصر فرعی

این عناصر در حد بین ۰/۱ تا ۱ درصد وزنی حضور دارند. اگر چه معمولاً این عناصر همراه با عناصر اصلی گزارش می شوند ولی  $\text{P}_2\text{O}_5$ ,  $\text{MnO}$ ,  $\text{TiO}_2$  به طور مشخص سه عنصر فرعی متفاوتند.

##### - عناصر کمیاب

این عناصر در حد کمتر از ۰/۱ درصد وزنی تا کمتر از ۱۰۰۰ ppm حضور داشته و غلظتشان به صورت قسمت در میلیون(ppm) بیان می شود. این عناصر در جدول تناوبی به چند گروه تقسیم بندی می شوند. یک گروه از آنها به عناصر کمیاب خاکی یا لانتانیدها معروف بوده و عناصری با اعداد اتمی ۵۷ تا ۷۱ (La تا Lu) را شامل می شوند. عناصری از این گروه که دارای عدد اتمی پایین هستند، عناصر کمیاب خاکی سبک(LREE) عناصری که دارای عدد اتمی بالا هستند، عناصر کمیاب خاکی سنگین(HREE) و به عناصر میانی(Sm تا Ho) عناصر کمیاب خاکی متوسط(MREE) می گویند.

#### ۴-۳-۱- استفاده از نتایج تجزیه های شیمیایی عناصر اصلی نمونه های مورد مطالعه در رده بندی و نامگذاری شیمیایی آنها

به منظور رده بندی و نامگذاری شیمیایی سنگهای گرانیتوبئیدی منطقه مورد مطالعه از رده بندی های شیمیایی مختلف استفاده شده است که این رده بندی ها عبارتند از: در طبقه بندی نورماتیو از رده بندی اکانز(۱۹۶۵) و در رده بندی شیمیایی از رده بندی کاکس و همکاران(۱۹۷۹)، دبون و لوفور(۱۹۸۳)، میدلموست(۱۹۸۵)، استفاده شده است که هر کدام را به طور مجزا مورد بحث قرار می دهیم.

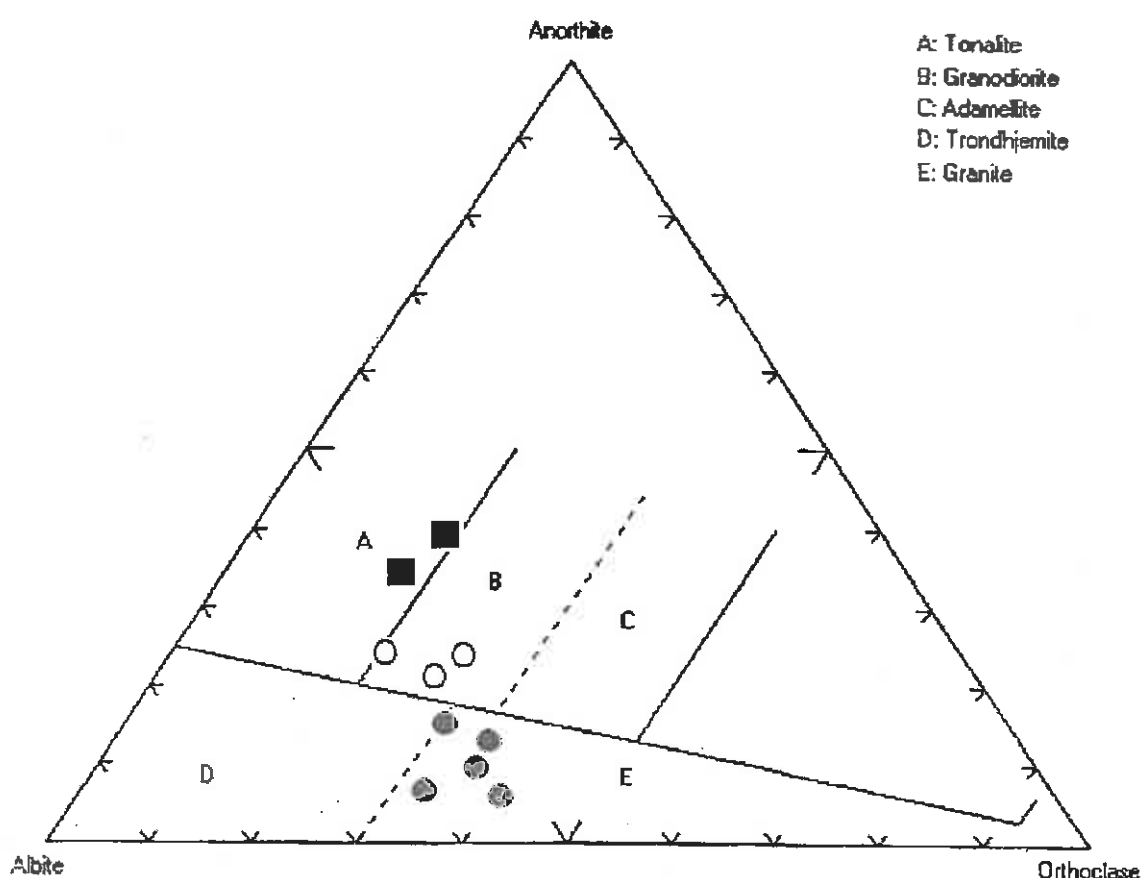
## الف- طبقه‌بندی براساس ترکیب نورماتیو

محاسبه نورم روشی است که تشکیل کانی را از طریق تجزیه شیمیایی میسر ساخته و در زمینه طبقه‌بندی سنگها، یک روش مجازی است. نورم CIPW روش خیلی معمولی محاسباتی بوده و در اوایل قرن بیستم توسط سه پترولولژیست به نامهای کراس، ایدینگز و پرسون و یک ژئوشیمیست به نام واشینگتن ابداع شد و از این رو به طور مخفف CIPW نامیده می‌شود.

در این طبقه‌بندی، نورم سنگها یعنی ترکیب کانی‌شناسی مجازی سنگ که بر اساس نتایج آنالیزهای شیمیایی محاسبه می‌گردد، مبنای رده‌بندی قرار می‌گیرد.

### - رده‌بندی نورماتیو آکانر (۱۹۶۵)

آکانر (۱۹۶۵)، بارکر (۱۹۷۹) و عبدالرحمن (۱۹۹۰)، گرانیتوئیدها را با استفاده از دیاگرام مثلثی آلبیت - ارتوز - آنورتیت نورماتیو طبقه‌بندی نموده‌اند (شکل ۱-۴). این طبقه‌بندی در مورد سنگهایی که بیش از ۱۰ درصد کوارتز نورماتیو دارند، به کار برده می‌شود. مطابق این رده‌بندی سنگهای گرانیتوئیدی مورد مطالعه در محدوده‌های توپالیت، گرانودیوریت و گرانیت قرار می‌گیرند.



شکل ۱-۴- نمودار مثلثی An-Ab-Or (اوکانر، ۱۹۶۵) جهت تعیین موقعیت ترکیبی سنگهای سازنده توده گرانیتوئیدی چشمهدید.

## ب- طبقه بندی شیمیایی

در این روش با استفاده از نتایج حاصل از تجزیه شیمیایی عناصر اصلی سنگهای آذرین را طبقه بندی می‌نمایند علاوه بر این استفاده از نسبت‌های کاتیونی نیز برای طبقه بندی معمول است.

### - طبقه بندی کاکس و همکاران (۱۹۷۹)

در این طبقه بندی مجموع آلکالن ( $\text{Na}_2\text{O} + \text{K}_2\text{O}$ ) در محور قائم وسیلیس در محور افقی آورده شده است. محدوده سنگهای مختلف در دیاگرام مشخص شده و قلمرو سنگهای ساب آلکالن از آلکالن مجزا گردیده است. با توجه به این دیاگرام سنگهای گرانیت‌وئیدی مورد مطالعه در محدوده‌های دیبوریت، کوارتزدیبوریت، گرانودیبوریت و گرانیت قرار می‌گیرند (شکل ۴-۲).

### - طبقه بندی دیبون و لوفور (۱۹۸۳)

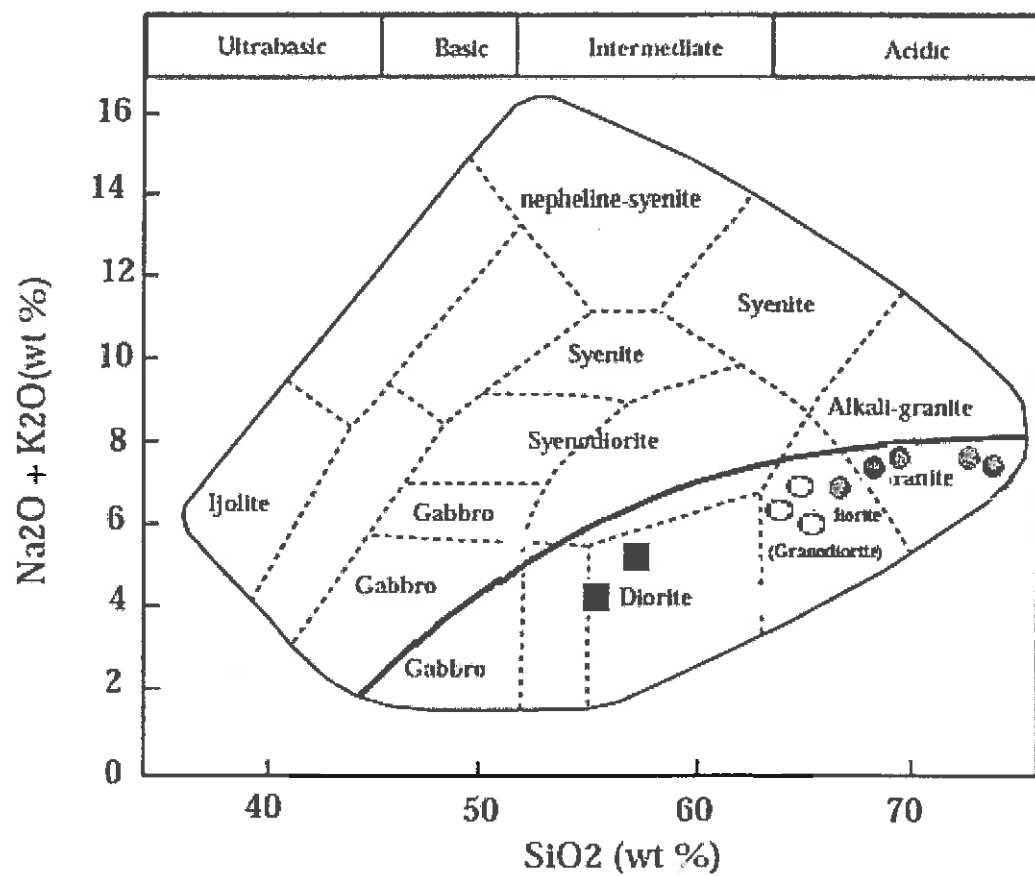
در این رده بندی از پارامترهای Q، P استفاده می‌شود. این پارامترها از طریق معادلات زیر بدست می‌آیند و در آنها از مقادیر میلی‌کاتیونی عناصر استفاده می‌شود.

$$Q = (\text{Si}/3) - (\text{K} + \text{Na} + 2/3\text{Ca})$$
$$P = \text{K} - (\text{Na} + \text{Ca})$$

با توجه به نمودار Q در مقابل P ارائه شده در شکل (۳-۴) نمونه‌های مورد مطالعه در محدوده‌های کوارتزدیبوریت، کوارتز مونزو دیبوریت، گرانودیبوریت و آداملیت قرار می‌گیرند.

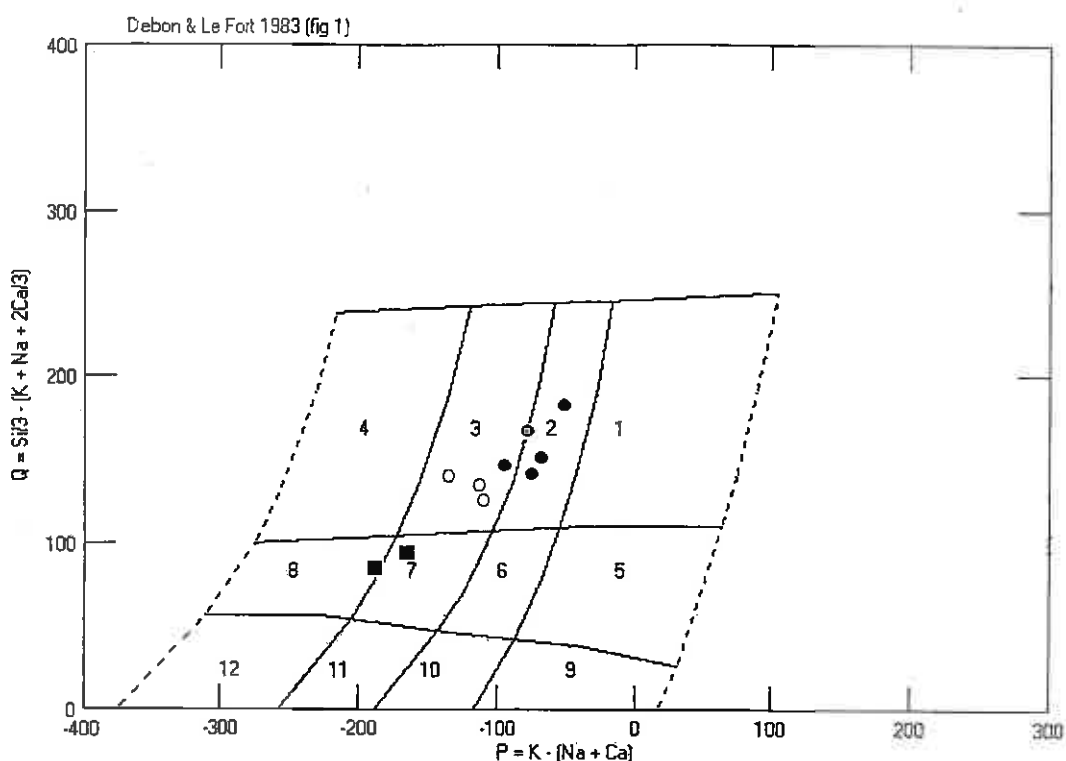
### - طبقه بندی شیمیایی میدلموست (۱۹۸۵)

در دیاگرام میدلموست همانند دیاگرام کاکس و همکاران مجموع آلکالن در محور قائم وسیلیس در محور افقی آورده شده است. ولی تقسیمات داخلی و فرم کلی آنها متفاوت است. نمونه‌های مورد مطالعه در دیاگرام میدلموست در محدوده‌های کوارتزدیبوریت، گرانیت و گرانودیبوریت قرار می‌گیرند (شکل ۴-۴).



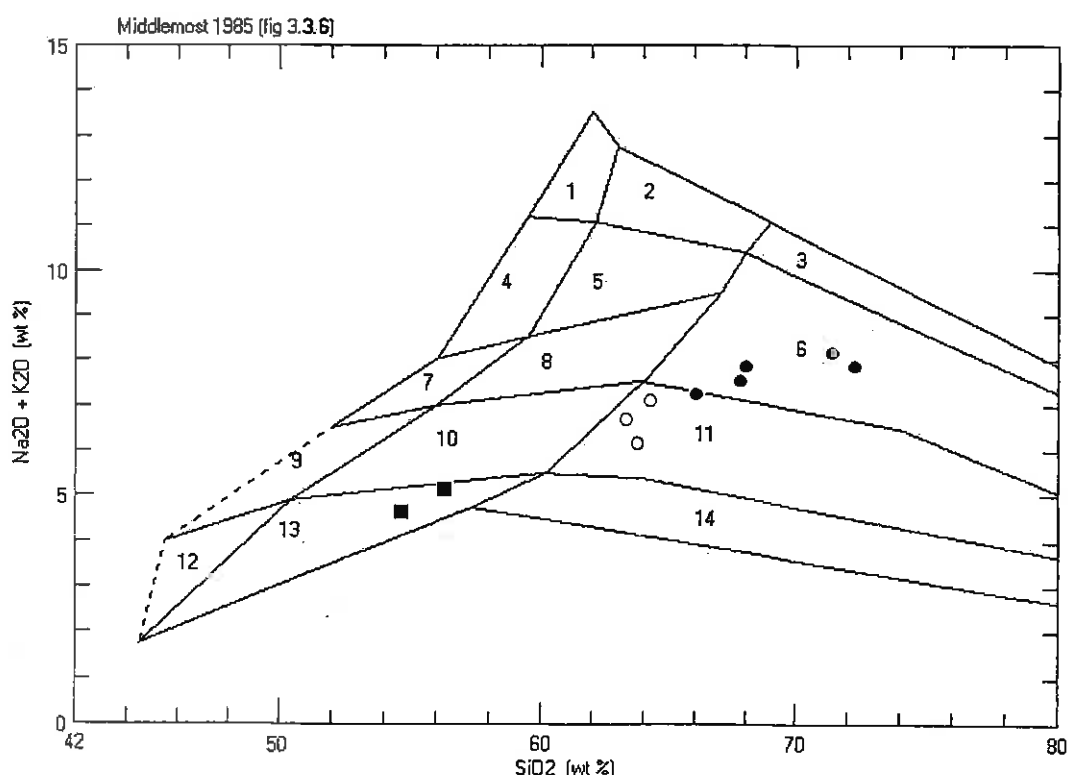
شکل ۴-۲- ردیبندی شیمیایی کاکس و همکاران (۱۹۷۹)

- گرانیت
- گرانودیوریت
- دیوریت



شکل ۳-۴- رده‌بندی شیمیایی دیون و لوپور (۱۹۸۳). محدوده‌های به کار برده شده به ترتیب معرف سنگهای زیر می‌باشند: ۱- گرانیت، ۲- آداملیت، ۳- گرانودیوریت، ۴- تونالیت، ۵- کوارتز سیینیت، ۶- کوارتز مونزونیت، ۷- کوارتز‌مونزونودیوریت، ۸- سیینیت، ۹- مونزونیت، ۱۰- مونزوگابرو، ۱۱- گابرو.

دیوریت     
  گرانودیوریت     
  گرانیت



شکل ۴-۵- رده‌بندی شیمیایی میدلموست (۱۹۸۵) برای سنگهای سازنده توده گرانیتوئیدی چشمگیر است. محدوده‌های شماره گذاری شده به ترتیب عبارتند از: ۱- آکالی فلدسپار سیینیت، ۲- آکالی فلدسپار کوارتز‌سیینیت، ۳- آکالی فلدسپار گرانیت، ۴- سیینیت، ۵- گرانیت، ۶- مونزونیت، ۷- کوارتز‌مونزونیت، ۸- مونزونودیوریت، ۹- گرانودیوریت، ۱۰- کوارتز‌مونزونودیوریت، ۱۱- گابرو، ۱۲- دیوریت و گابرو، ۱۳- کوارتز‌دیوریت، ۱۴- کوارتز.

دیوریت     
  گرانودیوریت     
  گرانیت

#### ۴-۳-۲- استفاده از نتایج تجزیه‌های شیمیایی عناصر اصلی نمونه‌های مورد مطالعه در بررسی روندهای تغییرات آنها

بررسی تغییرات ژئوشیمیایی بین سنگهای آذرین یک ناحیه که از نظر زمین شناختی به هم مرتبط هستند و همچنین روابط پتروژئوئیکی بین این سنگها نیازمند استفاده از دیاگرامهای تغییرات شیمیایی است. در این دیاگرامها به سادگی اختلافات و روندهای تغییرات ترکیب شیمیایی موجود در سنگها که ناشی از تبلور، ذوب بخشی و تحولات ماقمایی است نشان داده می‌شود.

به منظور بررسی ژئوشیمی توده گرانیتوئیدی زاهدان ابتدا از نمودارهای ساده هارکر (۱۹۰۹) استفاده می‌کنیم و تغییرات برخی از اکسیدهای عناصر اصلی و عناصر فرعی را در مقابل تغییرات  $\text{SiO}_2$  مورد بررسی قرار می‌دهیم. با توجه به روند تغییرات دیاگرامهای هارکر می‌توان به فرایندها و تحولاتی نظیر ذوب بخشی، تبلور تفریقی، اختلاط ماقمایی و آلودگی پوسته‌ای که در تشکیل یا تبلور ماقمها صورت می‌گیرند، پی برد (ولیسون، ۱۹۸۹). روندهای پیوسته تغییرات اکسیدهای عناصر اصلی را می‌توان به عنوان شاهدی بر روند تحول شیمیایی ماقما در نظر گرفت.

نمودارهای هارکر گرانیتها و گرانودیوریتها در شکل (۴-۵) نشان داده شده‌اند. در نگاه اول مشاهده می‌کنیم که گرانیتها نسبت به گرانودیوریتها از  $\text{SiO}_2$  غنی‌تر هستند. ولی از آنجایی که شواهد صحرایی دال بر قدیمی‌تر بودن گرانیتها نسبت به گرانودیوریتها می‌باشد (گرانیتها توسط گرانودیوریتها قطع می‌شوند یا به عبارت بهتر دایکهایی با ترکیب گرانودیوریتی، گرانیتها را قطع می‌کنند)، لذا این پدیده را نمی‌توان به پدیده تبلور تفریقی نسبت داد.

ضمناً با استفاده از نتایج تجزیه‌های شیمیایی دایکهای (صادقیان، ۱۳۸۳)، دریافتیم که همواره بین دیوریتها و آنکلاؤهای آندزیتی - داسیتی منطقه مورد مطالعه روابط منشائی نزدیکی وجود دارد. با توجه به نمودارهای ارائه شده در شکل (۴-۶)، می‌توان چنین نتیجه گرفت که دایکهای داشتند که در آشیانه ماقمایی تفریق یافته‌اند.

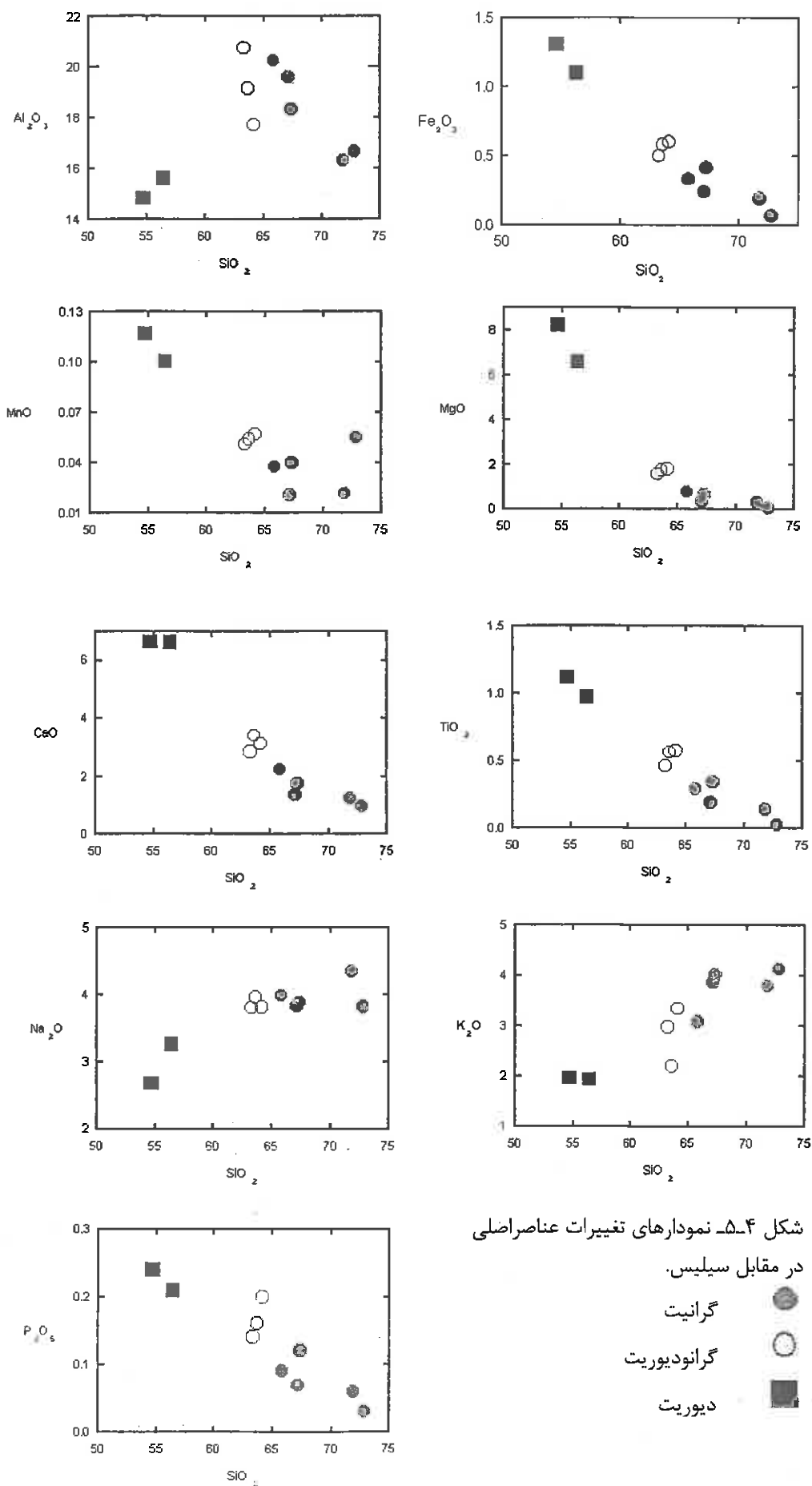
##### الف - بررسی روندهای تغییرات عناصر اصلی در گرانیتوئیدها

در شکل (۴-۵) نمودارهای هارکر اکسیدهای عناصر اصلی گرانیتوئیدهای نمایش گذاشته شده‌اند. نگاهی به این نمودارها نشان می‌دهد که بین دیوریتها و گرانیتها - گرانودیوریتها وقفه ترکیبی قابل ملاحظه‌ای وجود دارد. با توجه به شواهد صحرایی، پتروگرافی و بررسی‌هایی که در بخش‌های آتی ارائه خواهد شد درمی‌یابیم که دیوریتها دارای منشأ گوشه‌ای و از نوع I می‌باشند، در حالیکه گرانیتها و گرانودیوریتها دارای منشأ پوسته‌ای و از نوع S هستند. بنابراین تصور یک فرایند تفریقی از سمت دیوریتها به سمت گرانیتها کاملاً اشتباه می‌باشد. دیوریتها به دلیل کم بودن تعداد آنالیزها و عدم تنوع ترکیبی، تغییرات ژئوشیمیایی خاصی نشان نمی‌دهند، لذا بحث خود را بیشتر بر روی بررسی گرانیتها و گرانودیوریتها متمرکز می‌کنیم.

در نمودار  $\text{Al}_2\text{O}_3/\text{SiO}_2$  با افزایش  $\text{SiO}_2$  مقدار  $\text{Al}_2\text{O}_3$  کاهش می‌یابد، این امر با کاهش سهم پلازیوکلازها و گرایش‌ها کانیهای روشن به سمت تشکیل فلدسپارهای سدیک و پتاسیک سازگار

است. در نمودار  $\text{Fe}_2\text{O}_3/\text{SiO}_2$  روند نزولی محسوسی مشاهده می‌شود که با کاهش مقدار بیوتیت، هورنبلند و ایلمنیت در این گرانیت‌ها متناسب است. در نمودارهای  $\text{MgO}/\text{SiO}_2$ ،  $\text{TiO}_2/\text{SiO}_2$  و  $\text{MnO}/\text{SiO}_2$  با افزایش  $\text{SiO}_2$  مقدار اکسیدهای مزبور کاهش می‌یابد، این اکسیدها در ترکیب بیوتیت، ایلمنیت و اسفن جای می‌گیرند و کاهش آنها از کاهش فراوانی این کانیها در سنگها گرانیتی ناشی می‌شود. کاهش مقدار  $\text{CaO}/\text{SiO}_2$  در نمودار  $\text{SiO}_2$  با افزایش  $\text{CaO}$  نیز با افزایش ترکیب پلاژیوکلازها به سمت ترکیبات دارای آنورتیت کمتر و آلبیت بیشتر سازگار است. کاهش مقدار  $\text{P}_2\text{O}_5$  با افزایش  $\text{SiO}_2$ ، در نمودار  $\text{P}_2\text{O}_5/\text{SiO}_2$  با کاهش مقدار آپاتیت در سنگهای تفریق یافته قابل توجیه است.

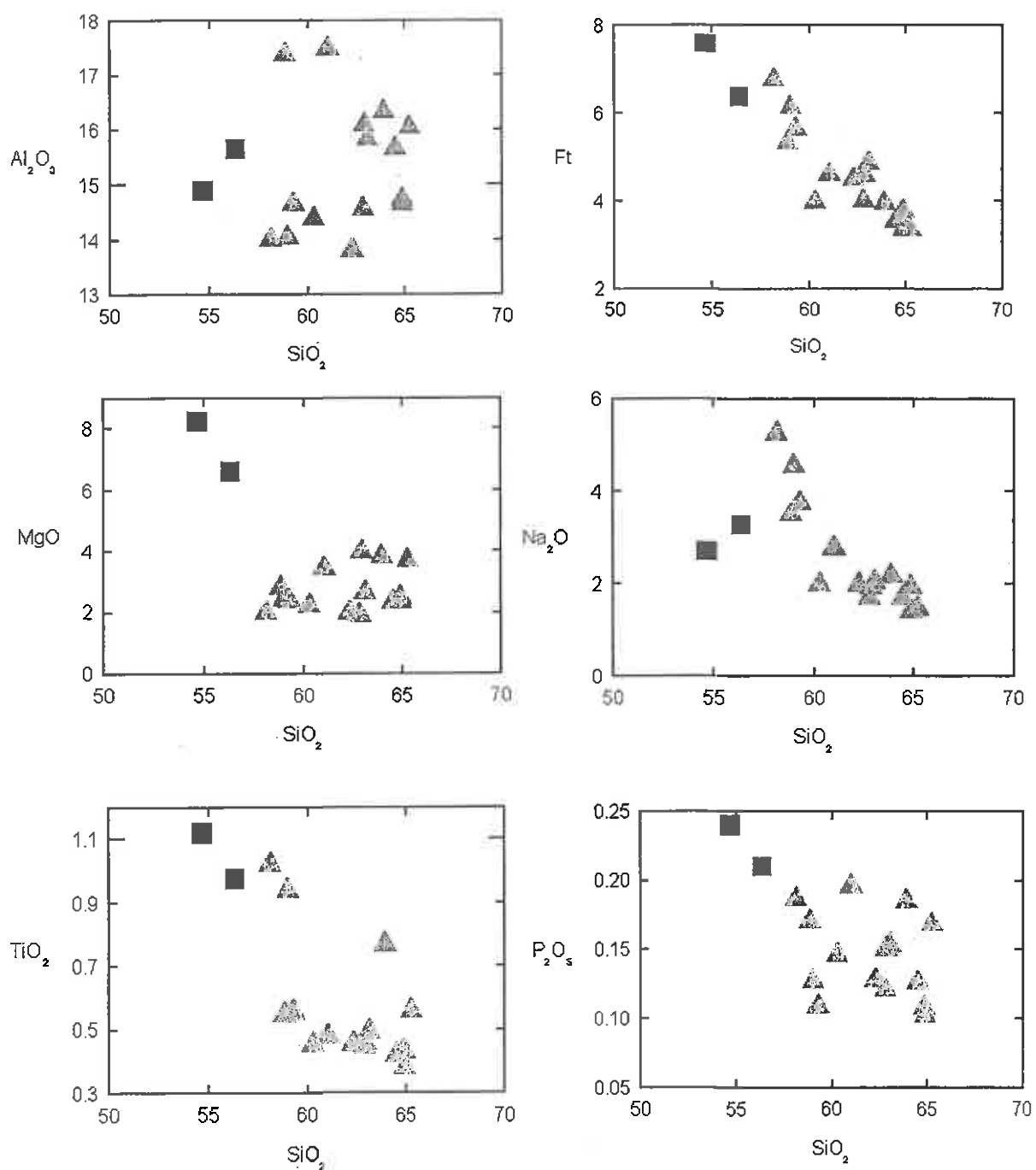
کاهش اندک  $\text{Na}_2\text{O}$  و افزایش بارز  $\text{K}_2\text{O}$  در نمودارهای  $\text{Na}_2\text{O}/\text{SiO}_2$  و  $\text{K}_2\text{O}/\text{SiO}_2$  با تبلور کمتر پلاژیوکلازها و افزایش تبلور فلدسپار پتاسیم سازگار است. وفور مگاکریستلهای ارتوکلاز در بیوتیت گرانیت شاهدی بر این مدعای می‌باشد. در مجموع تبلور تفریقی محدود ولی محسوس در ترکیب گرانیت‌ها مشاهده می‌شود. غنی‌تر بودن گرانیت‌ها از  $\text{K}_2\text{O}$  با شواهد گستردۀ ذوب‌بخشی میکاشیستها و گارنت‌میکاشیستها و احتمال تشکیل گرانیت‌ها از طریق ذوب بخشی سنگهای دگرگونی متاپلیتی یا سنگهای قاعده پوسته سازگار است. حضور فراوان آنکلاوهای دارای ماهیت دگرگونی در گرانیت‌ها و عدم وجود آنکلاوهای میکروگرانولار مافیک می‌تواند شاهد دیگری بر این مدعای باشد.



شکل ۴-۵- نمودارهای تغییرات عناصر اصلی  
در مقابل سیلیس.  
 گرانیت  
 گرانودیوریت  
 دیوریت

### ب - بررسی روندهای تغییرات عنصر اصلی در دایکهای آندزیتی - داسیتی

حال به بررسی تغییرات ترکیب شیمیایی دایکها(شکل ۴-۶) می پردازم. نمودار  $\text{Al}_2\text{O}_3/\text{SiO}_2$  نشان می دهد که در دایکها مقدار  $\text{Al}_2\text{O}_3$  تغییرات چندانی نشان می دهد. در نمودارهای  $\text{SiO}_2/\text{P}_2\text{O}_5$ ,  $\text{TiO}_2/\text{SiO}_2$ ,  $\text{MgO}/\text{SiO}_2$ ,  $\text{Fe}_2\text{O}_3/\text{SiO}_2$  مقادیر اکسیدهای مذکور کاهش می یابد این امر با کاهش مقادیر هورنبلند، کانپهای اوپاک و گرایش پلاژیوکلازها به سمت ترکیبات با درصد  $\text{An}$  کمتر مطابقت می نماید. در نمودار  $\text{Na}_2\text{O}/\text{SiO}_2$  روند صعودی بارزی مشاهده می شود. در مجموع این تحولات بیانگر آنست که ماغمای سازنده دایکها از ترکیبات آندزیتی به سمت ترکیبات داسیتی تحول یافته اند. بطور کلی می توان چنین نتیجه گرفت که دایکها بخش تفریق یافته دیوریتها هستند که در آشیانه ماغمایی تفریق یافته اند.



شکل ۴-۶. نمودارهای تغییرات عناصر اصلی در مقابل سیلیس.

دایک  
دبوریت

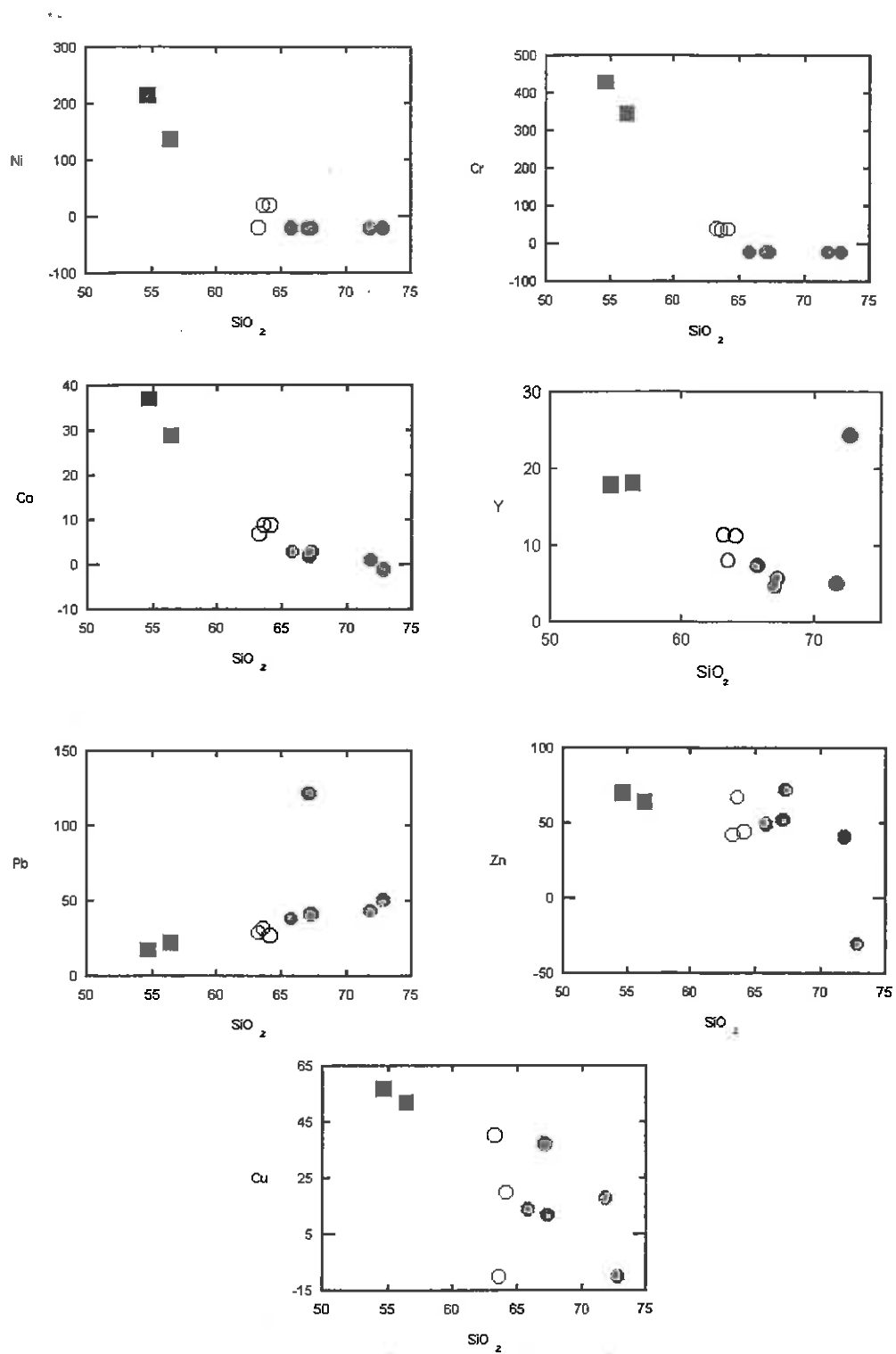
### ۴-۳-۳- استفاده از نتایج تجزیه‌های شیمیایی در بررسی تغییرات برخی از عناصر فرعی و خاکی نادر

در اینجا تغییرات برخی از عناصر فرعی و خاکی نادر را برای کل مجموعه سنگهای تشکیل دهنده توده گرانیتوئیدی چشمه‌بید، در قالب نمودارهای هارکر مورد بررسی قرار می‌دهیم. در نمودارهای نشان دهنده تغییرات عناصر انتقالی پایه نظیر  $\text{Y}$ ,  $\text{Co}$ ,  $\text{Cr}$ ,  $\text{Ni}$  در مقابل  $\text{SiO}_2$  (شکل ۴-۷) به وضوح مشاهده می‌کنیم که به سمت گرانیت‌ها و گرانودیوریت‌ها مقادیر این عناصر روند نزولی وجود دارد و مقادیر این عناصر به سرعت کاهش می‌یابد. این موضوع با کاهش کانیهای آهن و منیزیم، تحول یافته‌گی و تفرقی مagmaهای سازنده این سنگها سازگار است.

در نمودار  $\text{Pb}/\text{SiO}_2$  (شکل ۴-۷) با افزایش  $\text{SiO}_2$  مقدار  $\text{Pb}$ ، افزایش می‌یابد، این افزایش در گرانودیوریت‌ها و بطور خاص در گرانیت‌ها بارز است. این ویژگی با حضور و فراوانی کانیهای پتاسیم‌دار نظیر بیوتیت و ارتوز در ارتباط می‌باشد.

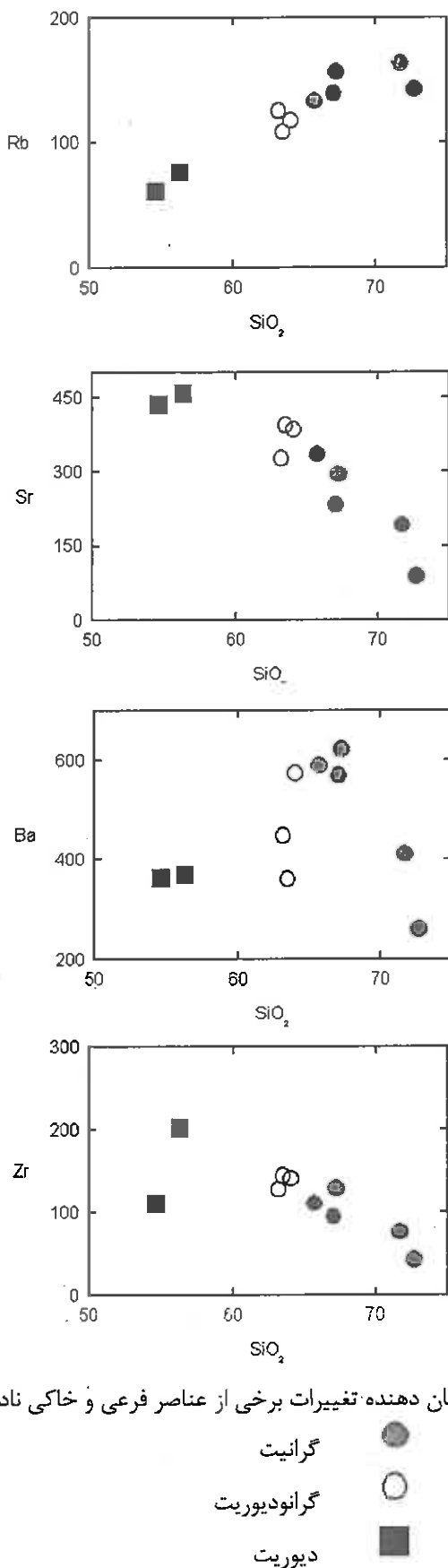
در نمودار  $\text{Zn}/\text{SiO}_2$  (شکل ۴-۷)، روند نزولی کم شیبی دیده می‌شود. در نمودار  $\text{Cu}/\text{SiO}_2$  (شکل ۴-۷) از دیوریت‌ها و کوارتزدیوریت‌ها مقدار مس به سرعت کاهش می‌یابد (مقدار مس به نصف یا کمتر کاهش یافته است). کاهش مقادیر مس و روی با کاهش فراوانی هورنبلند و بیوتیت در ارتباط می‌باشد. در نمودار  $\text{Rb}/\text{SiO}_2$  (شکل ۴-۸)، با افزایش  $\text{SiO}_2$  مقدار  $\text{Rb}$  افزایش می‌یابد و روند صعودی بسیار بارزی نشان می‌دهد و در گرانیت‌ها به اوج خود می‌رسد. افزایش  $\text{Rb}$  با افزایش کانیهای حاوی  $\text{K}$  نظیر بیوتیت و ارتوز سازگار است. نکته جالب آنست که برای  $\text{K}_2\text{O}/\text{SiO}_2$  (شکل ۵-۵) نیز روند مشابهی وجود دارد. در نمودار  $\text{Sr}/\text{SiO}_2$  (شکل ۴-۸) با افزایش مقدار  $\text{Sr}$ ، در مجموع روند نزولی مشاهده می‌شود ولی در گرانیت‌ها و گرانودیوریت‌ها محسوس‌تر است چون تبلور تفریقی و گذر از پلاژیوکلازهای با آنورتیت بیشتر به آنورتیت کمتر در این سنگها ملموس‌تر است.

در نمودار  $\text{Ba}/\text{SiO}_2$  (شکل ۴-۸) با افزایش  $\text{SiO}_2$ ، مقدار  $\text{Ba}$  افزایش می‌یابد. زیرا عناصر  $\text{Ba}$  یا  $\text{K}$  سازگار است و با افزایش  $\text{K}_2\text{O}$  یا به عبارتی تبلور بیوتیت و ارتوز مقدار  $\text{Ba}$  افزایش می‌یابد. در نمودار  $\text{Y}$  در مقابل  $\text{SiO}_2$  (شکل ۴-۷)، تقریباً روند یکنواختی مشاهده می‌شود ولی در گرانیت‌ها افزایش  $\text{Y}$  محسوس‌تر است و در بعضی موارد به بیش از ۲ برابر مقدار آن در سایر سنگها می‌رسد. این امر با حضور گسترده آلانیت و گاهی اوقات مونازیت در گرانیت‌ها سازگار است. در نمودار  $\text{Zr}/\text{SiO}_2$  (شکل ۴-۸) با افزایش  $\text{SiO}_2$  مقدار  $\text{Zr}$  افزایش می‌یابد و روند صعودی بارزی نشان می‌دهد، به ویژه در گرانیت‌ها و گرانودیوریت‌ها. این امر با حضور گسترده زیرکن در سنگهای مذکور متناسب می‌باشد.



شکل ۴ - ۷ - نمودارهای هارکر نشان دهنده تغییرات برخی از عناصر فرعی و خاکی نادر در مقابل سیلیس.

گرانیت  
گرانودیوریت  
دیوریت



شکل ۴ - ۸ - نمودارهای هارکر نشان دهنده تغییرات برخی از عناصر فرعی و خاکی نادر در مقابل سیلیس.

گرانیت

گرانودیوریت

دیوریت

#### ۴-۳-۴- نمایش داده‌های عناصر کمیاب بصورت نمودارهای عنکبوتی

معمولًاً غلظت عناصر کمیاب خاکی در سنگها نسبت به استاندارد خاصی که معمولاً متغیر است، کندریتی است، هنجارمی‌شوند. دلیل انتخاب متغیری‌تها کندریتی، نیز این است که تصور می‌شود، این‌گونه متغیری‌تها نمونه‌هایی از منظومه شمسی هستند که بعد از تشکیل تا کنون نسبتاً تفکیک نشده باقی مانده‌اند. هنجار کردن نسبت به کندریت از دو جنبه دلایل اهمیت است:

یکی به دلیل برطرف شدن تغییرات فراوانی عناصر با عدد اتمی زوج و فرد و دیگر اینکه هرگونه جدایش و تفکیکی که از عناصر کمیاب نسبت به کندریت‌ها صورت گرفته باشد به آسانی قابل تشخیص است. همچنین باید مذکور شد که چون عناصر کمیاب خاکی با عدد اتمی زوج پایدارتر و فراوانتر از عناصر کمیاب با عدد اتمی فرد هستند، در نتیجه در نمودار ترکیب فراوانی، الگوی زیگزاگ از خود نشان می‌دهند.

از دیگر نمودارهای عنکبوتی، نمودارهای عنکبوتی هنجارشده نسبت به گوشه اولیه است. گوشه اولیه در حقیقت ترکیب گوشه قبل از تشکیل پوسته قاره ای است. در این نوع نمودارها ۱۹ عنصر بر اساس افزایش سازگاری و متناسب با درصد کم مذااب گوشه آرایش یافته‌اند.

یکی دیگر از نمودارهای عنکبوتی که مخصوص گرانیتوئیدهاست نمودارهای عنکبوتی هنجارشده نسبت به گرانیتها پشته اقیانوسی (ORG) است. در این نمودارها ۱۲ عنصر بر اساس افزایش سازگاری آرایش یافته‌اند.

نمودارهای عنکبوتی به کار رفته برای نمونه‌های منطقه مورد مطالعه، به شرح زیر می‌باشند:

- نمودار عنکبوتی عناصر کمیاب خاکی (REE) هنجار شده به مقادیر کندریتی (تامپسون، ۱۹۸۲).
- نمودار عنکبوتی چند عنصری هنجار شده نسبت به گوشه اولیه (سان و مک دونوف، ۱۹۸۹).

#### الف - نمودار عنکبوتی بهنجار شده به کندریت (تامپسون، ۱۹۸۲)

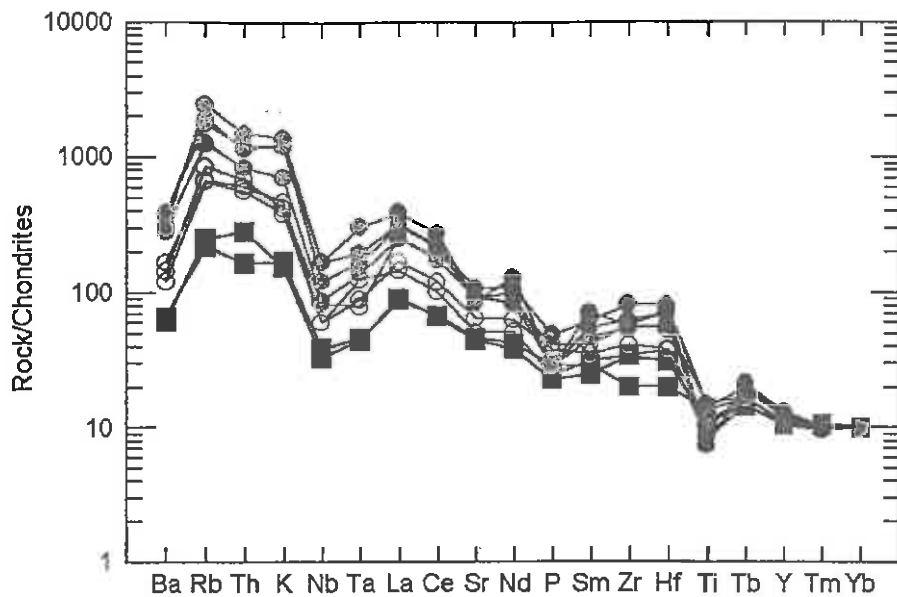
دیاگرام عنکبوتی بهنجار شده به کندریت نمونه‌ها، خاکی از غنی شدگی آنها از عناصر ناسازگار و کمیاب سبک همچون Rb, Ba, Th, U, K, La, Sr و تهی شدگی آنها از عناصر سازگار و کمیاب سنگین همچون Ta, Nb, Ti, Y می‌باشد. اگر چه دیوریتها نیز از عناصر ناسازگار و کمیاب سبک تا حدودی غنی شده اند ولی در مقایسه با گرانیتها غنی شدگی کمتری نشان می‌دهند.

غنی شدگی گرانیتها از عناصر ناسازگار و کمیاب سبک و تهی شدگی از عناصر سازگار و کمیاب سنگین حاکی از منشأ پوسته‌ای آنها و عکس این روند در دیوریتها حاکی از منشأ گوشه‌ای آنهاست (شکل ۹-۴).

### ب - نمودار عنکبوتوی بهنجار شده به گوشه (سان و مک دونوف، ۱۹۸۹)

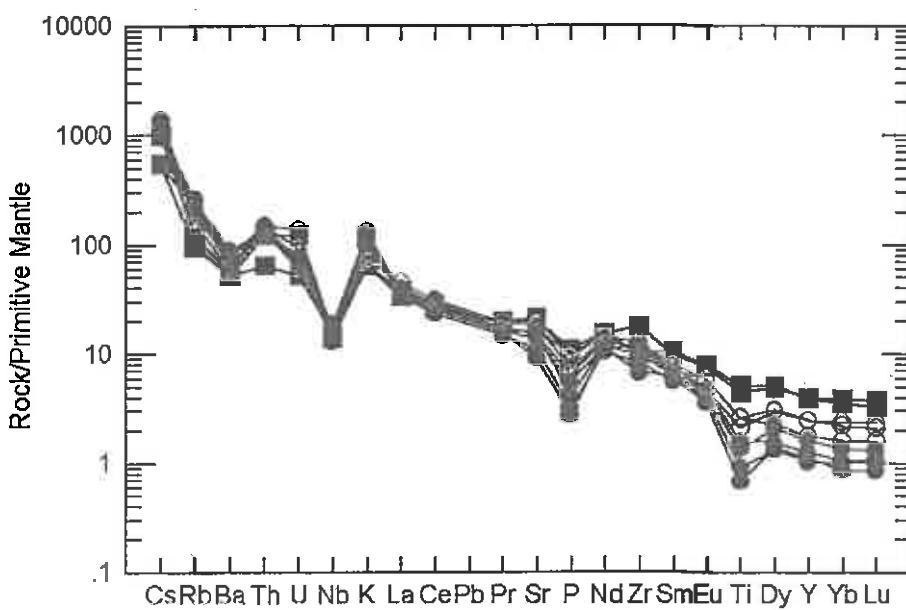
دیاگرام عنکبوتوی بهنجار شده به گوشه نمونه‌ها، حاکی از غنی شدگی آنها از عناصر ناسازگار و کمیاب سبک همچون Cs, Rb, Ba, Th, U, K, La, Sr و تهی شدگی آنها از عناصر سازگار و کمیاب سنگین همچون Ta, Nb, Ti, Y می‌باشد. اگر چه دیوریتها نیز از عناصر ناسازگار و کمیاب سبک تا حدودی غنی شده اند ولی در مقایسه با گرانیتها غنی شدگی کمتری نشان می‌دهند.

غنی شدگی گرانیتها از عناصر ناسازگار و کمیاب سبک و تهی شدگی از عناصر سازگار و کمیاب سنگین حاکی از منشأ پوسته‌ای آنها و عکس این روند در دیوریتها حاکی از منشأ گوشه‌ای آنهاست (شکل ۴-۱۰).



شکل ۹-۴- دیاگرام عنکبوتی بهنجار شده به کندریت(تامپسون، ۱۹۸۲).

گرانیت  
گرانودیوریت  
دیوریت



شکل ۹-۵- دیاگرام عنکبوتی بهنجار شده به گوشته(سان و مک دونوف، ۱۹۸۹).

گرانیت  
گرانودیوریت  
دیوریت

## ج - نمودار عنکبوتوی مقایسه‌ای = باتولیت Seria Nevada در کالیفرنیا

این باتولیت که نمونه‌ای از فرو رانش پوسته اقیانوسی به زیر پوسته قاره‌ای می‌باشد، به منظور مقایسه با گرانیتهای مورد مطالعه انتخاب شده است.

باتولیت Seria Nevada با داشتن ترکیب سنگ‌شناسی گرانیت، گرانودیوریت و مقادیر کمی سنگ‌های مافیک‌تر و همچنین داشتن سنگ میزبانی مشکل از سنگ‌های رسوی و دگرگونی با باتولیت زاهدان (که گرانیت چشم‌بید بخش جنوب‌شرقی این باتولیت را تشکیل می‌دهد) از تشابه بسیار زیادی برخوردار می‌باشد. همچنین نمودارهای عنکبوتوی رسم شده برای سنگ‌های باتولیت Seria Nevada با نمودارهای عنکبوتوی ترسیم شده برای نمونه‌های منطقه مورد مطالعه قابل مقایسه بوده و شبههای ژئوشیمیایی بارزی بین گرانیتهای مورد مطالعه با باتولیت مذکور وجود دارد (شکلهای ۱۱-۴ و ۱۲-۴). همانگونه که در نمودارها مشاهده می‌شود، نمونه‌های مورد مطالعه و نمونه‌های باتولیت Seria Nevada هر دو غنی شدگی از عناصر ناسازگار و کمیاب سبک و تهی شدگی از عناصر سازگار و کمیاب سنگین را نشان می‌دهند.

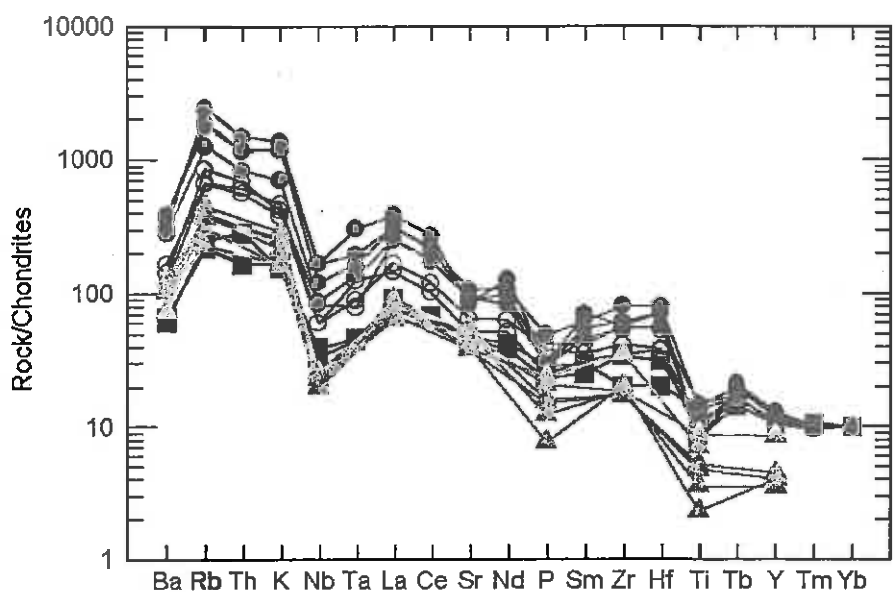
نتایج تجزیه‌شیمیایی سنگ‌های منطقه Seria Nevada در جدول (۳-۴) آرائه شده است.

در نتیجه‌گیری ذکر شده (صفحه ۳۸۴ کتاب Best Igneous Petrology 2003)، چنین آمده است که ماغماهای بازالتی مشتق شده از گوشه به درون پوسته تحتانی راه یافته و در آنجا مستقر گردیده، گرمای ناشی از وجود این ماغماهای بازالتی منجر به ذوب بخشی قابل ملاحظه‌ای از سنگ‌های سیالیک پوسته تحتانی شده است، مواد ذوب شده که دارای ترکیبی معادل گرانیت بوده‌اند با ماغماهای بازالتی مخلوط شده و در مجموع طی فرایند تبلور تفریقی همراه با هضم طیف گسترده‌ای از ترکیبات ماغمایی را بوجود آورده که پس از راه‌یابی به ترازهای بالاتر پوسته به صورت باتولیتهای گرانیتی و گرانودیوریتی رخنمون پیدا کرده‌اند.

بررسیهای صحرایی و ژئوشیمیایی گرانیتهای چشم‌بید نشان می‌دهد که تشابه زیادی با موارد ذکر شده در Seria Nevada وجود دارد و می‌توان نحوه تشکیل مشابهی را برای گرانیتهای مورد مطالعه تصور نمود.

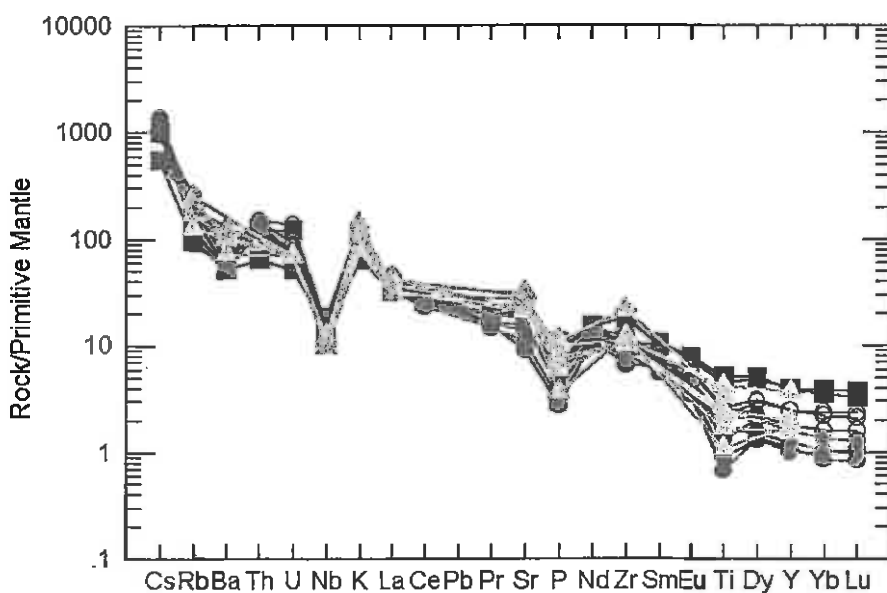
جدول ۴-۳- نتایج تجزیه شیمیابی سنگهای منطقه Seria Nevada

	1	2	3	4	5	6
SiO <sub>2</sub>	(61.52)	58.59	65.61	67.83	69.76	71.65
TiO <sub>2</sub>	(0.73)	0.90	0.54	0.49	0.37	0.24
Al <sub>2</sub> O <sub>3</sub>	(16.48)	16.93	15.44	15.44	15.49	14.87
Fe <sub>2</sub> O <sub>3</sub>		2.26	1.76	1.55	1.24	0.84
FeO	6.18	4.31	2.38	1.44	0.95	0.81
MnO	0.11	0.11	0.80	0.06	0.05	0.04
MgO	(2.80)	3.26	1.80	1.03	0.66	0.38
CaO	(5.42)	6.25	4.10	3.22	2.52	1.87
Na <sub>2</sub> O	3.30	3.53	3.62	4.02	4.33	3.98
K <sub>2</sub> O	2.41	2.38	3.11	3.65	3.72	4.19
P <sub>2</sub> O <sub>5</sub>	(0.25)	0.22	0.16	0.17	0.13	0.08
H <sub>2</sub> O <sup>+</sup>	(1.04)	1.01	0.78	0.61	0.45	0.58
H <sub>2</sub> O <sup>-</sup>	(0.2)	0.14	0.14	0.1	0.09	0.17
Total	100.44	99.89	99.52	99.61	99.76	99.70
Rb	79.8	108	138	129	137	158
Ba	715	720	515	905	740	1170
Th	6.37	16.6	21.8	18	18.4	16.8
U	2.89	4.2	7.4	5.2	8.8	3.8
Nb		8	7	7	8	9
Ta	1.27					
La	30.2	21	23	25	29	26
Ce	53.9	47	38	44	49	49
Sr	452	574	451	658	621	484
Nd	21.7	18	11	13	21	15
Sm	6.12	4	2.5	3	3	2
Zr	241	126	116	119	126	138
Hf	5.23					
Eu	1.52	1	0.7	0.9	0.8	0.6
Tb	0.98	0.7				
Dy	3.41					
Y		18	9	8	7	8
Ho		8	5.5	5	6.6	5.2
Yb	1.77	1.3	1.3	0.6	0.6	0.6
Lu	0.31	0.2	0.17	0.1	0.1	0.1
Cr	22.8	17	9	6	1	<1
Ni	11	11	5	2	2	2
Sc	9.66	16	8	4	3	2



شکل ۱۱-۴- دیاگرام عنکبوتی بهنجار شده به کندریت(تامپسون، ۱۹۸۲).

دیوریت	<span style="color: black;">■</span>	گرانیت	<span style="color: black;">○</span>	نمونه‌های منطقه مورد مطالعه
	<span style="color: black;">■</span>	گرانودیوریت	<span style="color: black;">●</span>	
	<span style="color: black;">■</span>	گرانیت و گرانودیوریت	<span style="color: black;">△</span>	نمونه‌های منطقه Seria Nevada



شکل ۱۲-۴- دیاگرام عنکبوتی بهنجار شده به گوشه(Sان و مک دونوف، ۱۹۸۹).

دیوریت	<span style="color: black;">■</span>	گرانیت	<span style="color: black;">○</span>	نمونه‌های منطقه مورد مطالعه
	<span style="color: black;">■</span>	گرانودیوریت	<span style="color: black;">●</span>	
	<span style="color: black;">■</span>	گرانیت و گرانودیوریت	<span style="color: black;">△</span>	نمونه‌های منطقه Seria Nevada

#### ۴-۴- پترولوزی

در این بخش سعی بر آن است که بر اساس دیاگرامهای متعدد پترولوزیکی ابتدا سری مagmaی سنگهای آذرین نفوذی منطقه چشمبهبید مشخص گردد و سپس درجه اشباع از آلومین آنها مورد بررسی قرار گیرد.

#### ۴-۴-۱- سری magmaی

در آغاز پترولوزیست ها بر این عقیده بودند که تنها دوسری magmaی یعنی تولیتی و آلکالن وجود دارد و سایر سنگها را از مشتقات این دو نوع magma می دانستند که از طریق تبلور بخشی حاصل آمده‌اند. لیکن در حال حاضر مشخص شده است که موضوع پیچیده تر از این بوده، اولاً تحولات magmaی تنها از راه تبلور بخشی کانیها صورت نمی گیرد، ثانیاً سریهای magmaی فقط به این دو نوع magma محدود نیست. به طور کلی امروزه پنج سری magmaی به شرح زیر شناخته شده است(معین وزیری، ۱۳۶۵).

- |                     |               |                 |
|---------------------|---------------|-----------------|
| ج) سری کالکو آلکالن | ب) سری آلکالن | الف) سری تولیتی |
|                     | ه) سری تحولی  | د) سری شوشونیتی |
- به منظور تعیین سری magmaی، دیاگرامهای متعددی توسط پترولوزیست ها ارائه گردیده است. در اینجا با بهره گرفتن از تعدادی از این دیاگرامها به مشخص نمودن magmaی سازنده سنگهای منطقه چشمبهبید می پردازیم.

#### - دیاگرام مجموع آلکالن در مقابل سیلیس(ایروین و باراگار، ۱۹۷۱)

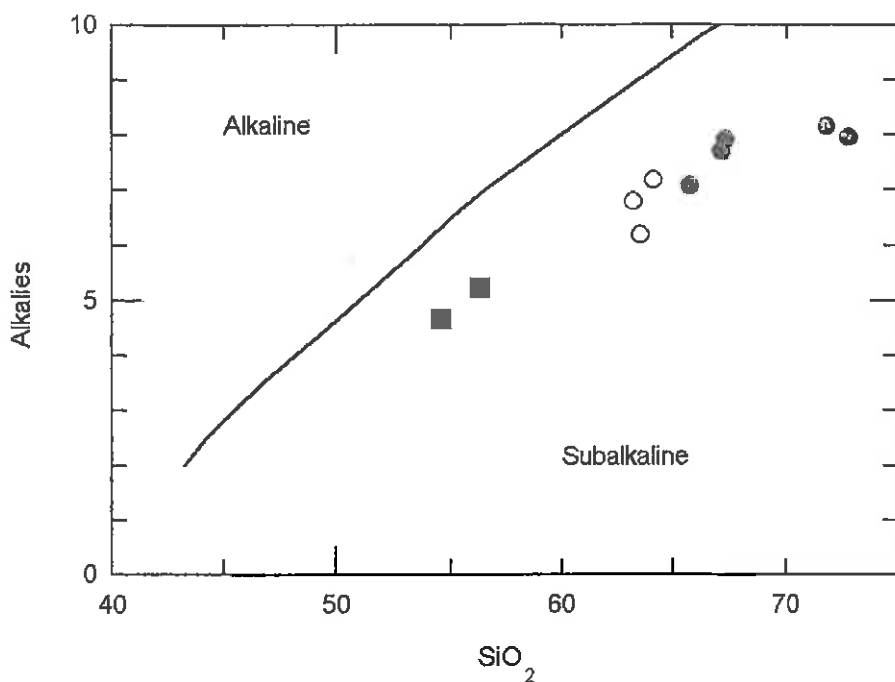
در این دیاگرام مقادیر  $\text{Na}_2\text{O} + \text{K}_2\text{O}$  بر روی محور قائم و مقدار  $\text{SiO}_2$  بر روی محور افقی آورده شده و قلمرو magmaهای مختلف در داخل دیاگرام توسط خطوط منحنی یا مستقیم از هم جدا شده است. این دیاگرام توسط ایروین و باراگار(۱۹۷۱)، ارائه شده است و مطابق این نمودار نمونه‌های مورد مطالعه در قلمرو ساب آلکالن قرار می گیرند(شکل ۱۳-۴).

#### - دیاگرام AFM (ویلسون، ۱۹۱۹)

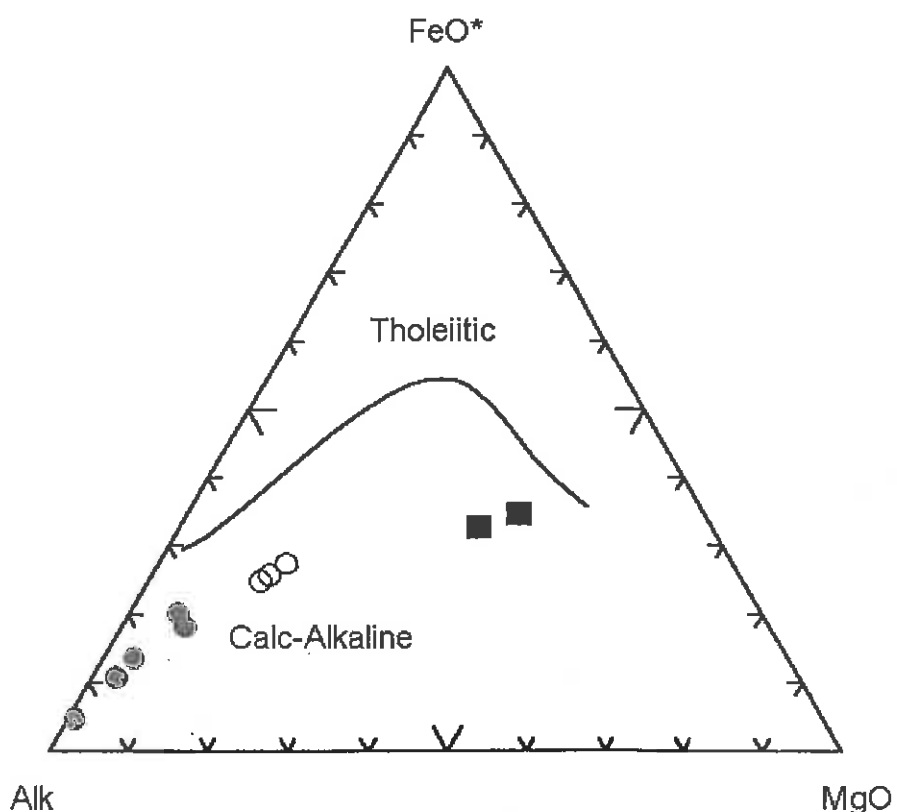
یکی از دیاگرامهای مثلثی معمول نمودار مثلثی AFM است که در آن  $A = \text{Na}_2\text{O} + \text{K}_2\text{O}$  و  $M = \text{MgO}$  و  $F = \text{FeO} + \text{Fe}_2\text{O}_3$  است(شکل ۱۴-۴). این نمودار تغییرات مقدار آهن magma را در طی فرایند تفیریق نشان می دهد. مطابق این دیاگرام تمامی نمونه‌های مورد مطالعه در قلمرو کالکو آلکالن قرار می گیرند.

#### - دیاگرام $\text{FeO} / \text{MgO} / \text{SiO}_2$ در مقابل (میاشیرو، ۱۹۷۴)

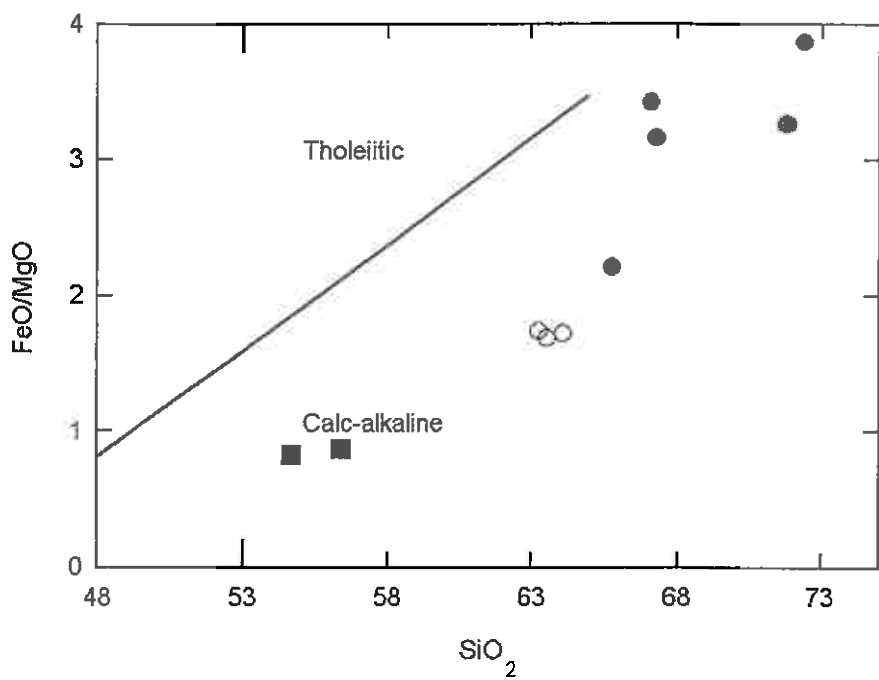
در این دیاگرام مقدار  $\text{FeO} / \text{MgO}$  بر روی محور قائم و مقدار  $\text{SiO}_2$  بر روی محور افقی آورده شده و مطابق این نمودار نمونه‌های مورد مطالعه در قلمرو کالکو آلکالن قرار می گیرند(شکل ۱۵-۴).



شکل ۱۳-۴ - دیاگرام مجموع آلکالن در مقابل سیلیس (ایروین و باراگار، ۱۹۷۱)

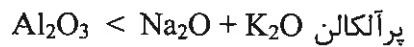
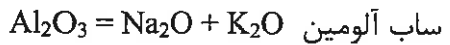
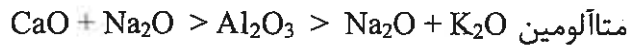
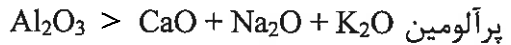


شکل ۱۴-۴ - دیاگرام AFM (ویلسون، ۱۹۸۹)



شکل ۱۵-۴ - دیاگرام  $\text{SiO}_2$  در مقابل  $\text{FeO} / \text{MgO}$  (میاشیرو، ۱۹۷۴)

۴-۴-۲- درجه اشباع آلومین (ASI) سنگهای گرانیت‌وئیدی منطقه چشم‌بید سنگهای آذرین را از نظر درجه اشباع آلومین به چهار گروه پرآلومین، متآلومین، سابآلومین و پرآلکالن تقسیم می‌نمایند(هایندمن، ۱۹۸۵). این طبقه بندی بر مبنای مقادیر مولکولی  $\text{Al}_2\text{O}_3$ ،  $\text{Na}_2\text{O}$ ،  $\text{CaO}$  و  $\text{K}_2\text{O}$  است:



در این رده‌بندی نمونه‌های گرانیتی و گرانودیوریتی منطقه مورد مطالعه در محدوده پرآلومین و نمونه‌های دیوریتی در محدوده متآلومین قرار می‌گیرند. دیاگرام‌هایی که سنگها را بر اساس درجه اشباع آلومین تفکیک می‌نمایند مؤید این مساله می‌باشند.

#### - دیاگرام $A/\text{CNK}-A/\text{NK}$ (شاند، ۱۹۴۹)

در این دیاگرام تغییرات نسبت مولکولی  $\text{Al}_2\text{O}_3/\text{CaO}+\text{Na}_2\text{O}+\text{K}_2\text{O}$  بر روی محور افقی و تغییرات نسبت مولکولی  $\text{Al}_2\text{O}_3/\text{Na}_2\text{O}+\text{K}_2\text{O}$  بر روی محور قائم آورده شده و قلمروهای متآلومین، پرآلومین و پرآلکالن توسط دو خط عمود بر هم که از  $A/\text{CNK}=A/\text{NK}=1$  می‌گذرند، مجزا شده است. همانگونه که از دیاگرام شکل (۱۶-۴-الف) مشخص است، نمونه‌های گرانیتی و گرانودیوریتی منطقه مورد مطالعه در محدوده پرآلومین و نمونه‌های دیوریتی در محدوده متآلومین قرار می‌گیرند.

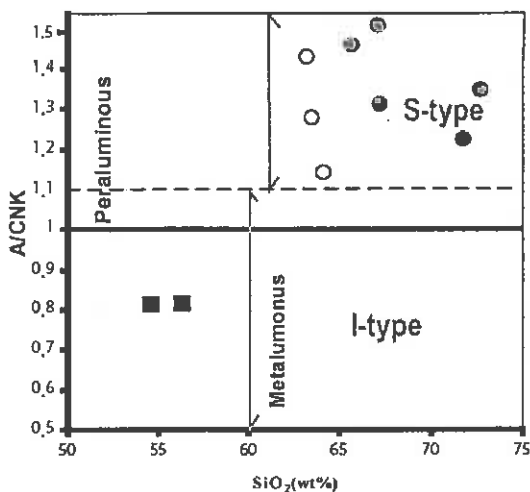
#### - دیاگرام $A/\text{CNK}-\text{SiO}_2$ (وایت و جیل، ۱۹۱۳)

در این دیاگرام مشابه نسبت مولکولی  $\text{Al}_2\text{O}_3/\text{CaO}+\text{Na}_2\text{O}+\text{K}_2\text{O}$  در مقابل درصد وزنی  $\text{SiO}_2$  ترسیم می‌شود و نمونه‌های گرانیتی و گرانودیوریتی منطقه مورد مطالعه در محدوده پرآلومین و نمونه‌های دیوریتی در محدوده متآلومین قرار می‌گیرند(شکل ۱۶-۴-ب).

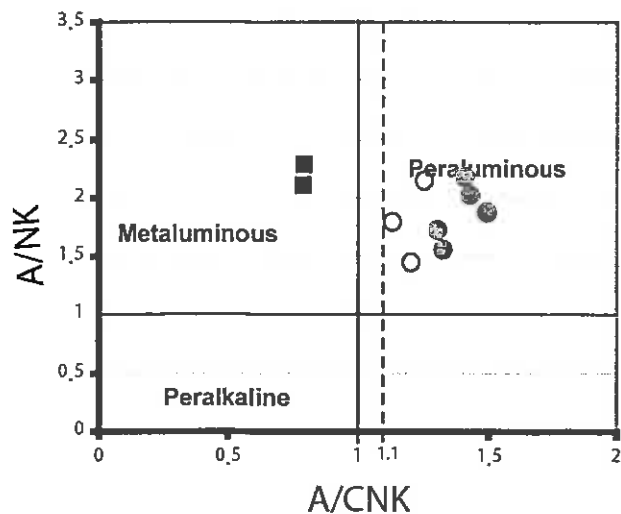
#### - دیاگرام $A/\text{CNK}-A/\text{NK}$ (مانیار و پیکولی، ۱۹۱۹)

در این دیاگرام تغییرات نسبت مولکولی  $\text{Al}_2\text{O}_3/\text{CaO}+\text{Na}_2\text{O}+\text{K}_2\text{O}$  بر روی محور افقی و تغییرات نسبت مولکولی  $\text{Al}_2\text{O}_3/\text{Na}_2\text{O}+\text{K}_2\text{O}$  بر روی محور قائم آورده شده و قلمروهای متآلومین، پرآلومین و پرآلکالن توسط دو خط عمود بر هم که از  $A/\text{CNK}=A/\text{NK}=1$  می‌گذرند، مجزا شده است. همانگونه که از دیاگرام شکل (شکل ۱۶-۴-ج) مشخص است، نمونه‌های گرانیتی و گرانودیوریتی منطقه مورد مطالعه در محدوده پرآلومین و نمونه‌های دیوریتی در محدوده متآلومین قرار می‌گیرند.

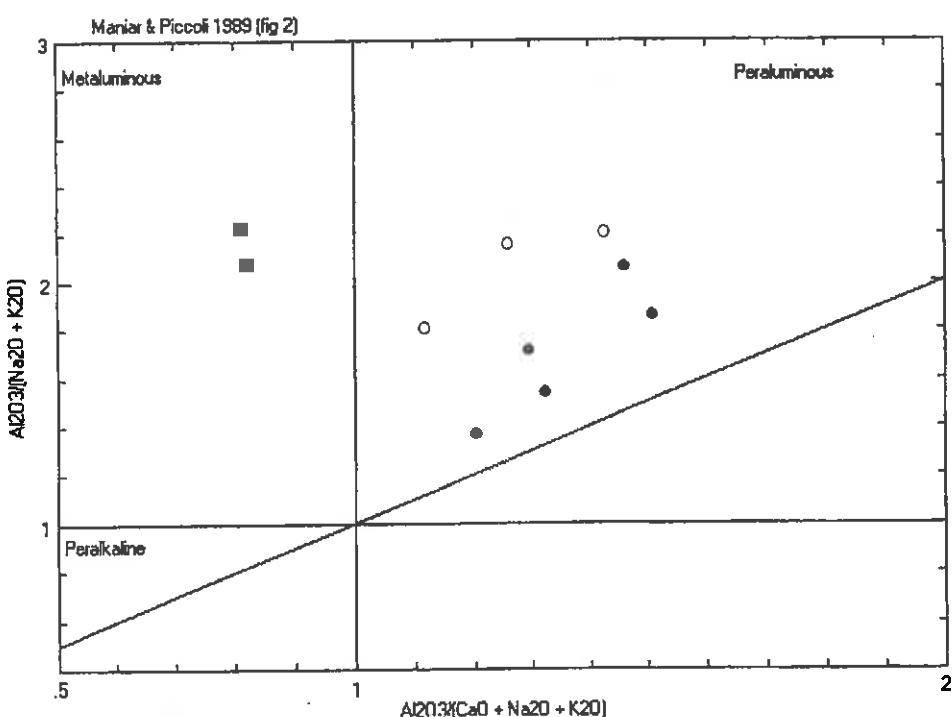
شكل ب



شكل الف



شكل ج



شكل ۴-۱۶- دیاگرامهای تفکیک کننده سنگهای منطقه مورد مطالعه بر اساس ذرجه اشباع آلومین

شکل الف - دیاگرام A/CNK-A/NK (مانیار و پیکولی، ۱۹۴۹)

شکل ب - دیاگرام A/CNK - SiO<sub>2</sub> (وایت و چیل، ۱۹۸۳)

شکل ج - دیاگرام A/CNK-A/NK (مانیار و پیکولی، ۱۹۸۹)

## فصل پنجم

منشأ و محیط تکتونیکی

## ۱-۵- مقدمه

در فصول قبل روابط صحرایی، ویژگیهای پتروگرافی و زئوشیمیایی سنگهای منطقه مورد مطالعه را مورد بررسی قرار دادیم. در این فصل به بررسی پتروزئن سنگهای منطقه می‌پردازیم و در این راستا از اطلاعات صحرایی، پتروگرافی، شیمی سنگ کل و نمودارهای عنکبوتی ارائه شده بهره خواهیم گرفت.

درباره منشأ و تکامل سنگهای گرانیتی و در نتیجه تکامل قاره‌ها حداقل از اواخر قرن هجدهم عقاید و نظریات مختلفی عرضه شده و به مناظرات تندی بین پلوتونیست‌ها و نیپوتونیست‌ها منجر گردیده‌است، از آن زمان تا کنون نظریات مختلفی در این رابطه ارائه شده است و همین نظریات بودند که پایه‌های تحول و دگرگونی را در نظریات مربوط به منشأ گرانیتها پی‌ریزی نمودند.

## ۲-۵- تقسیم‌بندی ژنتیکی گرانیت‌ها

پس از آنکه رید (۱۹۵۷) اختلاف در منشأ گرانیت‌ها را مورد تأکید قرار داد، مؤلفان مختلف تقسیم‌بندیهای ژنتیکی متفاوتی را برای این سنگها ارائه نمودند. شاید بتوان تنوع ژنتیکی گرانیت‌ها و چندگانگی مکانیسم‌های احتمالی ایجاد‌کننده، ژنزهای بعدی، فرآیندهای تکاملی و جایگیری در ترازهای ساختاری مختلف در محیط‌های ژئodynamیکی متفاوت را مسبب این تفاوت‌ها دانست.

در سال ۱۹۷۴ چاپل و وايت گرانیت‌ها را به دو گروه I و S تقسیم نمودند. این مؤلفین گرانیت‌های نوع S را حاصل ذوب‌بخشی سنگهای رسوبی یا معادلهای دگرگونی آنها و گرانیت‌های نوع I را حاصل تغريق ماقمای بازالتی یا ذوب‌بخشی سنگهای آذرین قدیمی قلمداد نمودند.

ایشی‌هارا (۱۹۷۷) سنگهای گرانیتی ژاپن را به سریهای منیتیتی و ایلمنیتی تقسیم نمود. وی اساس تقسیم‌بندی خود را بر حضور کانیهای منیتیت و ایلمنیت قرار داده و فوگاسیته اکسیژن را عامل اصلی تشکیل این کانیها می‌داند. وی معتقد است که در گوشته فوقانی یا پایین‌ترین بخش پوسته به علت کمبود مواد کربنی جهت انجام واکنش با اکسیژن، فوگاسیته اکسیژن ماقماهای حاصل از این اعماق بالا بوده در نتیجه نسبت  $\text{Fe}_2\text{O}_3/\text{FeO}$  در این ماقماها بالا و شرایط مساعد برای تشکیل منیتیت فراهم می‌گردد. در صورتی که در پوسته فوقانی به دلیل حضور مواد کربنی و واکنش بین ماقماهای حاصل از این اعماق با مواد مزبور فوگاسیته اکسیژن کاهش یافته و در نتیجه نسبت  $\text{Fe}_2\text{O}_3/\text{FeO}$  پائین و شرایط مساعد برای تشکیل ایلمنیت فراهم می‌گردد.

ایشی‌هارا در مورد سریهای منیتیتی و ایلمینیتی به این نتیجه رسید که گرانیتوئیدهای سری منیتیتی نسبتاً اکسید شده‌اند در حالیکه سری ایلمینیتی نسبتاً احیاء شده‌اند و همچنین هر دو سری با نهشت‌های معدنی همراهند.

فرآیندهایی که می‌توانند ناپایداری منیتیت را در سنگهای گرانیتی تحت تأثیر قرار دهند به سه

دسته تقسیم می‌شوند:

۱-احیاء بوسیله سوختن کربن در خلال ذوب سنگهای رسوی دگرگون شده(ایشی‌هارا، ۱۹۷۷).

۲-در سنگهای احیاء شده، مصرف از طریق واکنش با سیلیکاتهای آهن و منیزیم(فروست و همکاران ۱۹۹۱).

۳-در سنگهای پرآلکالن، مصرف برای ساختن پیروکسن و آمفیبولهای سدیک.

تاكاهاشی و همکاران(۱۹۸۰) این رده‌بندی را مدنظر قرار داده و در ضمن آن را با رده‌بندی گرانیتها به انواع S و I مورد مقایسه قرار دادند و در نهایت نتیجه گرفتند که گرانیتها سری منیتیت با گرانیتهاي نوع I قابل مقایسه هستند ولی گرانیتهاي سری ایلمینیت می‌توانند هم به گرانیتهاي نوع I و هم به گرانیت نوع S تعلق داشته باشند. در همین ایام گرانیتهاي نوع A توسط لوئیسل و ونز (۱۹۷۹) به عنوان گرانیتهاي نواحي غيرکوهزايي معرفی گردیدند.

از ویژگيهای بارز این گرانیتها می‌توان به موارد زیر اشاره کرد:

نسبتاً سدیک، دارای نسبت  $O/FeO+MgO$  بالا، دارای Zr بالا و بدون آب هستند. همچنین دارای خاستگاه تکتونیکی غیرکوهزایی بوده به طوریکه بیشتر محققین این گرانیتها را وابسته به کشیدگی پوسته قاره‌ای می‌دانند(والن و همکاران، ۱۹۸۷؛ ای، ۱۹۹۰؛ فروست، ۱۹۹۷). از دلایل وابستگی این نوع گرانیتها به نواحی غیرکوهزایی می‌توان به وجود دگرشکلی نادر در آنها و همچنین رخداد آنها بعد از جوانترین رویداد دگرشکلی اشاره کرد. لازم به ذکر است که این گروه هم می‌تواند از نوع S و هم از نوع I باشد. گروه دیگری از گرانیتها تحت عنوان گرانیتهاي نوع M توسط وايت(۱۹۷۹) ارائه شد اين نوع گرانیتها در واقع نوعی گرانیت I هستند و ویژگی آنها اين است که به خصوص در خاستگاههای جزایر قوسی از گوشه فوکانی نشأت می‌گيرند. اين واژه اغلب برای پلاژیوگرانیتهاي کالکوآلکالن بنیان گردید. نوع دیگری از گرانیتها تحت عنوان گرانیتهاي نوع C توسط کیل پاتریک و الیس در سال ۱۹۹۲ مطرح شد. این نوع گرانیتها توسط این محققین به عنوان گرانیتوئیدهای چارنوکیتی معرفی شده‌اند، ایشان عقیده داشتند که يك نوع ماگماي چارنوکیتی مشخص در میان هر دو سنگهای پلوتونیک و ولکانیک قابل تشخیص است. این گرانیتوئیدها دارای کانیهایی نظیر ارتوپیروکسن، فایالیت و پیژونیت هستند. با توجه به آنچه ذکر گردید نوع M را می‌توان به عنوان اینکه از يك ماگماي والد اولیه مستقیماً از گوشه یا پوسته اقیانوسی فرو رانده شده در زیر قوسهای آتشفسانی، مشتق گردیده باشد، در نظر گرفت. حال آنکه نوع I مشابه، بیشتر احتمال دارد که در طی فرایند دو مرحله‌ای از چنین ماده مشتق شده‌ای حاصل گردیده که نخست در حاشیه‌های همگرایی اقیانوس-قاره‌ای در زیر پوسته قاره‌ای قرار داشته و سپس به صورت مذاب درآمده است. نوع S دارنده ویژگیهای مناطق تصادم قاره‌ای و نیز درون کراتونی نوارهای مجاوری برش خوردگی است. در مکان مزبور در هر دو حالت پوسته

به اندازه کافی از طریق تکتونیکی ضخیم گردیده که بتواند سبب بالا رفتن دما در عمق شود، به این ترتیب ذوب مجدد را موجب می‌گردد. انواع A معرف ماقماتیسم وابسته به مناطق سپر است و هم معرف حادثه نفوذی نهایی در نوارهای کوهزایی می‌باشد، و می‌تواند به وسیله اشتقاق از ماده بخش تحتانی پوسته ذوب شده در بالای دیاپیرهای گوشه‌هایی به عنوان الگو و مدل مورد توجه قرار گیرد. (پیچر، ۱۹۸۲). اولین اشکال طبقه‌بندی توصیفی آن است که عنوانی که برای بیان آن نوع بکار رفته کلیه ویژگیهای آن نوع را دارد نیست.

دومین اشکال این است که در انواع M و I و S حتی درون یکی از گروههای کوچک شناخته شده قلمرو ترکیبات ماقمای در ناحیه منشأ، تحت تأثیر عملکرد دما، فشار و ترکیب شیمیایی تغییر می‌کند. به علاوه فرایندهایی نظیر تفریق بعدی و تغییرات ساب سولیدوس در سنگهای آذرین، گستردگی و تنوع وسیع ترکیب اصلی حاصل از مذاههای بخشی را فراهم خواهد آورد. متأسفانه، تشخیص و تفکیک منشأهای سنگهای آذرین بسیار مشکل است و گرانیت‌وئیدهای تیپ S (پرآلومین) که به داشتن چندین منشأ از جمله ماحصل تحول تیپ I (هالیدی و همکاران، ۱۹۸۱، لیگت، ۱۹۹۰؛ میلر و همکاران، ۱۹۹۰) شناخته و معروف هستند، از این امر مستثنی نمی‌باشند، بنابراین طبقه‌بندی‌های ژنتیکی در بهترین حالت‌ها نیز ابهام‌آمیز می‌باشند. سومین اشکال در طبقه‌بندی M-I-S به توانمندی آن در پاسخ‌گویی به یکی از سوالات ساده برمی‌گردد و آن اینکه آیا هر توده گرانیت‌وئیدی مشتق از پوسته عمده‌است تحت تأثیر منشأهای آذرین شکل می‌گیرد یا از منشأهای رسوبی؟ بررسی وضعیت پیچیده پوسته با استفاده از داده‌های شیمیایی و ژنتیکی نشان می‌دهد که وجود گرانیت‌وئیدهایی با منشأ دو رگه (هیبرید) یک امر قطعی و مسلم است.

### ۳-۵- معیارهای لازم برای تشخیص گرانیت‌های نوع I و S

#### ۱-۳-۵- معیارهای صحرایی

معیارهای صحرایی جهت تشخیص گرانیت‌های I و S (چاپل و وايت، ۱۹۷۴؛ وايت و چاپل، ۱۹۷۷؛ هاین و همکاران، ۱۹۷۸؛ هیندمان، ۱۹۸۵ و کلارک، ۱۹۹۲) در جدول (۱-۵) آورده شده است.

جدول ۱-۵- معیارهای صحرایی جهت تفکیک گرانیت‌وئیدهای نوع I و S

نوع I	نوع S
معمولًا به صورت توده‌های نفوذی بزرگ و پیچیده دیده می‌شوند.	معمولًا به صورت توده‌های نفوذی کوچک دیده می‌شوند.
طیف ترکیبی آنها گسترد بوده و شامل گابرو، دیوریت (۲٪)، گرانو دیوریت (۱۸٪) و گرانیت (۳۵٪) می‌باشد.	طیف ترکیبی آنها محدود بوده و شامل گابرو، دیوریت (۲٪)، گرانو دیوریت (۱۸٪) و گرانیت (۸۰٪) می‌باشد.
دارای آتشفشندهای مرتبط با آنهاست.	فاقد آتشفشندهای مرتبط با آنهاست.
فاقد روابط صحرایی نزدیک و تدریجی با سنگهای دگرگونی هستند.	دارای روابط صحرایی نزدیک و تدریجی با سنگهای دگرگونی هستند.

گرانیت‌های نوع S اگر به صورت اتوکتون باشند همیشه با میگماتیت‌ها و سایر سنگهای دگرگونی حرارت بالا همراه بوده و در این موارد تشخیص صحرایی نوع آنها بسیار ساده خواهد بود، اما اگر آلوکتون باشند تشخیص نوع آنها به مطالعات دقیق پتروگرافی و شیمیابی نیاز دارد.

### ۲-۳-۵- معیارهای سنگشناسی

در رده‌بندی بین المللی IUGS (اشتریکایزن، ۱۹۷۶)، گرانیت‌های نوع I شامل مونزوگرانیت‌ها، گرانوودیوریت‌ها، کوارتزدیوریت‌ها و دیوریت‌ها بوده، در حالی که گرانیت‌های نوع S شامل مونزوگرانیت‌ها و گرانوودیوریت‌ها هستند (دیدیه و همکاران، ۱۹۸۲).

جدول (۲-۵) ویژگیهای کانی‌شناسی و پتروگرافی گرانیت‌های نوع I و S را عرضه می‌دارد (چاپل ۱۹۷۴؛ انیل و همکاران، ۱۹۷۷؛ دیدیه و همکاران، ۱۹۸۲ پیچر، ۱۹۸۲؛ کلارک، ۱۹۹۲؛ وايت و چاپل ۲۰۰۱).

جدول ۲-۵- معیارهای کانی‌شناسی و پتروگرافی جهت تفکیک گرانیت‌های نوع I و S

نوع I	نوع S
دارای هورنبلند و بقایابی از ببروکسن اورالیتیزه هستند و هورنبلند بر بیوتیت برتری دارد. بیوتیت دارای پلی‌کروئیسم کاهی تا شکلاتی است.	بدون پبروکسن و هورنبلند هستند و در ترمهای مافیک اگر هم هورنبلند وجود داشته باشد باز هم برتری با بیوتیت است.
اسفن و آلانیت به صورت ثانویه وجود دارد مونازیت به صورت کانی فرعی وجود دارد.	
موسکویت به صورت فرعی و ثانویه و در اقسام بسیار فلزیک وجود دارد.	موسکویت به صورت اولیه و اصلی وجود دارد.
دارای ایلمنیت و منیتیت اما برتری با منیتیت است.	دارای ایلمنیت
ارتوز به رنگ خاکستری متمایل به سفید دیده می‌شود.	میکروکلین به رنگ خاکستری متمایل به سفید دیده می‌شود.
فاقد کانیهای دگرگونی کردیریت، گرونا، آندالوزیت و سیلیمانیت	امکان وجود کانیهای دگرگونی کردیریت، گرونا، آندالوزیت و سیلیمانیت
ادخالهای آپاتیت معمولاً در بیوتیت و هورنبلند وجود دارند.	ادخالهای آپاتیت به صورت بلورهای مجزای بزرگ وجود دارند.
زینولیت‌های هورنبلنددار مافیک در آنها غالب است.	زینولیت‌های رسوبی دگرگونی به صورت غالب و زینولیت‌های هورنبلنددار مافیک به صورت نادر دارند.
کانه زایی تنگستن، مس و مولیبدن	کانه زایی قلع
ضریب رنگینی $\bar{x} = \frac{1}{3}$ با دامنه تغییرات ۰ تا ۱۰ و شامل ۲۷ و شامل مجموعه‌های مونزوگرانیت، آداملیت، آداملیت، گرانوودیوریت و دیوریت است.	ضریب رنگینی $\bar{x} = \frac{4}{3}$ با دامنه تغییرات ۰ تا ۱۰ و شامل مجموعه‌های لوکوگرانیت، آلامکیت، لوکوگرانوودیوریت، مونزوگرانیت و آداملیت است.

در مکانهایی که هر دو نوع گرانیت I و S با هم‌دیگر در باتولیت‌های مرکب دیده می‌شوند، گرانیت‌های نوع S معمولاً به صورت زودرس در توالی توده نفوذی دیده می‌شوند و آنها غالباً فولیاسیون ثانویه‌ای

دارند که توسط توده‌های نفوذی دیررس نوع I که به صورت توده‌ای هستند یا فولیاسیون اولیه غالب دارند، قطع می‌گردد.

### ۳-۳-۵- معیارهای شیمیایی

ویژگیهای شیمیایی اساسی‌ترین پارامتری هستند که راه را برای مطالعه سنگهای آذرین هموار نموده‌اند. در سالهای اخیر داده‌های عناصر اصلی و کمیاب و مطالعات ایزوتوبی (پایدار و ناپایدار) سنگهای آذرین دریچه‌ای نو برای تعیین محیط تکتونیکی و منشأ آنها، خصوصاً گرانیت‌ها گشوده است. بدیهی است که هر محیط تکتونیکی دارای اختصاصات خاص خود است که آنرا در ترکیب شیمیایی ماقمای مربوطه منعکس می‌سازد. جدول (۳-۵) فاکتورهای شیمیایی تعیین کننده برای تشخیص سریهای I و S را نشان می‌دهد (چاپل و وايت، ۱۹۷۴؛ اونیل و همکاران، ۱۹۷۷؛ وايت و چاپل، ۱۹۷۷؛ هاین و همکاران، ۱۹۷۸؛ ایشی‌هارا، ۱۹۷۷؛ پانکهورث، ۱۹۸۰؛ دیدیه و همکاران، ۱۹۸۲؛ پیچر، ۱۹۸۲؛ مک کولاج و چاپل، ۱۹۸۲؛ کلارک، ۱۹۹۲؛ ریموند، ۱۹۹۵؛ چاپل و وايت، ۲۰۰۱). در جدول (۴-۵)، ویژگیهای صحرایی، کانی‌شناسی، پتروگرافی و ژئوشیمیایی گرانیتوئیدهای مورد مطالعه آورده شده است.

جدول ۳-۵- ویژگیهای شیمیایی گرانیتهای نوع I و S

نوع I	نوع S
$\frac{A}{CNK} / \frac{A}{CNK}$ ۱/۱	$\frac{A}{CNK} / \frac{A}{CNK}$ ۱/۱
دامنه تغییرات $SiO_2$ بین ۵۷ تا ۷۳	دامنه تغییرات $SiO_2$ بین ۶۶ تا ۷۹
$Na_2O$ بالا به طوریکه مقدار آن در سنگهای فلزیک ۳/۲ درصد وزنی و در سنگهای مافیک ۲/۲ درصد وزنی است.	$Na_2O$ پایین به طوری که مقدار آن در سنگهای دارای ۵٪ وزنی $K_2O$ کمتر از ۲/۲٪ و در سنگهای دارای ۲٪ وزنی $K_2O$ مقدار آن کمتر از ۲٪ وزنی است.
$\frac{fe_{2}O_3}{feo_{(I)}} > 0.2$	$\frac{fe_{2}O_3}{feo_{(I)}} < 0.2$
$Feo_{(I)} + Mgo + MnO + TiO_2 = 51.6\%$ با دامنه تغییرات ۲ تا ۱۱ درصد.	$Feo_{(I)} + Mgo + MnO + TiO_2 = 21.6\%$ با دامنه تغییرات ۰ تا ۶ درصد.
در نورم CIPW کمتر از ۱٪ کرونندم و یا دارای دیوپسید	در نورم CIPW بیش از ۱٪ کرونندم
مقدار $CaO$ در ترمهای دارای ۶۶ درصد $SiO_2$ بیشتر از ۳/۷ درصد	مقدار $CaO$ در ترمهای دارای ۶۶ درصد $SiO_2$ کمتر از ۳/۷ درصد
مقدار $Zr$ در ترمهای دارای ۶۶ درصد $SiO_2$ کمتر از ۱۵.۰ ppm	مقدار $Zr$ در ترمهای دارای ۶۶ درصد $SiO_2$ بیشتر از ۱۵.۰ ppm
نسبت ایزوتوبی $^{87}Sr / ^{86}Sr$ اولیه بین ۰.۷۰۶ تا ۰.۷۰۸	نسبت ایزوتوبی $^{87}Sr / ^{86}Sr$ اولیه بالاتر از ۰.۷۰۸
$^{143}Nd / ^{144}Nd = 0$	$^{143}Nd / ^{144}Nd < 0$
فراوانی پایین عناصر کمیاب Zn, Cu, Ni, CO, Cr, V, Ce, La, Th, Rb, Ba و Y در مقایسه با نوع I	فراوانی بالای عناصر کمیاب Zn, Cu, Ni, CO, Cr, V, Ce, La, Th, Rb, Ba و Y در مقایسه با نوع I
ایزوکروناها توزیع منظم نقاط را عرضه می‌دارند.	ایزوکروناها پراکندگی نقاط را نشان می‌دهند.
دیاگرامهای تغییرات، خطی یا تزدیک به خطی هستند.	دیاگرامهای تغییرات، نامنظم و بی‌قاعده هستند.
محل منشأ گوشه‌فوقانی یا قاعده پوسته زیرین	محل منشأ پوسته زیرین تا میانی

جدول ۴-۵- ویژگیهای صحرایی، کانی‌شناسی، پتروگرافی و ژئوشیمیابی گرانیت‌وئیدهای مورد مطالعه

دیورنتهای مورد مطالعه	گرانیت‌ها و گرانو‌دیورنیت‌های مورد مطالعه	ویژگیهای صحرایی
به صورت توده‌های نفوذی کوچک دیده می‌شوند.	به صورت توده‌های نفوذی بزرگ با وسعت چند صد کیلومتر مربع هستند.	
۱۰ درصد دیوریت	۲۰ درصد گرانیت و ۷۰ درصد گرانو‌دیوریت	
فاقد سنگهای آتشفسانی هستند.	فاقد سنگهای آتشفسانی هستند.	
فاقد روابط صحرایی نزدیک و تدریجی با سنگهای دگرگونی هستند.	دارای روابط صحرایی نزدیک و تدریجی با سنگهای دگرگونی هستند.	
دارای هورنبلند و بیوتیت هستند و هورنبلند بر بیوتیت برتری دارد. فاقد پیروکسن هستند.	بدون پیروکسن و هورنبلند هستند و در ترمehای مافیک اگر هم هورنبلند وجود داشته باشد باز هم برتری با بیوتیت است.	
اسفن به صورت اولیه وجود دارد.	اسفن به صورت اولیه و ثانویه وجود دارد. موانازیت به صورت کانی فرعی وجود دارد.	
فاقد موسکویت هستند.	موسکویت بندرت یافت می‌شود.	
دارای ایلمنیت و منیتیت هستند.	دارای ایلمنیت و منیتیت هستند.	
ارتوز به رنگ سفید دیده می‌شود.	میکروکلین به رنگ خاکستری متمایل به سفید دیده می‌شود.	
فاقد کانیهای دگرگونی هستند.	دارای گارنت و آتدالوزیت هستند.	
ادخالهای آپاتیت معمولاً در بیوتیت و هورنبلند وجود دارند.	ادخالهای آپاتیت به صورت بلورهای مجازی بزرگ وجود دارند.	
زینولیت‌های هورنبلنددار مافیک در آنها غالب است.	زینولیت‌های رسوبی دگرگونی به صورت غالب و زینولیت‌های هورنبلنددار مافیک به صورت نادر دارند.	
فاقد کانه‌زایی هستند.	دارای کانه‌زایی طلا و استیبنیت هستند.	
ضریب رنگینی $\bar{x} > 2/5 = \bar{x}$ و شامل مجموعه‌های دیوریتی و کوارتز‌دیوریتی هستند.	ضریب رنگینی $\bar{x} > 2/5 = \bar{x}$ و شامل مجموعه‌های لوکوگرانیت، سینوگرانیت تا مونزوگرانیت، آداملیت هستند.	ویرگیهای کانی سیاسی و پتروگرافی

ادامه جدول ۴-۵

دیورینهای مورد مطالعه	گرانیتها و گرانودیورینهای مورث مطالعه	
نسبت مولکولی $A/CNK$ ۱/۱	نسبت مولکولی $A/CNK$ ۱/۱	
دامنه تغییرات $SiO_2$ بین ۵۴ تا ۵۶	دامنه تغییرات $SiO_2$ بین ۶۳ تا ۷۲	
$Na_2O$ , بین ۲/۷۰-۳/۲۷	$Na_2O$ , بین ۳/۸۱-۴/۳۵	
$K_2O$ , بطور میانگین ۱/۹	$K_2O$ , بین ۲/۲۱-۴/۱۲	
نسبت $fe_2O_3/feO_{(I)}$ بطور میانگین ۰/۱۷	نسبت $fe_2O_3/feO_{(I)}$ بطور میانگین ۰/۱۶	
$FeO_{(I)} + Mgo + MnO + TiO_2 = ۱۵/۵۴\%$ با دامنه تغییرات ۱۴ تا ۱۷ درصد.	$FeO_{(I)} + Mgo + MnO + TiO_2 = ۳/۴\%$ با دامنه تغییرات ۵/۸ تا ۰/۶ درصد.	
در نورم CIPW کمتر از ۱٪ کرونندم	در نورم CIPW بیش از ۱٪ کرونندم	
مقدار CaO در مجموع بیش از ۳/۷ درصد و بطور میانگین ۶/۶ درصد می‌باشد.	مقدار CaO در ترمهای دارای ۶۶ درصد $SiO_2$ , بطور میانگین ۱/۶ درصد می‌باشد.	
مقدار Zr بین ۱۱۰-۲۰۲ ppm	مقدار Zr در ترمهای دارای ۶۶ درصد $SiO_2$ بین ۹۴-۱۲۸ ppm می‌باشد.	
فراوانی پایین عناصر کمیاب V, Cr, CO, Ni با نوع S	Ni, CO, Cr, V, Ce, La, Th, Rb, Ba, Zn, Cu مقایسه با نوع I	
محل منشاً گوشتۀ زیرین تا میانی	محل منشاً پوستۀ زیرین تا میانی	

ویرگیهای  
رئوسیمیابی

با توجه به جدول (۴-۵)، می‌توان چنین نتیجه گرفت که ویرگیهای گرانیتها و گرانودیورینهای مورث مطالعه بیشتر با گرانیت‌وئیدهای نوع S مطابقت دارد و دیورینهای مورث مطالعه کاملاً ویرگیهای گرانیت‌وئیدهای نوع I را نشان می‌دهند.

کاسترو و همکاران (۱۹۹۱)، نوع جدیدی از گرانیت‌وئید به نام گرانیت‌وئید دو رگه (نوع H) معرفی کردند. این مطالعات که بر روی سنگ‌های نفوذی کالکوآلکالن صورت گرفته است، همبستگی‌های صحرایی و سنگ شناختی همراه با استنباط‌های قوی با فرایندهای درگیر در منشأ آنها را آشکار می‌سازد. حضور انکلوزیونهای ماقمایی و زونهای اختلاط ماقمایی در این سنگ‌ها منشأ اختلاط ماقمایی آنها را تأیید می‌نماید. تغییرات ترکیبی و ناهنجاریهای ایزوتوپی، محک خوبی برای چنین مدل پتروژنتیکی هستند.

اغلب این سنگ‌های کالکوآلکالن نفوذی که هم به محیط‌های برخورد قاره به قاره و هم به حاشیه فعال ورقه‌ها مربوط می‌گردند در طبقه‌بندی چاپل و وايت (۱۹۷۴) به عنوان گرانیت‌وئیدهای نوع I (آذرین) و حاصل از ذوب بخشی سنگ‌های آذرین قدیمی تفسیر شده‌اند (مدل رستیت). اگر منشأ اختلاط ماقمایی یک نوع از گرانیت‌وئیدها از شواهد صحرایی و سنگ شناختی اثبات و توسط تغییرات شیمیایی و ایزوتوپی تأیید گردد بنابراین باید گونه‌ای جدید از گرانیت‌وئید به نام گرانیت‌وئید دو رگه معرفی گردد. این گونه جدید شامل اغلب گرانیت‌وئیدهای نوع I و بعضی از گرانیت‌وئیدهای نوع S می‌باشد. کاسترو و همکاران (۱۹۹۱) مراحل زیر را برای تشکیل گرانیت‌وئیدهای دو رگه پیشنهاد نموده‌اند (شکل ۵-۱، اقتباس از قاسمی، ۱۳۷۱).

۱- تزریق: در این مرحله دایکهایی از ماقمای مافیک در حال تزریق به درون میزان فلزیک زون آناتکتیک نفوذ می‌نماید.

۲- ایجاد تعادل حرارتی: در نتیجه تزریق ماقمای مافیک به درون آشیانه ماقمایی فلزیک به تدریج درجه حرارت بطور موضعی بالا رفته و مقدار مذاب افزایش می‌یابد. افزایش مقدار مذاب ممکن است ناشی از ورود مواد فرار از ماقمای مافیک به داخل ماقمای فلزیک نیز باشد، زیرا در نتیجه این امر درجه حرارت ذوب کاهش یافته و مقدار مذاب افزایش می‌یابد. این فرایندها در مجموع منجر به کاهش ویسکوزیته ماقما می‌شوند. در همین زمان ماقمای مافیک در حاشیه دایکها به طور کامل منجمد می‌شود.

۳- کنوکسیون: اگر چه به طور موضعی در ته آشیانه ماقمایی تعادل حرارتی برقرار می‌شود، اما در نتیجه نفوذ ماقمای مافیک چگالتر، لایه‌بندی حرارتی ایجاد می‌شود و موجب برقراری یک جریان گرمایی رو به بالا می‌شود. این امر بر وجود یک منطقه بندی چگالی و ناپایدار ناشی از کنوکسیون در آشیانه ماقمایی اشاره دارد.

۴- گسیختگی دایکها و اختلاط: جریان کنوکسیونی منجر به گسیختگی دایکهای همزمان با توده نفوذی می‌شود. قطعات گسیخته شده در ماقمای فلزیک وارد شده و اختلاط کاملی از راه اختلاط بلوری و انتشار بین این قطعات مافیک و ماقمای فلزیک صورت می‌گیرد. جریان کنوکسیونی برای از هم پاشیدن و مخلوط نمودن قطعات مافیک ضروری می‌باشد.

۵- تولید انکلوزیون: جریان کنوکسیونی سرانجام منجر به انتقال قطعات مافیک دایکها به داخل ماگمای فلزیک در حال اختلاط شده و آنها را متلاشی می‌نماید. قطعات مزبور در نتیجه انتقال، شکل گرد شده به خود می‌گیرند. بخشهایی از آنها که کاملاً متلاشی نمی‌شود، سرانجام به صورت انکلوزیونهای میکروگرانولار در توده ماگمایی فلزیک در حال انجام باقی می‌ماند.

وقوع فرآیند دو رگهای شدن بین ماگماهای نوع M(گوشهای مافیک) و مذابهای آناتکتیک بر حسب نسبت‌های هر کدام از آنها می‌تواند منجر به ایجاد گونه وسیعی از سنگهای دو رگه شود. در اغلب این سنگهای دو رگه اشکال اولیه S یا M به طور شدید تغییر نیافته و تا اندازه‌ای مشخص است. آنها می‌توانند به ترتیب به عنوان هیبرید S (Hm) یا M (HS) تلقی شوند. گرانیتوئیدهای نوع HS سنگهای دورگهای هستند که در آنها عضو نهایی فلزیک(نوع S) فراوانتر است. آنها دارای اشکال بافتی نوع S بوده و علاوه بر پرآلومین بودن دارای رستیت‌های دگرگونی، انکلوزیونهای تونالیتی و پلاژیوکلازهای هضم شده هستند.

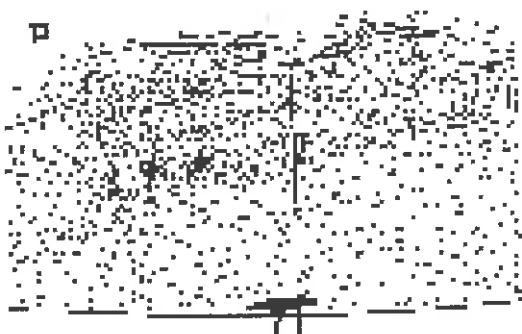
گرانیتوئیدهای نوع Hm، سنگهای دورگهای هستند که در آنها مشارکت ماگمای مافیک(نوع M) بیشتر از ماگمای فلزیک(نوع S) است. مشخص‌ترین حالت آن حضور زنگریستهای حاصل از ماگمای فلزیک(اساساً کوارتز) است. بیشتر انکلوزیونهای تونالیتی موجود در گرانیتوئیدهای نوع HS در واقع تونالیت‌های نوع Hm هستند(کاسترو و همکاران، ۱۹۹۱).

گرانیتوئیدهای نوع Hss سنگهای دورگهای هستند که در آنها مشارکت هر کدام از ماگمای (S و M) کم و بیش برابر بوده و همگنسازی حاصل از جریان ماگمایی، اشکال اولیه هر نوع ماگما را از بین برده است. این گرانیتوئیدها را بر اساس روابط صحرایی(مثلاً زونهای اختلاط ماگمایی)، حضور انکلوزیونهای ریزدانه و بعضی شواهد و معیارهای بافتی(مثلاً پلاژیوکلازهای هضم شده) به عنوان گرانیتوئیدهای دو رگه می‌شناسند. دو رگهای شدن فرایندی است که به هنگام ایجاد همزمان دو ماگماتیسم متضاد(مثلاً S و M) در یک زون معین صورت می‌گیرد.

این شرایط ممکن است در هر محیط کوهزایی که ماگماهای حاصل از گوشه به داخل یک پوسته قاره‌ای کم و بیش تحول یافته نفوذ می‌نمایند، مهیا گردد. به هر حال، در محیط‌های نوع آندی ماگماتیسم نوع M مهمتر از نوع S بوده و در نتیجه گرانیتوئیدهای نوع M و Hm فراوان و انواع H و HS و S نیز در حجمهای کوچک وجود دارند در حالی که گرانیتوئیدهای نوع S از ویژگیهای محیط‌های برخورد قاره به قاره بوده و در آنها نوع M کمیاب است.

شکل (۲-۵) تطابق تجربی بین انواع گرانیتوئیدها و خاستگاه تکتونیکی آنها را براساس این ایده نشان می‌دهد. جدول (۵-۵) نیز ویژگیهای عمده انواع گرانیتوئیدهای وابسته به محیط‌های کوهزایی(اوروزنیک) را با گرانیتوئیدهای مورد مطالعه نشان می‌دهد(کاسترو و همکاران، ۱۹۹۱). با توجه به این ویژگیها و مقایسه آنها با ویژگیهای نمونه‌های مورد مطالعه می‌توان نتیجه گرفت که دیوریتهای منطقه مورد مطالعه از نوع M، گرانیتها و گرانودیوریتها از نوع S و Hss می‌باشند.

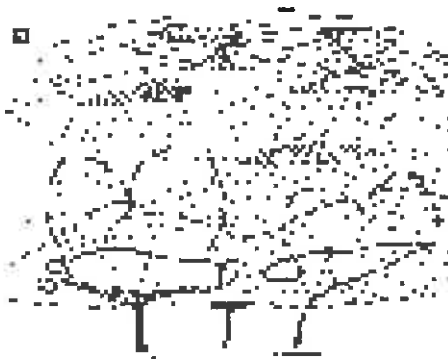
۱- ضخیم شدن پوسته



۲- کنوکسیون و گسیختگی دایکها، همزمان با توده



۳- کنوکسیون همراه با اختلاط ماغما



۴- مرحله نهایی جایگزینی



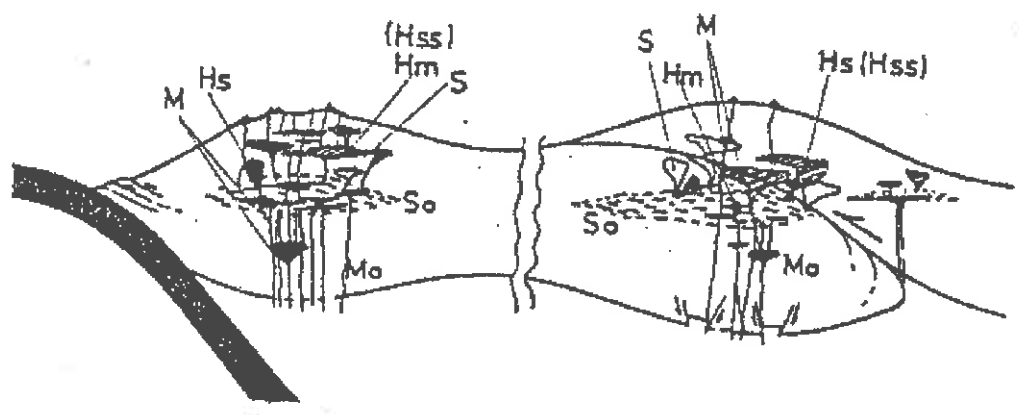
شکل ۱-۵- چهار مرحله ایدهآل برای بیان فرایندهای درگیر در پتروزنز گرانیتoidهای هیبرید(کاسترو و همکاران، ۱۹۹۱).

## برخورداری راه‌ای

## حاشیه ورقه‌ای فعال

$M > Hm > HSS > HS > S$

$S > HS > HSS > Hm > M$



شکل ۲-۵- یک الگوی تکتونیکی ممکن در رابطه با انواع گرانیت‌هایها و محیط تکتونیکی آنها.  $M_0$  و  $S_0$  مagmaهای اولیه نوع  $M$  و  $S$  هستند(کاسترو و همکاران، ۱۹۹۱).

جدول ۵-۵- ویژگیهای عمدۀ انواع گرانیت‌وئیدهای وابسته به محیط‌های کوه‌زایی (اوروزنیک) (کاسترو و همکاران، ۱۹۹۱)، با گرانیت‌وئیدهای مورد مطالعه.

دیوریتهای مورد مطالعه	گرانیتها و گرانودیوریتهای مورد مطالعه	S-type	H-type	H <sub>ss</sub> -type	H <sub>m</sub> -type	M-type
دیوریت تا کوارتزدیوریت	سینوگرانیت تا گرانودیوریت	لوکوگرانیتها (دو میکالی)، سینوگرانیتها تا مونزوگرانیتها	مونزوگرانیتها تا گرانودیوریت ها	گرانودیوریت ها و تونالیت ها	تونالیت ها (عدمتریز دانه)	کوارتزدیوریت ها و تونالیت
وجود آنکلاوهای مافیک	فراوانی آنکلاوهای مافیک	رستیت های دگرگونی (بیوتیت، سیلیمانیت و...)	رستیت‌های دگرگونی، کمبود آنکلاوهای مافیک	فراوانی آنکلاوهای مافیک	کمبود آنکلاو، کمبود یا فقدان رستیت ها	فقط آنکلاوهای با ظاهر کومولایی
لخته‌های Hb-Bi	ماگاکریست های K-feld تحلیل رفتہ لخته های Hb-Bi	فازهای باقی مانده از واکنش مذاب (Sil,Cor...) لخته های بیوتیت سیلیمانیت	ماگاکریست های Cor و K-feld حاصل از واکنش مذاب با لخته های بیوتیت	ماگاکریست K-feld های Cor به تبدیل Bi لخته های Hb-Bi	لخته های Hb حاصل از واکنش های: تبدیل PX و Hb به Bi	فازهای پایدار فرومنیزیم، فقط واکنش های پریتکتیک
پلازیوکلازهای کمپلکس زونه ای تحلیل رفتہ، دارای منطقه‌بندی	پلازیوکلازهای کمپلکس زونه ای تحلیل رفتہ، زینوکریستهای Hb لخته ای	زونینگ ساده در pIg عدم وجود زینوکریست	پلازیوکلازهای کمپلکس زونه ای با زون های آشکار تحلیل رفتہ	کمبود یا فقدان زینوکریست (آپاتیت سوزنی؟)	زونینگ ساده و ناپیوسته، فقدان زینوکریست ها	
ارتباط با گرانیت‌وئیدهای M تیپ	ارتباط با گرانیت‌وئیدهای S M و M تیپ		معمولًا در ارتباط با گرانیت‌وئیدهای تیپ S, M در باтолیت های بزرگ با کنتاکت انتقالی، در سطح ابی زون، هر تیپ می تواند به صورت منفرد ظاهر شود.		عموماً در ارتباط با توءه های فرعی سنگهای مافیک	
		نسبت اولیه Sr < 0.708	نسبت ایزوتوپی بسیار متغیر، این نسبتها معمولاً بین نسبتها گوشه ای و پوسته ای می باشند، خطوط اختلاط مشخص است.		نسبت اولیه Sr < 0.704	
K <sub>2</sub> O/Na <sub>2</sub> O < 1 ASI < 1	K <sub>2</sub> O/Na <sub>2</sub> O نزدیک به یک ASI > 1	K <sub>2</sub> O/Na <sub>2</sub> O > 1 ASI > 1		K <sub>2</sub> O/Na <sub>2</sub> O نزدیک به یک ASI > 1	K <sub>2</sub> O/Na <sub>2</sub> O < 1 ASI < 1	K <sub>2</sub> O/Na <sub>2</sub> O < 1 ASI < 1
از طریق ذوب بخشی گوشته فوچانی و تفریق در مراحل بعدی	از طریق ذوب بخشی گوشته فوچانی و تفریق در مراحل بعدی	احتمالاً از طریق ذوب بخشی سنگهای رسوبی دگرگون شده، تغییرات ترکیبی به وسیله عدم اختلاط رستیت قابل توضیح است.	از طریق اختلاط مagma (هیبریداسون) بین ماگماهای مشتق شده از گوشته (M-type) و ماگماهای سوپر-اکرستال (S-type) به وجود آمده اند.			از تفریق ماگماهای بازالتی مشتق شده از گوشته به وجود آمده اند.

#### ۴-۵- دیاگرامهای استفاده شده جهت تمایز گرانیتوئیدهای نوع I و S

##### ۱-۴-۵- نمودار $A/CNK$ در مقابل $SiO_2$ (چاپل و وايت، ۱۹۱۳)

در این نمودار نسبت مولی  $Al_2O_3/CaO+Na_2O+K_2O$  در مقابل درصد وزنی  $SiO_2$  رسم می‌شود و مرز بین گرانیتوئیدهای نوع I و S براساس نسبت مولی A/CNK برابر با ۱/۱ در نظر گرفته شده است. مطابق این دیاگرام، گرانیتها و گرانودیوریتهاي منطقه مورد مطالعه در محدوده گرانیتوئیدهای نوع S و دیوریتها در محدوده گرانیتوئیدهای نوع I قرار می‌گیرند(شکل ۳-۵-الف).

##### ۲-۴-۵- نمودار $CaO$ در مقابل $FeO$ (وايت و چاپل، ۱۹۰۰)

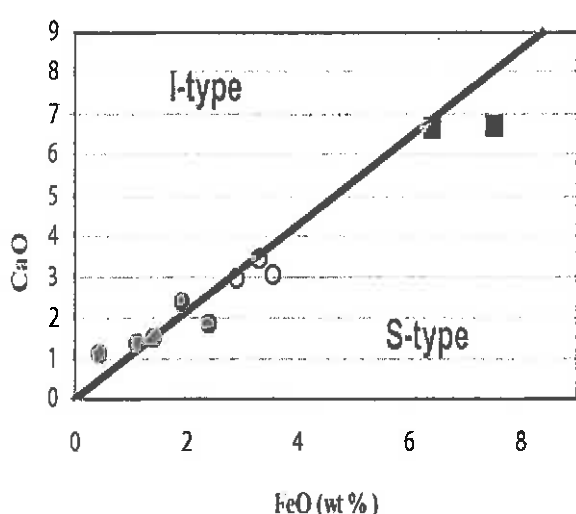
در این نمودار مقدار درصد وزنی  $CaO$  نمونه‌ها در مقابل درصد وزنی  $FeO$  آنها رسم می‌شود. با استفاده از این نمودار می‌توان گرانیتوئیدهای نوع I و S را از هم متایز کرد. با توجه به این نمودار نمونه‌های مورد مطالعه عمدها در امتداد مرز تفکیک محدوده‌های گرانیتهاي نوع S و I واقع می‌شوند (شکل ۳-۵-ب). زیرا گرانیتوئیدهای مورد مطالعه، از ذوب سنگهای گری و کی تشکیل شده‌اند و حاصل اختلاط ماقمایی نیز می‌باشند.

##### ۳-۴-۵- نمودار $Na_2O+K_2O/CaO$ در مقابل $Zr+Nb+Ce+Y$ (والن و همکاران، ۱۹۱۷)

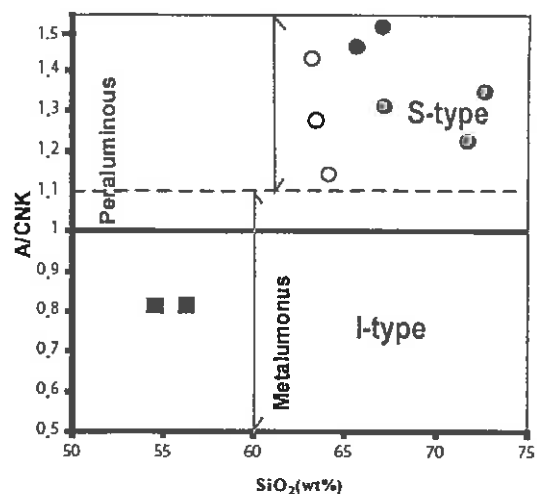
در این نمودار گرانیتوئیدهای S و I عادی از یک طرف از گرانیتوئیدهای نوع I تفریق یافته و از طرف دیگر از گرانیتوئیدهای نوع A متایز شده‌اند. در این دیاگرام علامت اختصاری FRAC مخفف *fractionated I-type granitoid* یعنی گرانیتهاي نوع I تفریق یافته می‌باشد. مطابق این نمودار گرانیتها و گرانودیوریتهاي مورد مطالعه در محدوده گرانیتوئیدهای S و I عادی قرار می‌گیرند (شکل ۳-۵-ج).

نکته: به دلیل اینکه نسبت لگاریتمی  $Na_2O+K_2O/CaO$  برای دیوریتهاي مورد مطالعه در دیاگرام والن و همکاران، ۱۹۸۷ کمتر از یک می‌باشد در نتیجه در محدوده‌های دیاگرام مورد نظر واقع نمی‌شوند.

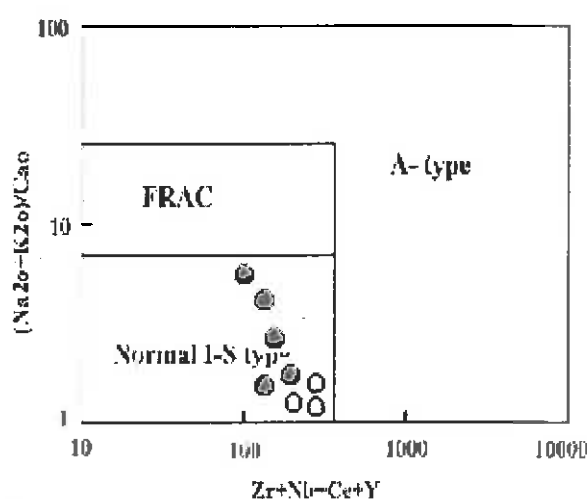
شکل ب



شکل الف



شکل ج



شکل ۳-۵- دیاگرامهای متمایز کننده گرانیتوئیدهای نوع I و S

الف - نمودار A/CNK در مقابل SiO<sub>2</sub> (چاپل و وايت، ۱۹۸۳)

ب - نمودار CaO در مقابل FeO (وايت و چاپل، ۲۰۰۱)

ج - نمودار Na<sub>2</sub>O+K<sub>2</sub>O/CaO در مقابل Zr+Nb+Ce+Y (وان و همکاران، ۱۹۸۷)

## **۵-۵- ردیابی گرانیتوئیدهای منطقه چشم‌بید براساس محیط تکتونیکی**

برای تعیین جایگاه تکتونیکی سنگهای گرانیتوئیدی روش‌های متعددی ابداع و مطرح شده است. لیکن با توجه به داده‌های موجود و بررسیهایی که با توجه به این داده‌ها صورت گرفته است به این نتیجه رسیدیم که روش‌های مطرح شده توسط مانیار و پیکولی (۱۹۸۹) و پیرس و همکاران (۱۹۸۴)، با شواهد صحراوی منطقه و ویژگیهای ژئوشیمیایی سنگهای گرانیتوئیدی مورد مطالعه سازگارتر است و پاسخی منطقی‌تر ارائه می‌نمایند.

### **۵-۵-۱- نمودارهای متمازیز کننده محیط‌های تکتونیکی گرانیتوئیدها بر پایه استفاده از عناصر اصلی**

مانیار و پیکولی (۱۹۸۹) گرانیتوئیدها را به هفت گروه به شرح زیر تقسیم‌بندی نمودند:

- گرانیتوئیدهای جزایر قوسی (IAG)
- گرانیتوئیدهای قوس قاره‌ای (CAG)
- گرانیتوئیدهای برخورد قاره‌ای (CCG)
- گرانیتوئیدهای پس از کوه‌زایی (POG)
- پلازیوگرانیت‌های اقیانوسی (OP)
- گرانیتوئیدهای وابسته به ریفت (RRG)
- گرانیتوئیدهای مربوط به بالازدگی خشکی زایی قاره‌ای (CEUG)

سریهای فوق‌الذکر توسط محققین نامبرده به دو دسته عمده شامل: کوه‌زایی و غیر کوه‌زایی تقسیم گردیدند. سری کوه‌زایی شامل گرانیتوئیدهای IAG ، CAG ، CCG و POG و سری غیرکوه‌زایی شامل OP ، RRG و CEUG می‌باشند.

جهت آگاهی بیشتر در اینجا به اختصار این گروهها را معرفی نماییم:

#### **۱- گرانیتوئیدهای کوه‌زایی:**

هر واقعه کوه‌زایی معمولاً با تغییر شکل، پلوتونیسم و دگرگونی همراهی می‌شود. پلوتونیسم مزبور ممکن است در هر مرحله از این حادثه صورت گیرد. گرانیتوئیدهای حاصل در خلال فعالیت‌های کوه‌زایی به شرح زیر می‌باشند.

#### **الف- گرانیتوئیدهای جزایر قوسی (IAG)**

این گرانیتوئیدهای ناشی از فروانش یک ورقه اقیانوسی به زیر یک ورقه اقیانوسی دیگر بوده و مآگمای تشکیل‌دهنده آنها از نوع کالکوآلکالن ترونجمیتی(پتابسیم پایین) است.

#### **ب- گرانیتوئیدهای قوس قاره‌ای (CAG)**

این گرانیتوئیدها ناشی از فروانش یک ورقه اقیانوسی به زیر یک ورقه قاره‌ای بوده و در حاشیه‌های فعال قاره‌ها تشکیل می‌گردند. مآگمای آنها کالکوآلکالن گرانوکلریتی(پتابسیم متوسط) است.

#### **ج- گرانیتوئیدهای برخورد قاره‌ای (CCG)**

این گرانیتوئیدها در جریان فاز برخورد قاره به قاره یک واقعه کوه‌زایی و در محل الحاق دو قاره به دلیل اصطکاک و افزایش گرما و ذوب پوسته‌ای ایجاد می‌گردند.

#### د- گرانیت‌وئیدهای پس از کوه‌زایی (POG)

این گرانیت‌وئیدها پس از کوه‌زایی در مناطق برخورد قاره به قاره و عموماً پس از توقف دگرشکلی در ناحیه نفوذ نموده و از نظر زمانی و مکانی با واقعه کوه‌زایی در ارتباط می‌باشند. مagma آنها کالکوآلکالن موزنوزنیتی (پتاسیم بالا) می‌باشد.

#### ۲- گرانیت‌وئیدهای غیرکوه‌زایی:

این گرانیت‌وئیدها فاقد شواهد محیط‌های کوه‌زایی از قبیل دگرشکلی و دگرگونی بوده و شامل سریهای زیر هستند:

#### الف- گرانیت‌وئیدهای وابسته به ریفت (RRG)

این گرانیت‌وئیدها با تشکیل ریفت در پوسته قاره‌ای مرتبط بوده و magma آنها از نوع کالکوآلکالن (هیپرآلکالن) است. فرایند تشکیل ریفت شامل سه مرحله بالازدگی پوسته، تشکیل گرابن ریفت و ایجاد یک حوضه اقیانوسی است.

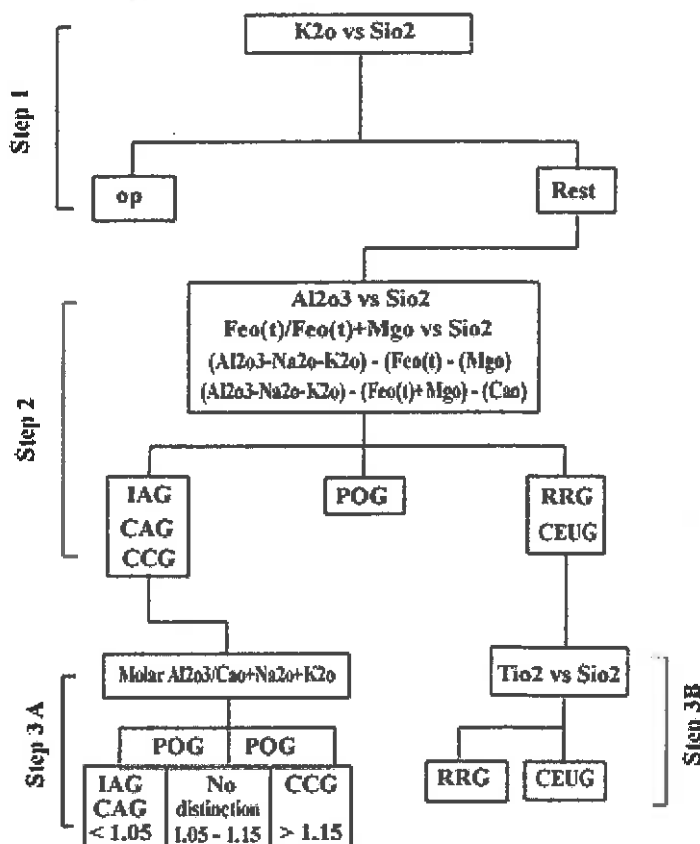
#### ب- گرانیت‌وئیدهای مربوط به بالا زدگی خشکی زایی قاره‌ای (CEUG)

این گرانیت‌وئیدها در مناطقی از پوسته قاره‌ای که تحت بالازدگی خشکی‌زایی پوسته‌ای قرار گرفته ولی منجر به تشکیل ریفت نگردیده است، تشکیل می‌گرددند.

#### ج- پلازیوگرانیت‌های اقیانوسی (OP)

اینها شامل گرانیت‌وئیدهایی هستند که در مقادیر کم و همراه با حجم عظیمی از سنگهای مافیک در جزایر اقیانوسی و پشته‌های میان اقیانوسی از تفرقه magma‌های مافیک بوجود می‌آیند. magma این گرانیت‌وئیدها تولئیتی است.

مانیاروبیکولی (۱۹۸۹) با استفاده از داده‌های شیمیایی عناصر اصلی مراحل تدریجی تفکیک تکتونیکی گرانیت‌وئیدها را نشان داده‌اند (شکل ۴-۵). در این شکل سه مرحله اساسی دیده می‌شود.



شکل ۴-۵- مراحل تدریجی تفکیک انواع محیط تکتونیکی سنگهای گرانیتوئیدی(مانیار و پیکولی، ۱۹۸۹)

#### مرحله-I- تفکیک بین OP و دیگر گروهها

در این مرحله با استفاده از دیاگرام  $K_2O$  در مقابل  $SiO_2$  تفکیک بین پلاژیوگرانیت‌های اقیانوسی و سایر گرانیتوئیدها به آسانی امکان‌پذیر می‌گردد(شکل ۴-۵-الف). البته این تفکیک با بررسیهای صحرایی نیز امکان‌پذیراست، زیرا پلاژیوگرانیت‌های اقیانوسی عموماً در داخل توده‌های مافیک و الترامافیک(افیولیتی) قرار دارند. در استفاده از دیاگرام  $K_2O$  در مقابل  $SiO_2$  همواره باستی مافیک و الترامافیک(افیولیتی) قرار دارد. این مسأله توجه داشت که  $K_2O$  یک سازنده بسیار متحرك بوده و ممکن است در گرانیتوئیدهای بسیار دگرسان شده هر محیط تکتونیکی مقدار آن به طور غیرعادی کاهش یافته باشد. این دگرسانی توسط مطالعات پتروگرافی به آسانی قابل تشخیص است. مطابق این نمودار و مطالعات پتروگرافی و صحرایی گرانیتوئیدهای منطقه چشم‌بید در گروه OP قرار نمی‌گیرند.

#### مرحله-II- تمایز بین گروههای POG (CEUG,RRG),CCG,CAG,IAG و

در این مرحله با استفاده از دیاگرامهای (۴-۵-ب، ۴-۵-ج و ۴-۵-د) این سه گروه از هم متمایز می‌گردند. دیاگرام (۴-۵-ب)  $(FeO(t)/FeO(t)+MgO-SiO_2)$  معیاری عالی برای تمایز گروههای CCG-CAG-(IAG) و (CEUG-RRG) در مقادیر پایین  $SiO_2$  می‌باشد. در اینجا باید اظهار داشت که در دیاگرامهای

و  $\text{FeO(t)} + \text{MgO} - \text{CaO}$  از داده‌های مستقیم اکسیدهای عناصر اصلی استفاده نشده است چون دیاگرام اولی در واقع یک دیاگرام سه تایی AFM بوده که در اینجا تنها دو ضلع آن ترسیم شده است. در این دیاگرام رأس A آن عبارت از:

$A = \text{Al}_2\text{O}_3 - \text{Na}_2\text{O} - \text{K}_2\text{O}$  ، رأس F شامل  $F = \text{FeO} + \text{Fe}_2\text{O}_3$  و رأس M شامل  $M = \text{MgO}$  می‌باشد. دیاگرام دومی یک دیاگرام ACF بوده که رأس A آن شامل  $A = \text{Al}_2\text{O}_3 - \text{Na}_2\text{O} - \text{K}_2\text{O}$  رأس C شامل  $C = \text{CaO}$  و رأس F شامل  $F = \text{FeO}_{(t)} + \text{MgO}$  می‌باشد.

این پارامترها بر مبنای نتایج آنالیز شیمی محاسبه شده، سپس به ۱۰۰ رسانده می‌شود و در نهایت دو پارامتر F و M یا F و C که مجدداً محاسبه شده‌اند در مقابل یکدیگر ترسیم می‌شوند. مطابق این دیاگرامها گرانیتوئیدهای منطقه چشمبهبید در محدوده گرانیتوئیدهای CAG ، CCG و IAG قرار می‌گیرند.

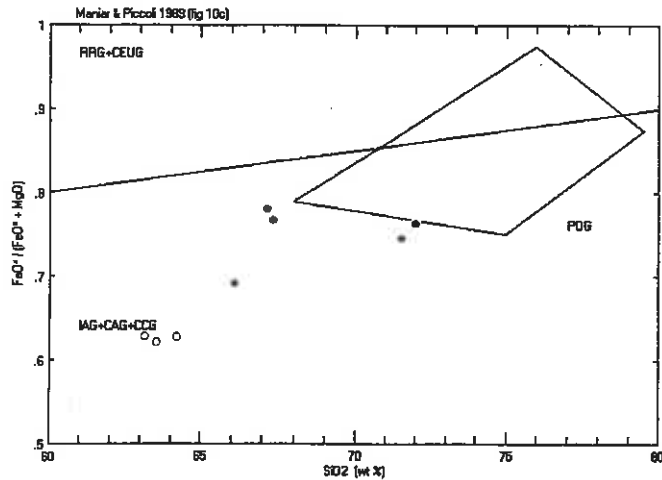
### مرحله III- تمایز بین سریهای CAG ، CCG و IAG

همانطور که از شکل (۴-۵) مشخص است مانیار و پیکولی جهت تفکیک این سه سری از نسبت اشباع شدگی آلومینیم (ASI) استفاده کرده‌اند. و بر همین اساس گرانیتوئیدهای نوع CCG دارای ۱/۱۵  $> ASI$  می‌باشند نگاهی به نمودار شاخص شاند(شکل ۴-۱۶-الف)، این واقعیت آشکار است که تمام نمونه‌های سنگی توده گرانیتوئیدی منطقه چشمبهبید دارای مقدار ASI نزدیک به ۱/۱۵ می‌باشند.

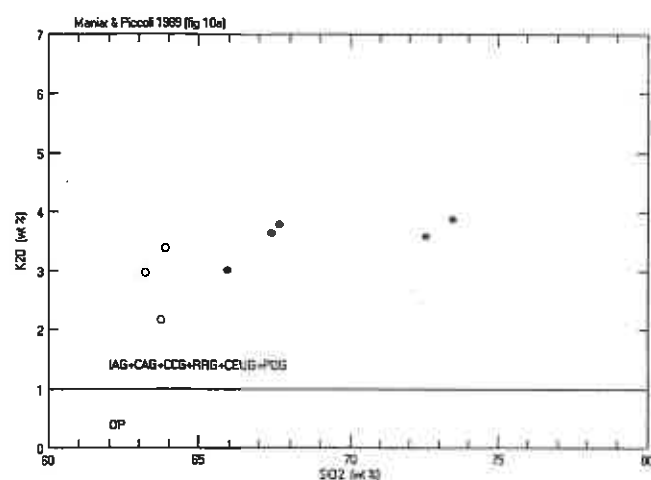
لذا این امر با ویژگیهای گروه CCG سازگار نیست. همچنین سایر شواهد زمین‌شناسی نیز برخورد قاره-قاره را در زمان تشکیل گرانیتوئیدهای مورد مطالعه تأیید نمی‌کند. در نتیجه گرانیتوئیدهای مورد مطالعه به یکی از دو گروه IAG و CAG تعلق خواهند داشت. حال با توجه به آنکه گرانیتوئیدهای نوع IAG یا گرانیتوئیدهای جزایر قوسی، حاصل فرورانش یک پوسته اقیانوسی به زیر پوسته اقیانوسی دیگر می‌باشند و این امر با شواهد زمین‌شناسی منطقه منطبق نیست، در نتیجه گرانیتوئیدهای چشمبهبید به تنها گروه باقیمانده یعنی گرانیتوئیدهای قوس‌قاره‌ای(CAG) تعلق دارند. این امر با تعریف آنها نیز سازگار است. از لحاظ ترکیبی نیز گروه CAG، تونالیت‌ها، گرانودیوریت‌ها و گرانیت‌ها را دربرمی‌گیرد که این امر نیز با ترکیب سنگ‌شناسی توده گرانیتوئیدی مورد مطالعه سازگار است، در این توده به جای تونالیت‌ها، دیوریت‌ها و کوارتزدیوریت‌ها رخنمون دارند.

در جدول (۶-۵) ویژگیهای عمدی گرانیتوئیدهای IAG,CAG و CCG جهت مقایسه با ویژگیهای بارز گرانیتوئیدهای مورد مطالعه آورده شده‌است.

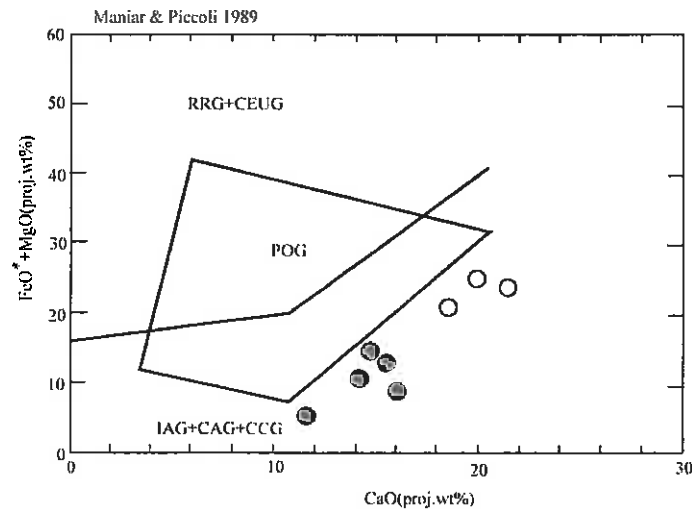
شکل ب



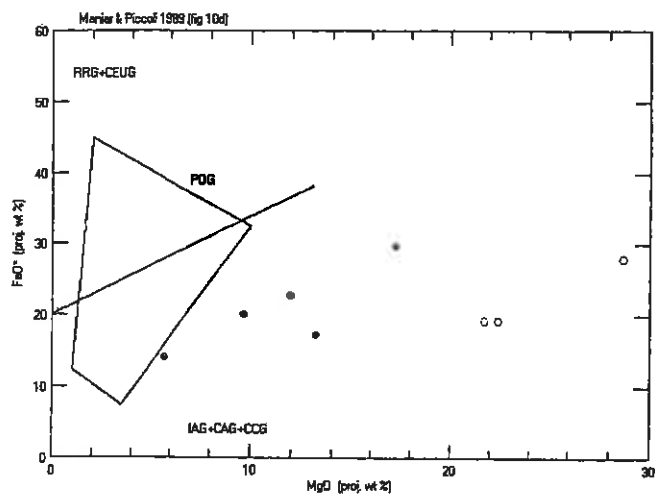
شکل الف



شکل د



شکل ج



شکل ۵-۵- نمودارهای متمایز کننده محیط‌های تکتونیکی برای گرانیتوئیدهای مورد مطالعه (مانیاروپیکولی، ۱۹۸۹)

شکل الف - نمودار متمایز کننده براساس  $\text{SiO}_2 - \text{SiO}_2$

شکل ب - نمودار متمایز کننده براساس  $\text{FeO}(\text{t})/\text{FeO}(\text{t})+\text{MgO}-\text{SiO}_2$

شکل ج - نمودار متمایز کننده براساس  $\text{FeO}(\text{t})-\text{MgO}$

شکل د - نمودار متمایز کننده براساس  $\text{FeO}(\text{t})+\text{MgO}-\text{CaO}$

جدول ۵-۶- مقایسه ویژگیهای گرانیت‌وئیدهای مورد مطالعه با انواع گرانیت‌وئیدهای CCG, IAG, CAG و

نوع ویژگی مورد مطالعه	ویژگیهای گرانیت‌وئیدهای مورد مطالعه	IAG	CAG	CCG
طیف تغییرات درصد وزنی $\text{SiO}_2$	۵۴-۷۲	۶۰-۶۸	۶۲-۷۶	۷۰-۷۶
وضعیت نمودار تغییرات درصد وزنی $\text{SiO}_2$	تک قله ای	تک قله ای	تک قله ای	تک قله ای
وضعیت شاخص آلکالی-کلسیک	کالک آلکالن	- کلسیک تا آلکالی-کلسیک	کالک آلکالن	کالک آلکالن تا آلکالی کلسیک
شاخص شاند	متاآلومین - پرآلومین	غالباً متاآلومین	- متاآلومین پرآلومین	پرآلومین
$(\text{Na}_2\text{O}/\text{CaO})$	۱/۷-۳/۹	۱	< ۴	۲-۱۰
$(\text{Na}_2\text{O}/\text{K}_2\text{O})$	۰/۹-۱/۷	۰/۴-۳	۰/۴-۲	۰/۴-۱/۵
$(\text{MgO}/\text{FeO}_{(t)})$	۰/۱۸-۰/۵	/۳۰-۰/۸۵	۰/۱-۰/۵	۰/۵-۰/۶
$(\text{MgO}/\text{MnO})$	۱۴-۳۲	۱۲-۳۸	۲۰-۳۸	۲۰-۴۵
$\text{Al}_2\text{O}_3/(\text{Na}_2\text{O}+\text{K}_2\text{O})$	> ۱/۱	> ۱/۵	> ۱/۱	> ۱/۱
نوع پلازیوکلاز	الیگوکلاز	الیگوکلاز- آندزین	الیگوکلاز	الیگوکلاز
کاتیوهای متخلله	بیوتیت	بیوتیت	بیوتیت	بیوتیت
	+ هورنبلند	+ هورنبلند	+ هورنبلند	مسکوویت
	± گارنت	+ پیروکسن	+ کلینوپیروکسن	+ تورمالین
				+ کردیریت
				+ سیلیمانیت
				+ گارنت

**۵-۲-۵- نمودارهای متمایز کننده محیط‌های تکتونیکی گرانیت‌های بروآپاپیه استفاده از عناصر کمیاب**  
اولین مطالعه سیستماتیک ژئوشیمیایی گرانیت‌های جایگاه‌های تکتونیکی معلوم و شناخته شده، توسط پیرس و همکاران (۱۹۸۴) صورت گرفت. این محققین گرانیت‌ها را به چهار سری تقسیم کردند که هر سری به زیر شاخه‌هایی تقسیم می‌شود که عبارتند از:

**۱- گرانیت‌های پشتۀ اقیانوسی (ORG) شامل:**

- گرانیت‌های همراه با پشتۀ‌های اقیانوسی نرمال
- گرانیت‌های همراه با پشتۀ‌های اقیانوسی غیر عادی
- گرانیت‌های همراه با پشتۀ‌های حوضه پشت قوس
- گرانیت‌های همراه با پشتۀ‌های حوضه جلوی قوس

**۲- گرانیت‌های قوس آتشفسانی (VAG)**

- گرانیت‌های قوس‌های اقیانوسی که عمدتاً شامل بازالت تولئیتی‌اند.
- گرنیت‌های قوسهای اقیانوسی که عمدتاً شامل بازلت کالک آلکالن‌اند.
- گرانیت‌های حاشیه‌های فعال قاره‌ای

**۳- گرانیت‌های درون صفحه‌ای (WPG)**

- گرانیت‌های کمپلکس‌های حلقوی درون قاره‌ای
- گرانیت‌های پوسته قاره‌ای نازک شده
- گرانیت‌های جزایر اقیانوسی

**۴- گرانیت‌های برخوردی قاره‌ای (COLG)**

- گرانیت‌های سین تکتونیک همراه با برخورد قاره-قاره
- گرانیت‌های پست تکتونیک همراه با برخورد قاره-قاره
- گرانیت‌های سین تکتونیک همراه با برخورد قاره-قوس

در یک بررسی مقدماتی توسط محققین مذکور از غلظت عناصر کمیاب در مقابل مقدار سیلیس از مجموع ۶۰۰ گرانیت منتخب نشان داد که عناصر Ce, Sm, Zr, Y, Yb, Ba, K, Nb, Ta, Ce, Sm, Zr به طور مؤثری، گرانیت‌های مربوط به جایگاه‌های مختلف تکتونیکی را از هم متمایز می‌کنند. این متغیرها توسط پیرس و همکاران (۱۹۸۴) در دو مجموعه نمودار تغییرات، جهت طبقه‌بندی گرانیت‌ها براساس جایگاه تکتونیکی، به کار رفته‌اند.

**- نمودار متمایز کننده براساس  $Ta-Yb$  و  $Nb-Y$**

نمودار دو متغیره Nb و Y به سه محدوده تقسیم می‌شود که در آنها گرانیت‌های اقیانوسی (ORG)، گرانیت‌های درون صفحه‌ای (WPG) و گرانیت‌های قوس آتشفسانی (VAG) همراه با گرانیت‌های همزمان با برخورد (Syn-ColG) قرار می‌گیرند (شکل ۶-۵-الف). مطابق این نمودار گرانیت‌توئیدهای منطقه چشمبهبید در محدوده گرانیت‌های قوس آتشفسانی (VAG) همراه با گرانیت‌های همزمان با برخورد (Syn-ColG) قرار می‌گیرند.

نمودار مشابهی با استفاده از  $Ta$  و  $Yb$  محدوده‌های گرانیت‌های همزمان با برخورد و قوس آتشفشنانی را از هم متمایز می‌کند(شکل ۵-۶-ب). مطابق این نمودار گرانیتوئیدهای مورد مطالعه در محدوده گرانیتوئیدهای قوس آتشفشنانی قرار می‌گیرند.

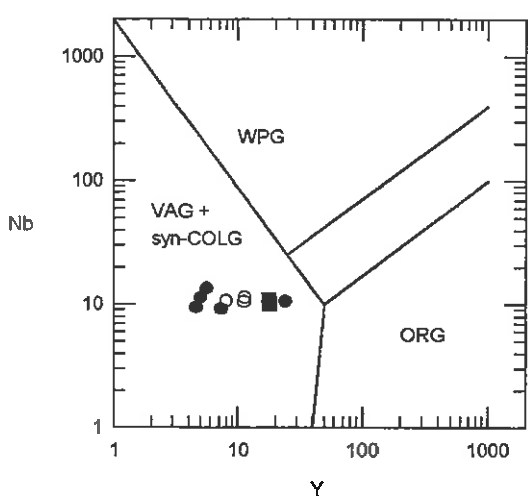
#### - نمودار های متمایز کننده براساس $Rb-(Y+Nb)$ و $Rb-(Yb+Ta)$

نمودار دو متغیره  $Rb$  -  $(Y+Nb)$  به طور خیلی مؤثری گرانیت‌های همزمان با برخورد را از گرانیت‌های قوس آتشفشنانی متمایز می‌کند. در ضمن، جدایش مشخصی بین گرانیت‌های درون صفحه‌ای و اقیانوسی در این نمودار وجود دارد(شکل ۵-۶-ج). مطابق این نمودار نمونه‌های مورد مطالعه در محدوده گرانیت‌های قوس آتشفشنانی قرار می‌گیرند. نمودار مشابهی با استفاده از  $(Yb+Ta)$  در طول محور  $X$  نمودار دو متغیره مجموعه‌ای از محدوده‌های مشابه را مشخص می‌کند (شکل ۵-۶-د). مطابق این نمودار نمونه‌های مورد مطالعه در محدوده گرانیت‌های قوس آتشفشنانی قرار می‌گیرند.

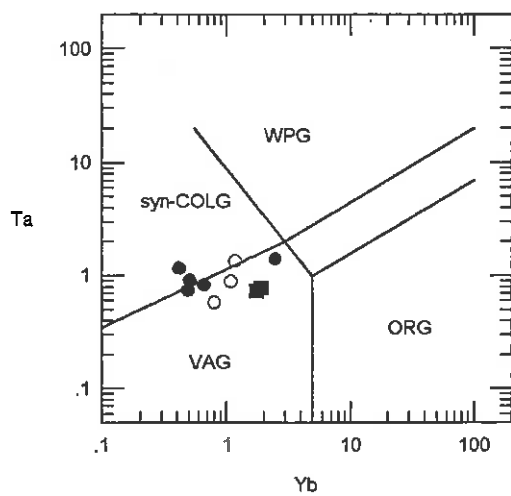
#### - نمودار متمایز کننده براساس نسبت $Rb/Zr$ در مقابل $SiO_2$ (هاریس و همکاران، ۱۹۸۶)

نمودار دو متغیره  $Rb/Zr$  و  $SiO_2$  گرانیت‌های همزمان با برخورد را از گرانیت‌های بعد از برخورد و قوس آتشفشنانی جدا می‌کند. مطابق این نمودار نمونه‌های مورد مطالعه در محدوده گرانیت‌های بعد از برخورد و قوس آتشفشنانی قرار می‌گیرند(شکل ۷-۵).

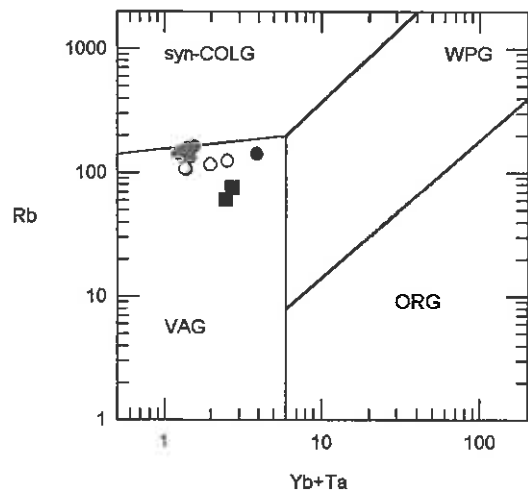
شکل الف



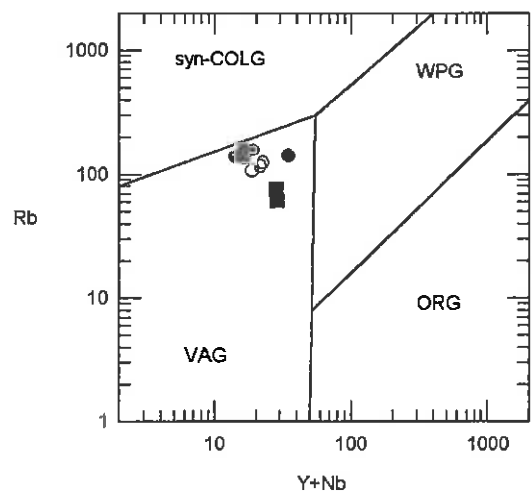
شکل ب



شکل ج



شکل د



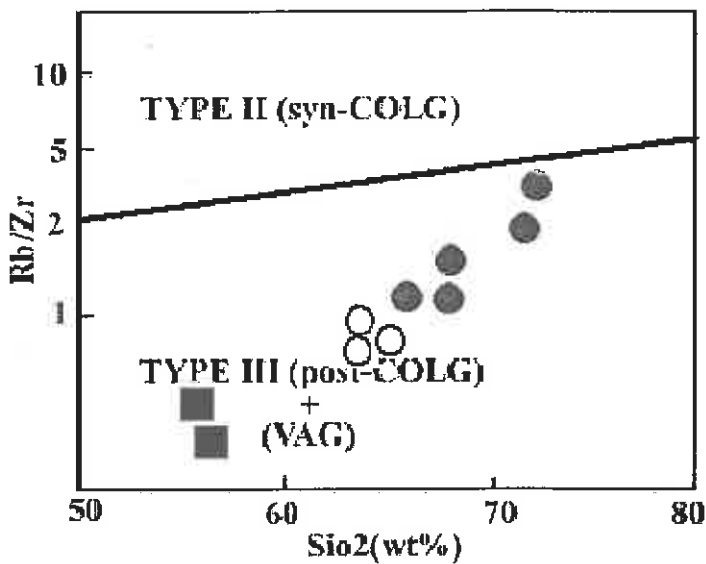
شکل ۵-۶- نمودارهای متمایز کننده محیط‌های تکتونیکی برای گرانیت‌وئیدهای مورد مطالعه (پیرس و همکاران، ۱۹۸۴)

شکل الف - نمودار متمایز کننده براساس  $Nb-Y$

شکل ب - نمودار متمایز کننده براساس  $Ta-Yb$

شکل ج - نمودار متمایز کننده براساس  $Rb-(Yb+Ta)$

شکل د - نمودار متمایز کننده براساس  $Rb-(Y+Nb)$



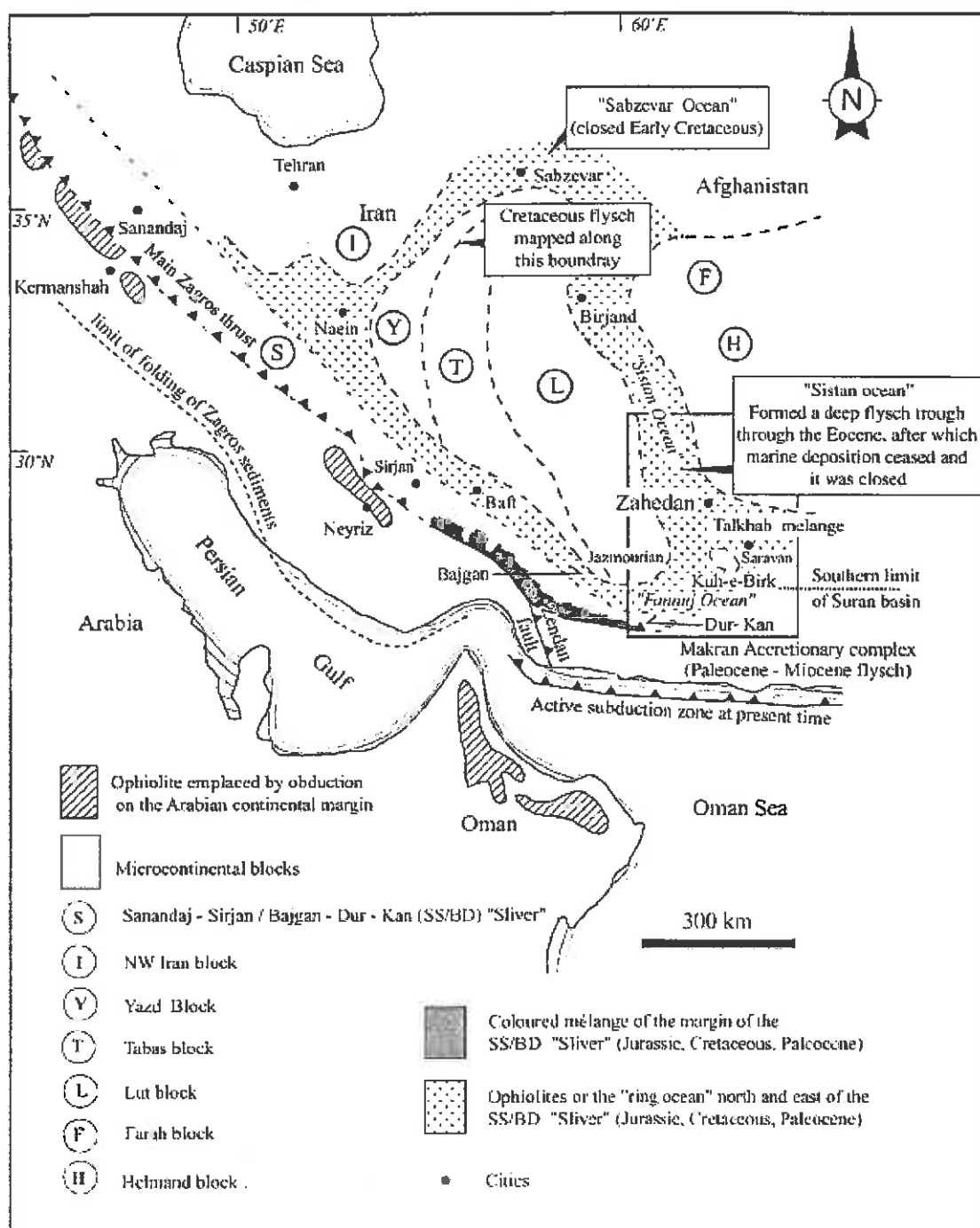
شکل ۷-۵- نمودار متمایز کننده محیط تکتونیکی، بر اساس نسبت  $\text{Rb}/\text{Zr}$  در مقابل  $\text{SiO}_2$  (هاریس و همکاران، ۱۹۸۶)

با توجه به مطالعی که تا اینجا در مورد تعیین جایگاه تکتونیکی گرانیتوئیدهای مورد مطالعه بیان شد نتیجه می‌گیریم که گرانیتوئیدهای مذکور حاصل فرورانش یک ورقه اقیانوسی به زیر یک ورقه قاره‌ای می‌باشند. مطالعاتی که توسط کمپ و گریفیس (۱۹۸۲)، تیروول و همکاران (۱۹۸۳) و مک‌کال (۱۹۹۷) در ارتباط با جنوب‌شرق ایران و در راستای تهیه نقشه‌های ۱:۲۵۰۰۰ زاهدان، زابل، خاش، فنوج، نخل آب و... صورت گرفته نتایج ارزشمندی را به همراه داشته است. موقعیت ژئودینامیکی مرکز و جنوب‌شرق ایران در اواخر کرتاسه - اوایل پالئوسن به روشنی در شکل (۸-۵، اقتباس از مک‌کال، ۱۹۹۷) نشان داده شده است. با توجه به این شکل در آن زمان اقیانوس سیستان به صورت اقیانوسی طویل ولی کم عرض از شمال تا جنوب گسترش داشته و مجموعه‌های فلیشی شرق ایران (فلیش سیستان) و مجموعه‌های افیولیتی نهبدان - خاش حاصل بسته‌شدن این اقیانوس می‌باشند.

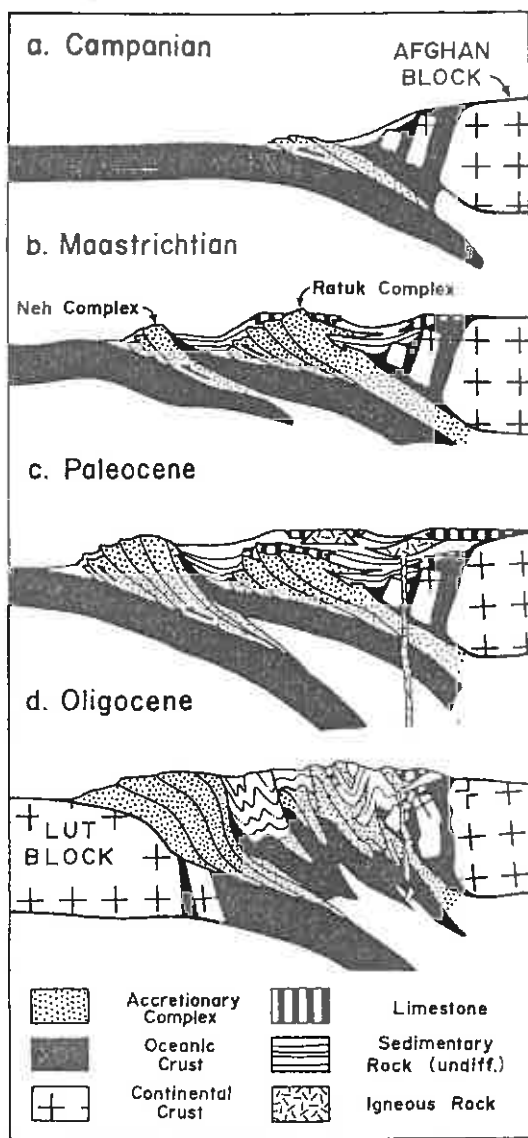
مطالعات تیروول و همکاران (۱۹۸۳)، مبین آن است که ورقه اقیانوسی سیستان به سمت شرق - شمال شرق به زیر بلوك افغان فرورفته است (شکل ۹-۵). پیامدهای مرتبط با این فرورانش به صورت نوار گرانیتوئیدی زاهدان - سراوان (که گرانیتوئیدهای چشم‌بید بخشی از این نوار می‌باشد)، تجلی پیدا کرده است.

با در نظر گرفتن مجموع شواهد به نظر می‌رسد برای تشکیل توده گرانیتوئیدی چشم‌بید، مدل گوشته گرم - پوسته سرد وایلی (۱۹۸۴) (شکل ۱۰-۵)، بهترین سازگاری را داشته باشد و جوابگوی تغییر و تحولات صورت گرفته می‌باشد. همانطور که در شکل مذکور نشان داده شده است جریان همرفتی در گوه گوشته‌ای به تغییر مرز بین پوسته قاره‌ای فوقانی منجر می‌شود و در بالای بخش‌های گرین‌شیستی و آمفیبولیتی ورقه فرو رونده، درون گوشته، ذوب صورت می‌گیرد. لازم به ذکر است در

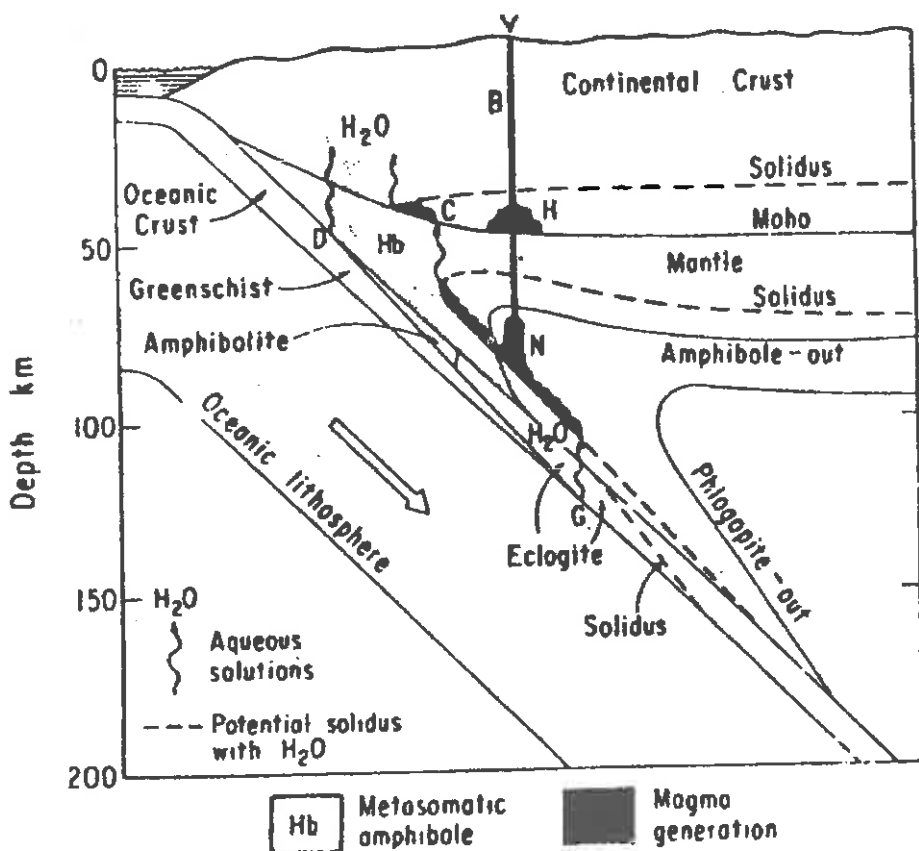
پوسته اقیانوسی فرو رونده سرد هیچگونه عمل ذوبی صورت نمی‌گیرد. ولی سیالات آزاد شده از ورقه فرو رونده و مواد سنگی همراه آن و ورود آنها به بخش پریدوتیتی، به ایجاد آمفیبول متاسماتیک در پریدوتیتها منجر می‌گردد، سپس ورقه فرورونده به سمت اعماق بیشتر انتقال می‌یابد و هنگامی که منحنی حذف آمفیبول را قطع می‌کند، آب از دست می‌دهد و در ضمن، نزدیک نقطه N در شکل(۱۰-۵) مagma تولید می‌شود. مagma به وجود آمده می‌تواند از محل تشکیل خود مهاجرت نموده و در ترازهای بالاتر پوسته جایگزین شود و یا از طریق دایکها یا مجاري آتشفسانی به نزدیک سطح زمین یا سطح زمین راه پیدا کند.



شکل ۸-۵- موقعیت ژئودینامیکی مرکز و جنوب شرق ایران در اواخر کرتاسه - اوایل پالئوسن (مکال، ۱۹۹۷).



شکل ۹-۵- مدل پیشنهادی تیرون و همکاران، ۱۹۸۳ برای فرورانش بلوک لوت به زیر بلوک افغان.



شکل ۱۰-۵ - فرایند از دست دادن آب و تولید مagma بر طبق ساختمان حرارتی گوشهه گرم و پوسته سرد (والی، ۱۹۸۴).

## ۶-۵-نتیجه گیری

با بررسی ویژگیهای پتروگرافیکی و ژئوشیمیایی و محیط تکتونیکی گرانیتوئیدهای منطقه چشم‌بید می‌توان نتیجه گرفت که:

۱- سنگهای سازنده توده‌های گرانیتوئیدی مزبور از نظر سنگ شناسی متنوع بوده، و شامل سینو تامونزوگرانیت، گرانوودیوریت، کوارتزدیوریت و دیوریت می‌باشند.

۲- با توجه به دیاگرامهای طبقه بندی نورم و طبقه بندی شیمیایی سنگها، نمونه‌های گرانیتوئیدی منطقه مورد مطالعه در محدوده گرانیت، گرانوودیوریت، آداملیت، دیوریت، کوارتزدیوریت و کوارتز مونزوودیوریت قرار می‌گیرند.

۳- متساویاتیسم پتاسیک تحمل شده بر سنگهای دیوریتی مورد مطالعه، که به صورت بیوتیت‌زایی یا تبدیل هورنبلند به بیوتیت تجلی پیدا کرده است، باعث قرارگیری برخی از نمونه‌های دیوریتی در محدوده مونزوودیوریت شده است و پتاسیم مصرف شده برای تشکیل بیوتیت در نمودارهای نامگذاری سنگها به صورت فلدسپاتهای پتاسیک منظور شده و باعث گردیده است که برخی از سنگها دیوریتی به سمت محدوده مونزوودیوریت گرایش پیدا کنند.

۴- دیاگرام عنکبوتی بهنجار شده به گوشه نمونه‌ها، حاکی از غنی شدگی نمونه‌ها از عناصر ناسازگار و کمیاب سبک همچون Cs, Rb, Ba, Th, U, K, La, Sr و تهی شدگی آنها از عناصر سازگار و کمیاب سنگین همچون Ta, Nb, Ti, Y می‌باشد. اگر چه دیوریتها نیز از عناصر ناسازگار و کمیاب سبک تا حدودی غنی شده‌اند ولی در مقایسه با گرانیتها غنی شدگی کمتری نشان می‌دهند. غنی شدگی گرانیتها از عناصر ناسازگار و کمیاب سبک و تهی شدگی از عناصر سازگار و کمیاب سنگین حاکی از منشأ پوسته‌ای آنها و عکس این روند در دیوریتها حاکی از منشأ گوشه‌ای آنهاست.

۵- با توجه به مطالبی که در مورد ویژگیهای گرانیتوئیدهای S و I ذکر شد و با توجه به دیاگرامهای ارائه شده جهت تمایز بین گرانیتوئیدهای S و I و مقایسه با خصوصیات گرانیتوئیدهای منطقه چشم‌بید و همچنین با توجه به طبقه بندی گرانیتوئیدها بوسیله کاسترو و همکاران، (۱۹۹۱) و با تکیه بر شواهد صحرایی، پتروگرافی و ژئوشیمیایی می‌توان گفت که گرانیتها و گرانوودیوریتهای محدوده مطالعه از نوع S و Hss می‌باشند و دیوریتهای منطقه مورد مطالعه از نوع I یا M هستند.

۶- با توجه به شواهد صحرایی و پتروگرافی وجود آنکلاوهای غالباً متاپلیتی در گرانیتهای مورد مطالعه حاکی از آن است که این سنگها حاصل ذوب آناتکسی سنگهای متاپلیتی می‌باشند و حضور آنکلاوهای میکروگرانولار مافیک در گرانوودیوریتها و تشابه ترکیب سنگ‌شناسی بین این آنکلاوها و سنگهای دیوریتی معرف انجام یک فرایند اختلاط ماقمایی در منطقه مورد مطالعه می‌باشد.

۷- با توجه به مدل‌های تکتونیکی ارائه شده و تمامی شواهد صحرایی، پتروگرافی و ژئوشیمیایی می‌توان چنین گفت که در اثر فرورانش پوسته اقیانوسی به زیر پوسته قاره‌ای ماقمای گوشه‌ای ایجاد گردیده که با نفوذ به درون سنگهای فلیشی منطقه مورد مطالعه، منجر به ذوب این سنگها شده و گرانیتهای نوع S را ایجاد کرده، سپس بخش تفربیق یافته ماقمای گوشه‌ای با گرانیتهای نوع S اختلاط حاصل کرده و انواع Hss (گرانوودیوریتها) را تولید می‌کند.

- ۸- تمامی نمونه‌های مورد مطالعه دارای ماهیت کالکوآلکالن هستند.
- ۹- گرانیتها و گرانودیوریتها منطقه مورد مطالعه دارای طبیعت پرآلومین می‌باشند و دیوریتهای منطقه مورد مطالعه دارای طبیعت متاآلومین هستند.
- ۱۰- گرانیتوئیدهای منطقه چشمگیر از لحاظ محیط تکتونیکی قابل مقایسه با گرانیتوئیدهای وابسته به قوسهای آتشفسانی (VAG) بوده و در گروه گرانیتوئیدهای قوس قاره‌ای (CAG) قرار می‌گیرند.

# فہرست متنابع

## الف - منابع فارسی

- آقانباتی، علی (۱۳۷۰) نقشه سنگهای ماسی ایران با مقیاس ۱:۲۵۰۰۰۰، طرح تدوین کتاب زمین شناسی ایران.
- بلوو، (۱۹۹۷) گزارش مقدماتی تفسیر تصاویر ماهواره‌ای استان سیستان و بلوچستان، گزارش داخلی مؤسسه تحقیقات علوم و فنون زمین.
- تخشاء، ن؛ و همکاران (۱۳۶۲) گزارش پی جویی مواد اولیه در استان سیستان و بلوچستان، تهران سازمان صنایع و معادن و فلزات استان سیستان و بلوچستان.
- تخشاء، ن؛ هوشمند، د؛ زیادلو، د؛ سراوانی، م؛ سراوانی، ن. (۱۳۶۵) گزارش پی جویی مواد اولیه در استان سیستان و بلوچستان، اداره کل معادن و فلزات استان سیستان و بلوچستان، ۸۱ صفحه.
- تیوای، محمد جعفر (۱۳۸۱) پترولوزی و ژئوشیمی دایکهای تیره فراوان در جنوب غرب زاهدان، پایان نامه کارشناسی ارشد، گروه زمین شناسی، دانشکده علوم، دانشگاه تهران، ۱۵۰ صفحه.
- حسینی، محمد رضا (۱۳۸۱) پترولوزی و ژئوشیمی گرانیت‌های جنوب غرب زاهدان، پایان نامه کارشناسی ارشد گروه زمین شناسی، دانشکده علوم، دانشگاه تهران، ۲۹۰ صفحه.
- درویش‌زاده، علی (۱۳۷۱) زمین شناسی ایران، انتشارات ندا، ۹۷۰ صفحه.
- سازمان صنایع و معادن استان سیستان و بلوچستان (۱۳۸۱)، طرح اکتشاف تراورتن خیرآباد، در حد تهیه دفترچه مشخصات معدنی.
- سازمان صنایع و معادن استان سیستان و بلوچستان (۱۳۸۱)، طرح اکتشاف مس خیرآباد، در حد تهیه دفترچه مشخصات معدنی.

- سازمان صنایع و معادن استان سیستان و بلوچستان(۱۳۷۰)، گزارش وضع معادن استان سیستان و بلوچستان در سال ۱۳۷۰.
- سازمان صنایع و معادن استان سیستان و بلوچستان(۱۳۶۷)، گزارش عملیات طرح پتانسیل یابی مواد معدنی و تهیه دفترچه مشخصات معادن استان سیستان و بلوچستان در سالهای ۱۳۶۰ تا ۱۳۶۶.
- سازمان صنایع و معادن استان سیستان و بلوچستان(۱۳۷۳)، سیمای معادن استان سیستان و بلوچستان.
- سازمان صنایع و معادن استان سیستان و بلوچستان(۱۳۸۱)، طرح اکتشاف آنتیموان سفید سنگ، در حد تهیه دفترچه مشخصات معدنی.
- سامانی، بهرام و اشتربی، شادی(۱۳۷۱) تکوین زمین‌شناسی ناحیه سیستان و بلوچستان، فصلنامه علوم زمین، سال اول، شماره ۴ صفحات ۱۴ تا ۲۵.
- صاحب زاده، بهروز(۱۳۷۷) پترولوزی و جایگاه تکتونیکی با تولیت لوچان(بخشی از گرانیتوئیدهای زاهدان) رساله کارشناسی ارشد، دانشگاه آزاد اسلامی واحد تهران.
- صادقیان، محمود(۱۳۸۳) ماقماتیسم، متالوژنی و مکانیسم جایگزینی توده گرانیتوئیدی زاهدان، رساله دکتری، دانشکده علوم دانشگاه تهران، گروه زمین‌شناسی، ۴۵۰ صفحه.
- کاوش کانسار(۱۳۸۱)، طرح اکتشاف و شناسایی مواد معدنی در جنوب زاهدان، سه جلد، مشتمل بر زمین‌شناسی، ژئوشیمی و داده‌های حاصل از آنالیز نمونه‌ها به روش‌های مختلف.
- قاسمی، حبیب‌الله(۱۳۷۳) پترولوزی و زمین‌شناسی سنگهای آذرین نفوذی منطقه بویین و میاندشت(جنوب‌شرق الیگودرز)، پایان‌نامه کارشناسی ارشد، دانشگاه تهران.
- قرشی، منوچهر(۱۹۸۵) عملکرد گسلهای سنوزوئیک پایانی در جنوب شرق ایران، انتشارات سازمان زمین‌شناسی کشور.
- مؤسسه تحقیقات علوم و فنون زمین(۱۳۷۵)، گزارش مقدماتی پژوهه متالوژنی استان سیستان و بلوچستان(مبتنی بر کارهای انجام شده قبلی).

- مؤسسه تحقیقات علوم و فنون زمین (۱۳۷۷)، بررسی‌های متالوژنی در استان سیستان و بلوچستان، ۳۱۲ صفحه.

- مؤسسه تحقیقات علوم و فنون زمین (۱۳۷۷)، بررسی‌های متالوژنی استان سیستان و بلوچستان مشتمل بر دو جلد، زمین‌شناسی و داده‌های حاصل از آنالیزهای نمونه‌ها به روش‌های مختلف.

- یوسفی، ا. (۱۳۶۷) نقشه شدت کل مغناطیسی، انتشارات سازمان زمین‌شناسی کشور.

ب - منابع لاتين

- Alavi, M., (compiler)(1991) Tectonic map of Middle East(1: 2500000).  
Pub. T.G. I.
- Anderiva, E. D., Bougatikov, O. A. and et al.(1987). Magmatic rocks.  
Moscovanedna pub.
- Batchelor, R. A. and Bowden, P., (1985) Petrogenetic interpretation of  
granitoid rocks series using multicationic parameteres, Chem. Geol., No.  
48, P. 43-55.
- Best, M .(2003) -Igneous and metamorphic petrology. Black wci  
scienceIta. pub.
- Behruzi, A. (1993) Geological map of Zahedan (1:250,000). Geol. Surv.  
Iran, Teheran.
- Berberian, M. (1983) Geological map of Iran at 1/100,000. Sheet 8148,  
Zahedan. Geol. Surv. Iran, Teheran.
- Camp, V.E. and Griffis, R.J. (1982) Character, genesis and tectonic  
setting of igneous rocks in the Sistan suture zone, eastern Iran. Lithos,  
15/3, 221-239.
- Castro, A., Moveno - Ventas, I. De La Rosa, J. D., (1991) H - type  
(hybrid) granitoids: a proposed revision of the granite - type classification  
and nomenclature. Earth - Science Reviews. 31. 237 – 253.Chappell, B W,  
and White, A J. R. (1974) Two contrasting granite types. *Pacific Geology*,  
vol. 8, 173-174.
- Clarke.D.B. 1992. granitoid rocks. Champan & hall.pub.

- Chappell,B.W.,White, A..J.R.1992. I and S-type granites in the Lachlan fold belt. Transaction of the royal society ofedinburgh sciences.83.
- Chappell, B W, and White, A J. R. (2001) Two contrasting granite types. 25 years later. *Australian Journal of Earth Sciences*, Vol. 48, 489-499.
- Clemens, J. D., and Wall, V. J., (1981) Crystallization and origin of some peraluminous (S – type) granitic magmas, Can. Min., No. 19, P. 111 – 132.
- Cox, K. G.,Bell.J.D.1989.The interpretation of igneous rocks.W.H. freeman and company pub..
- Debon, F., Lefort, P., (1983) A chemical mineralogical classification of common plutonic rock and association, R. Soc. Edinb., Trans., 73. 135-149.
- Frost,P.2001.A geochemical classification for granitic rocks.Journal of petrology. Vol. 42. PP. 19 - 41.
- Griffis, R. J., Meixner, H. M., Griffis, A. T., Bonder, W. F., Leitch, C. H. (1978) report on preliminary mineral reconnaissance East Iran project, for the Geological and Mineral Survey of Iran.
- Griffiths, P.S. (compiler) (1983) Geological map of Mirijaveh quadrangle (1:100000). Pub. G.S.I.
- Harker, A., (1909) The natural history of igneous rocks Methneu, Lond. , P.344.
- Hall , A.1987 .igneous petrology Johnwiley sons , inc .pub.
- Hyndman,D.W. 1985 Petrologyofigneousand metamorphic rocks.Donnelly sone company pub.
- Henderson, p.1989.RareearthelementgeochemistryElsevierscience. publishin company Inc.
- Irvin, T. N., \$ Baragar, W.R. A., (1971) A guide to the classification of the common volcanic rocks, Can. Jour. Earth. Sci., No. 8, PP. 235 – 458.

- Italconult (1959–1960) Plan organization of Iran Socioeconomic development plan for the south-eastern region. Preliminary report geo-mining survey Iran.
- Maniar, P. D. and Piccoli, P. M. (1989) Tectonic discrimination of granitoids, *Geo. Soc. of Am. Bull.*, Vol. 101 , P. 635 – 643 .
- McCall, G.J.H. (1997) The geotectonic history of the Makran and adjacent areas of southern Iran. *Jour. Asian Earth Sciences*, 15/6, 517-531.
- Middlemost, E. A. K., (1985) Magma and magmatic rocks, An Introduction to igneous petrology. Longman Group U.K., PP. 73 – 86.
- Miyashiro, A. (1974) Metamorphism and Metamorphic belts, George Allen and unwin, London. P. 492
- OConnor, J. T., (1965) A classification for quartz - rich igneous rocks based on feldspar ratios, *Ustr. Geol. sur. paper 25 & B*: p.1379-1384.
- Paterson, S. R., Pignotta, G. S., Vernon, R. H. (2004) the significance of microgranodiorite enclave shapes and orientations, *Journal of Structural Geology*, vol. 26, pp. 1465-1481.
- Pearce, J. A., Harris, N. B. W. and Thindle, A. G. (1984) Trace element discrimination diagrams for the tectonic interpretation of granitic rock, *Journal of Petrology*, 25: 956 – 983).
- Pitcher, W. S. (1993) The nature and origin of granite, Chapman & Hall publications, 321 pp.
- Rickwood, P.C. (1989) Boundary lines within petrologic diagrams, which use oxides of major and minor elements. *Lithos*, 22, pp. 247-263.
- Roberts, M. P. and Celemns, J. D. (1993) Origin of high-potassium, calc-alkaline, I-type granitoids, *Geology*, Vol. 21, p. 825-828.
- Schmidt, M. W. (1992) Amphibole composition in tonalite as a function of pressure: an experimental calibration of the Al-in hornblende barometer. *Contributions to Mineralogy and Petrology*, 110: 304 – 310.

- Shand. S. J. (1949) Eruptive rocks. Their genesis, composition, classification and their relation to ore deposits. Thomas Murby and Co., London, 488pp.
- Stocklin, J. (1968) Geology of the central coastal Makran area (Iranian oil Company). Unpublished Report GR91c, field at the Nation (Iranian Oil Company, Tehran)
- Takahashi, M., Aramaki, S. and Ishihara, S. (1980) Magnetite-series/Ilmenite-series vs. I-type/S-type granitoids, Mining geology special issue, No. 8, p. 13-28.
- Tirrul, R., Bell, I.R., Griffis, R.J. and Camp, V.E. (1983) The Sistan suture zone of eastern Iran. Geol. Soc. Am. Bull., 94, 134-150.
- Winchester, J. A. and Floyd, P. A. (1977) Geochemical discrimination of different magma series and their differentiation products using immobile elements, Chemical Geology, Vol. 20, pp. 325-343.
- Waught,T.E.,Maas,R.,Nichalls,I.A.2001.Geochemical investigations of microgranitoid enclaves in the S-type Cowra granodiorite,Lachlan fold belt, Australia. lithos.56.PP.165-186.
- Winchester, J. A. and Floyd, P. A. (1977) Geochemical discrimination of different magma series and their differentiation products using immobile elements, Chemical Geology, Vol. 20, pp. 325-343.
- Wilson,M. 1990. Igneous petrogenesis a global tectonic approach, unwin hyman land.pub.
- Wyllie, J.P., (1984) Physic of the earth and planetary interiors No. 35. P. 12- 18.

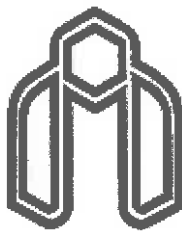
## **Abstract**

Cheshmeh Bid granitoidic pluton with  $150 \text{ km}^2$  is located 35 km SE of Zahedan in Sistan and Baluchestan province, between  $60^\circ 53'$  to  $61^\circ 17'$  of eastern longitude and  $29^\circ 00'$  to  $29^\circ 18'$  of northern latitude, which falls in flysch zone of east of Iran. This pluton is a part of Zahedan-Saravan granitoidic belt, with 250 km long and 2-20 km wide has been extended from NW of Zahedan to NE of Saravan. Cheshmeh Bid granitoidic pluton includes a wide compositional range composed of diorite, quartzdiorite, granodiorite, syenogranite and monzogranite. Moste of diorits are placed in granites as small and buoyancy bodies in the granites. They are the most mafic and the oldest of the studied granitidic complex, which have granular texture and simple mineralogical composition, including of hornblend, plagioclase, biotite and a little quartz, sphene and apatite. Biotites have been resulted from the potassic metasomatism of the hornblades. In the study area, there are some andesitic to dasitic dykes which their compositions are similar to diorites and quartzdiorites. These dykes were the precourser, subvolcanic and diffrentiated parts of dioritic and quartzdioritic magmas. The main part of the Cheshmeh Bid granitoidic pluton composed of granodiorites, syenogranites and monzogranites including many enclaves of micaschists and diorite-quartzdiorite. The granites and granodiorites have a granular texture and a simple mineralogical composition, consisting of alkali-feldspars, plagioclase(albite-oligoclase), quartz, green hornblend, biotite, sphene, apatite, alanite, monazite and zircon. The boundary of this pluton and its metamorphic host is gradual, gneissic and anatectic, which Field observations indicate that the granitic rocks resulted from partial melting(anatexy) of metamorphic pelitic rocks. More detailed field evidences shows that the micaschist enclaves are residues of non-melted metamorphic host rocks. microgranular mafic enclaves have been formed from segments of disrupted dioritic rocks and dacitic-andesitic dykes. Mafic enclaves have partly to completely rounded margins, which indicate they have been enough hot during replacing of granitic body. Andalusite hornfels, sillimanite hornfels, cordirite hornfels and garnet(gressular), wollastonite and diopside bearing skarns have been formed in contacts of granitoidic rocks with metamorphic host rocks. In the geochemical classification diagrams, granitoidic rocks plotted on the granites, granodiorites and quartzdiorites.

Harker diagrams indicates two separate complexes include granite-granodiorite and diorites and dacitic-andesitic dykes. Each of them include a continuous compositional range. This fact as well as field relations the bimodal magmatism. Condorite normalized spider diagram show an enrichment of incompatible and light trace elements such as Rb, Ba, Th, U, K, La, Sr and depletion of compatible and heavy elements such as Ta, Nb, Ti and Y. Although diorites have been enriched from incompatible and light trace elements but show lower enrichment in comparison with granites. Enrichment of granites from incompatible and light trace elements and depletion of compatible and heavy elements indicate that they have crustal origin, while the opposite situation for diorites denotes mantle origin. The granites and granodiorites have peraluminous nature whereas diorites have metaluminous nature.

Geochemical and petrological investigations show that Cheshmeh Bid granitoidic pluton have calc-alkaline nature with of VAG and CAG types. Some parts of this pluton, were affected by late stage hydrothermal fluids during its emplacement which produced silicic and argilitic altration zones and Au-Sb mineralization in some localities.

**Keywords:** Petrology, Geochemistry, Granitoidic pluton, Cheshmeh Bid, Zahedan.



**Shahrood University of Technology  
Faculty of Geology**

**Petrology and Geochemistry of Cheshmeh Bid granitoidic pluton,  
Southeast of Zahedan**

**By:**

**M. Kord**

**Supervisor:**

**Dr. H.Ghasemi**

**Advisors:**

**Dr. M.Sadeghiyan      Dr. P.Omidi**

**Spring 2005**